

دانشگاه تهران

جیاد دانشگاهی دانشکده: سی

شاخه معدن

تحلیل داده های زئو شیمیائی در کانسارت ننگستن نظام آباد

طرح انتشارات ننگستان



بانظر:

دکتر علی امن رحنسی پاک

با همکاری: محمد باقر فرهادیان

سال: ۱۳۷۱

مجری طرح: محمدعلی ملاک پسورد

فهرست مطالب

مقدمه

۱- فهرست جداول

۲

۳- فهرست شکلها

۴

۱- مقدمه

۱۱

۲- روش کار

۱۸

۳- نتیجه‌گیری

فهرست جدول ها

۱. لیست آنالیز نمونه ها از توده کوارتز دیبوریتی غرب نظام آباد
۲. لیست آنالیز نمونه ها از توده کوارتز دیبوریتی تزنل شماره یک
۳. ماتریکس همبستگی عناصر در تزنل شماره یک
۴. ماتریکس همبستگی عناصر در نمونه های سطحی
۵. اولویت متغیرها
۶. محدوده های اکتشافی بر حسب اولویت ها

فهرست شکل‌ها

- #### ۱- موقعیت سه بعدی نصونه هادر توزل شماره یک

۳ - مدققت نموزه هاد توزل شماره يك

۳۰- موقعیت سه بعدی نمونه هادر سطح زمین

۴- موقعیت نمونه‌های در سطح زمین

T ₁	Ag	dr	نهايش مقادير	Ag	dr	الفـ. موقعيت سه بعدى
T ₁	As	dr	نهايش مقادير	As	dr	الفـ. موقعيت سه بعدى
T ₁	" Au	"	- بـ.	T ₁	" Au	"
T ₁	Bi	"	- بـ.	T ₁	" Bi	"
T ₁	Cu	"	- بـ.	T ₁	" Cu	"
T ₁	Hg	"	- بـ.	T ₁	" Hg	"
T ₁	Pb	"	- بـ.	T ₁	" Pb	"
T ₁	Sn	"	- بـ.	T ₁ *	" Sn	"
T ₁	W	"	- بـ.	T ₁	" W	"
T ₁	Zn	"	- بـ.	T ₁	" Zn	"
T ₁	K ₂₀	"	- بـ.	T ₁	" K ₂₀	"
T ₁	Fe ₂₀ ₃	"	- بـ.	T ₁	" Fe ₂₀ ₃	"
T ₁	Mgo	"	- بـ.	T ₁	" Mgo	"
T ₁	Cao	"	- بـ.	T ₁	" Cao	"
T ₁	Na ₂₀	"	- بـ.	T ₁	" Na ₂₀	"
T ₁	K _{20+mgo/Na_{20+Lao}}	"	- بـ.	K _{20+Mgo/Na_{20+Lao}}	"	الفـ. ٢٠

۲۱- نطايش مقادير Ag در توده کوارتز دیبورنین غرب نظام آباد

۲۲- زیارتی بمقادیر AS در توده کوارتز دیورنیز غرب نظام آباد

"	"	"	"	"	Au	"	"	215
"	"	"	"	"	Bi	"	"	214
"	"	"	"	"	Cu	"	"	213
"	"	"	"	"	Hg	"	"	212
"	"	"	"	"	Pb	"	"	211
"	"	"	"	"	Sn	"	"	210
"	"	"	"	"	W	"	"	209
"	"	"	"	"	Zn	"	"	208

۲۱- نمایش مقادیر $Na_{2}O$ در توده کارترز دیسوریتی خرب نظام آباد

"	"	"	"	"	K2O	"	"	_۳۲
"	"	"	"	"	Mgo	"	"	_۳۳
"	"	"	"	"	Cao	"	"	_۳۴
"	"	"	"	"	Fe2O3	"	"	_۳۵
نسبت به تونل شماره یک					Ag	"	"	_۳۶
"	"	"	"	"	As	"	"	_۳۷
"	"	"	"	"	Au	"	"	_۳۸
"	"	"	"	"	Hg	"	"	_۳۹
"	"	"	"	"	Bi	"	"	_۴۰
"	"	"	"	"	Cu	"	"	_۴۱
"	"	"	"	"	Pb	"	"	_۴۲
"	"	"	"	"	Zn	"	"	_۴۳
"	"	"	"	"	Sn	"	"	_۴۴
"	"	"	"	"	W	"	"	_۴۵
"	"	"	"	"	Cao	"	"	_۴۶

۲۲- نمایش پس مانده Fe2O3 نسبت به تونل شماره یک

"	"	"	K2O	"	"	_۴۸
"	"	"	Mgo	"	"	_۴۹
"	"	"	Na2O	"	"	_۵۰

نسبت به تونل شماره یک Pb+10000Au + 100Ag/W+Sn+Bi " " _۵۱

نسبت به تونل شماره یک Pb+10000Au+100Ag/Cu+Zn+As " " _۵۲

نسبت به تونل شماره یک Pb3/ " " _۵۳

نسبت به تونل شماره یک Cu+Zn+As/W+Sn+Bi " " _۵۴

۲۳- محدوده های پیشنهادی برای حفاری

تحلیل داده های روش سیمیائی در کانسارتندگستان نظام آباد

۱- مقدمه :

هدف این تحلیل تعیین مناسبترین نقاط حفاری در حدود نمونه برداری شده بی باشد.

روش کار تحلیل داده های روش سیمیائی مربوط به عنصر کمیاب و عناصر اصلی (اکسیدی) موج محدود

در سنگ درونگیسی، چه در درون توپل و چه در سطح فرسایش کنونی بوده است. متغیر های مورد مطالعه

عبارتنداز مقدار از گروه عناصر اصلی Hg, Au, Ag, Bi, As, Sn, W, Pb, Zn, Cu

عنصر کمیاب و K2O, Na2O, CaO, MgO, Fe2O3 از گروه عناصر اصلی

(اکسیدها) سنگ درونگیز، با استفاده از متغیرهای ساده فوق برحسب مورده است ز این متغیرها

و تشکیل متغیرهای چند عنصری (چه بصورت حاصل جمع و چه بصورت نسبت آنها) گردیده است.

نمونه برداری های انجام شده در این بررسی چه در مورد نمونه های برداشت شده از درون توپل و چه در مورد

نمونه های برداشت شده از سطح فرسایش کنونی بر روی ای پی سی (صورت گرفته Cheep sampling)

است. از هر ای پی سی که نمونه برداری از محدوده ای به شیاع تقریبی دو مترین ۵ تا ۱۰ قطعه سنگ جدود

۵۰ گرم انتخاب گردیده است و مجموع آنها تشکیل یک نمونت کلی را می دهد. نمونه ها تا ۲۰۰ مش

خرد شده و سپس پرورد مسورد آنالیز قرار گرفته است. اندازه گیری عناصر اصلی بر روی

اسپکترو متری نشری و اندازه گیری عناصر کمیاب بروش جذب اتمی صورت گرفته است. در شکل

۱ و ۲ محل برداشت نمونه ها در توپل ۱ نشان داده شده است. موقعیت نمونه های سطحی در اشکال

۳ و ۴ نشان داده شده است.

جدول ۱ داده های خاص حاصل از آنالیز کلیه نمونه های سطحی (رانشان) ۱۰ A- 105A

می دهد. داده های مربوط به نمونه های توپل با نفما امیانگین مقدار هر یک از متغیرهای ساده

مورد بررسی نیز در جدول ۲ آورده شده است.

ROCK SAMPLING

10

SAMPLE NO	X	Y	Z	(PbO)			(CaO)			(K ₂ O)			(MgO)			(Al ₂ O ₃)			(SiO ₂)		
				PbO	MgO	CaO	K ₂ O	Cu	Zn	Pb	CaO	K ₂ O	Cu	Zn	Pb	CaO	K ₂ O	Cu	Zn	Pb	
1.0	47.0	12.5	7.03	4.44	5.79	2.43	2.47	3.4	6.1	10	1.9	2	34.6	0.2	0.65	6.4	0.	0.	0.	0.	
1.1	47.3	14.3	7.42	4.7	6.4	2.41	2.13	8.7	6.1	10	2.7	2.3	18	0.1	0.05	4.8	0.	0.	0.	0.	
1.2	48.1	13.4	7.45	4.46	5.35	2.49	3.09	2.9	6.3	15	2.2	2	4.3	0.2	0.14	5	0.	0.	0.	0.	
1.3	41.6	14.1	7.72	5.36	4.69	2.31	2.45	7.6	6.7	10	2.6	2.5	2.5	13	0.4	0.05	2.4	0.	0.	0.	
1.4	44.6	12.5	7.51	4.98	5.56	2.3	2.38	3.6	6.8	12	2.5	2	8.4	0.3	0.05	2.7	0.	0.	0.	0.	
1.5	43.0	14.4	6.91	3.93	6.09	2.58	2.33	6.2	6.6	10	2.2	3	1.3	0.1	0.05	2.2	0.	0.	0.	0.	
1.6	42.5	12.8	7.43	4.26	5.54	2.61	2.37	7.0	6.2	14	3.8	3.2	4.3	0.1	0.11	2.5	0.	0.	0.	0.	
1.7	41.5	15.0	6.51	4.3	6.02	2.67	2.28	3.8	7.2	10	2.7	3.6	1.1	0.1	0.03	1.8	0.	0.	0.	0.	
1.8	40.0	13.5	7.09	4.77	5.89	2.48	2.28	4.0	7.0	10	2.6	2	9.1	0.2	0.03	1.3	0.	0.	0.	0.	
1.9	40.0	16.6	7.02	4.34	5.99	2.46	2.95	3.5	6.6	10	2.1	4.1	1.0	0.1	0.03	1.5	0.	0.	0.	0.	
2.0	39.1	15.7	6.95	4.55	5.87	2.44	2.05	3.3	6.3	10	3.9	2.6	7.4	0.1	0.03	1.6	0.	0.	0.	0.	
2.1	35.0	14.7	7.52	5.21	5.94	2.4	2.34	3.5	7.2	10	2.9	4.1	8.7	0.1	0.02	1.8	0.	0.	0.	0.	
2.2	36.4	17.8	6.66	4.73	6.44	2.47	4.16	2.8	5.2	10	2.2	3	8.6	0.1	0.03	1.2	0.	0.	0.	0.	
2.3	37.8	17.0	7.36	5.43	6.54	2.32	1.93	2.2	6.0	10	2.4	5.6	1.6	0.2	0.04	3.5	0.	0.	0.	0.	
2.4	35.7	16.4	6.74	4.21	6.44	2.64	2.42	3.3	7.2	10	3	2	7.9	0.1	0.02	1.5	0.	0.	0.	0.	
2.5	36.4	20.0	6.95	5.3	6.9	2.37	2.03	3.0	6.4	10	2.7	2	1.4	0.1	0.03	1.6	0.	0.	0.	0.	
2.6	35.5	18.9	6.96	4.97	6.72	2.42	2.18	4.0	6.0	10	3	2.4	4.8	0.1	0.02	2.4	0.	0.	0.	0.	
2.7	34.5	17.9	7.58	4.45	6.8	2.49	2.31	2.8	7.2	10	2.1	2.4	6	0.1	0.02	1.5	0.	0.	0.	0.	
2.8	33.2	20.5	5.88	4.68	6.21	2.54	2.84	3.1	6.5	10	2.4	3.4	9.2	0.1	0.03	1.8	0.	0.	0.	0.	
2.9	32.2	19.3	7.61	4.31	6.02	2.53	2.41	3.8	7.1	10	2.2	6.8	2.6	0.2	0.03	2.1	0.	0.	0.	0.	
3.0	31.6	22.2	7.35	5.01	6.78	2.44	2.57	3.2	5.9	13	2.5	2	7.3	0.1	0.03	1.6	0.	0.	0.	0.	
3.1	30.8	20.9	6.82	4.85	6.61	2.54	2.28	3.2	5.9	15	2.8	2.4	7.1	0.3	0.02	1.2	0.	0.	0.	0.	
3.2	29.6	19.2	7.22	5.28	6.92	2.46	2.55	2.9	6.5	21	2.8	7.7	0.1	0.02	1.5	0.	0.	0.	0.		
3.3	27.9	23.0	7.76	5.32	6.54	2.47	2.44	1.9	6.3	22	2.2	2.4	6.8	0.3	0.02	1.3	0.	0.	0.	0.	
3.4	27.3	21.9	7.56	5.21	6.84	2.26	1.93	3.6	6.2	17	1.9	2	8.6	0.1	0.02	1.8	0.	0.	0.	0.	
3.5	26.7	20.5	7.02	5.17	6.31	2.52	2.69	3.2	5.7	12	3.1	2	8.2	0.1	0.02	1.3	0.	0.	0.	0.	
3.6	24.5	23.3	7.15	5	6.72	2.45	2.75	4.0	5.5	16	3	3.6	11	0.2	0.02	1.6	0.	0.	0.	0.	
3.7	23.9	21.3	5.21	6.7	2.4	2.62	3.3	6.0	15	3.1	2	10	0.2	0.02	0.9	0.	0.	0.	0.		
3.8	23.6	20.5	7.02	4.69	6.64	2.34	2.34	3.8	6.2	18	2.8	3	9.4	0.2	0.02	2.2	0.	0.	0.	0.	
3.9	21.5	23.9	6.8	4.96	6.43	2.55	2.27	3.0	5.5	16	2.4	2	7.7	0.2	0.02	1.2	0.	0.	0.	0.	
2.07	22.5	7.14	5.18	5.4	2.28	4.0	6.2	10	2.4	4.5	12	0.2	0.03	1.5	0.	0.	0.	0.	0.	0.	

R O C K S A M P L E S

(FROM SURFACE)											
S A M P L E N O	X	%	%	%	%	%	(P P m)	(P P m)	(P P m)	(P P m)	(P P m)
	X	Y	F e 2 o 3	M g o	C a o	N a 2 o	K 2 o	C u	Z n	P b	W
41	202	207	7	5.18	6.68	2.35	2.22	36	62	10	2.2
42	153	238	6.6	4.63	6.67	2.46	2.31	35	60	10	2.5
43	174	220	7.23	5.13	5.94	2.51	2.79	139	65	11	2.5
44	171	191	6.63	4.76	7.04	2.36	2.14	35	62	10	2.5
45	159	234	6.74	4.89	6.65	2.25	4.02	29	54	10	1.6
46	160	225	6.57	4.5	6.78	2.39	2.15	26	153	12	2.1
47	152	198	6.55	4.53	6.75	2.51	2.51	27	59	10	3.3
48	141	178	6.71	5.43	6.86	2.38	2.5	36	62	10	3.1
49	152	143	5.84	4.71	7.02	2.56	3.1	31	57	36	2.8
50	135	158	5.48	4.46	7.95	2.19	1.83	25	55	10	2.5
51	137	142	6.94	5.49	7.05	2.28	2.58	34	60	10	2.1
52	125	170	6.68	4.76	6.83	2.43	2.18	30	66	10	2.4
53	116	154	6.87	4.83	7.47	2.66	2.81	39	69	16	2.4
54	133	188	6.09	4.02	6.69	2.52	2.48	32	57	31	2.4
55	116	164	1	0.5	1	3.84	4.26	12	14	18	1.3
56	110	174	7.09	3.72	2.75	2.38	2.1	58	10	2.2	2
57	100	163	8.09	4.56	2.6	2.92	0.33	17	10	2.2	2
58	107	209	9.65	7.3	9.9	2.09	1.59	58	10	1.5	2
59	145	270	6.53	4.13	6.16	2.48	2.53	30	57	12	1.8
60	151	255	6.16	3.86	5.33	2.65	3.42	24	56	10	1.6
61	155	239	6.71	4.12	6.61	2.54	3.39	25	68	15	2.1
62	144	221	7.44	4.51	7.08	2.38	2.08	66	63	40	3.3
63	213	257	7.59	5.22	6.62	2.36	2.28	34	65	16	2.8
64	222	252	7.69	5.31	6.46	2.45	2.47	26	59	10	2.2
65	220	272	7.41	5.57	6.86	2.31	2.02	35	64	15	2.6
66	229	282	7.8	5.35	3.47	2.47	1.96	35	59	11	2.4
67	223	293	7.05	4.72	6.81	2.32	2.08	28	64	14	2.4
68	240	238	7.43	5.27	6.89	2.33	2.16	34	64	10	2.4
69	263	291	7.21	4.69	6.76	2.31	1.93	32	62	10	2.5
70	244	308	7.13	4.15	6.29	2.53	2.14	65	10	1.9	5.4

10

R O C K S A M P L E S

SAMPLE NO	X	Y	Fe2O3	FROM SURFACE			(PPM)			(PPM)			(PPM)			(PPM)			(PPM)		
				%	%	%	MgO	CrO	Na2O	K2O	Cu	Zn	Pb	W	Sn	As	Bi	He	Al	Ag	
71	275	305	6.39	4.4	6.36	2.46	2.17	28	7.9	10	2.2	2.2	6.6	0.1	0.02	1	0.05				
72	267	321	7.12	4.18	6.43	2.55	2.27	26	6.5	10	2.4	2.6	9.9	0.1	0.02	1.3	0.06				
73	249	332	5.83	3.16	5.76	2.9	4.01	23	6.2	19	2.9	2	11	0.1	0.02	1.6	0.07				
74	286	326	6.04	3.54	4.26	3.09	2.13	20	6.2	10	2.5	4.6	9.9	0.2	0.02	0.9	0.06				
75	248	350	6.54	3.65	5.8	2.8	1.9	23	6.5	10	2.1	2	8.2	0.2	0.02	1.2	0.05				
76	278	353	6.31	3.6	6.61	2.46	2.15	27	6.3	10	1.9	2	8.3	0.1	0.02	2.3	0.06				
77	237	374	6.67	4.27	6.28	2.38	1.93	36	6.6	10	1.9	2	8	0.1	0.02	1.2	0.07				
78	232	395	6.53	3.61	6.32	2.69	2.56	22	5.7	12	2	2	14	0.1	0.02	0.9	0.05				
79	215	100	5.91	3.41	6.79	2.59	3.16	16	6.7	16	2.2	2	9.9	0.1	0.12	1.1	0.03				
80	260	82	7.97	4.68	6.22	2.31	2.2	35	7.5	11	2.4	2	13	0.2	0.02	1.3	0.05				
81	241	73	1	0.5	1	3.76	5.54	10	17	12	1.8	13	6	0.1	0.02	4.1	0.05				
82	228	92	7.31	4.1	5.99	2.36	2.23	38	7.0	10	2	6.6	8.8	0.2	0.02	1.4	0.05				
83	200	70	6.9	3.98	5.84	2.51	3.26	31	6.9	10	2	2	7.3	0.2	0.02	0.5	0.06				
84	185	19	7.94	4.49	5.42	2.58	2.03	34	10.6	28	2.4	2.6	12	0.2	0.02	0.8	0.09				
85	159	49	6.82	3.45	6.06	2.7	2.78	28	8.0	12	2.7	4.3	5.6	0.2	0.02	1.4	0.07				
86	167	61	7.18	3.99	5.71	2.77	4.61	26	6.9	10	2.4	3.6	13	0.2	0.02	1.1	0.05				
87	150	54	6.75	4.3	6.74	2.65	2.8	34	6.3	10	2.3	4.3	9.4	0.1	0.02	1	0.07				
88	154	103	7.38	4.47	4.05	2.55	2.41	35	6.3	10	2.2	3.6	8.4	0.1	0.02	0.9	0.07				
89	155	120	7.55	5.01	6.5	2.53	2.89	96	7.5	10	2.2	1.4	5.7	0.3	0.02	1.6	0.09				
90	150	272	7.75	6.59	5.2	4.16	4.16	33	6.1	10	2.2	2.6	8.4	0.1	0.02	1.4	0.07				
91	166	254	7.79	5.31	6.18	2.63	2.27	35	6.3	10	2.5	2.2	8.5	0.1	0.02	1.7	0.04				
92	241	261	6.83	4.41	6.87	2.61	2.27	27	6.1	10	2.5	5.6	0.1	0.02	1.6	0.04					
93	265	245	7.2	4.57	6.5	2.69	2.6	29	7.0	14	2.5	2.2	7.3	0.1	0.02	1	0.04				
94	317	250	7.32	5.07	7.01	2.38	2	32	6.1	2	2	4.9	0.1	0.02	-4	0.03					
95	320	264	7.7	5.2	6.79	2.52	2.07	32	8.0	15	2.4	1.9	0.1	0.02	1	0.06					
96	313	285	5.97	3.97	6.11	2.53	2.33	27	7.0	13	2.4	2	7.8	0.1	0.02	1.5	0.06				
97	265	134	7.06	4.61	6.37	2.26	2.08	25	7.0	15	2.6	5.6	6.9	0.1	0.02	0.9	0.07				
98	273	142	7.31	4.54	6.03	2.5	2.3	31	6.6	16	2.2	2	7.3	0.1	0.02	1.4	0.06				
99	458	164	7.78	5.58	6.94	2.47	2.65	58	7.4	24	2.4	2	11	0.1	0.02	1.1	0.03				
100	433	175	6.95	4.92	6.65	2.54	2.25	43	7.0	10	2.2	2	8.8	0.1	0.02	0.9	0.05				
101	455	192	7.5	4.26	6.65	2.48	2.15	44	7.1	19	2.1	2	6.6	0.1	0.02	1.7	0.05				
102	400	211	7.45	4.06	6.93	2.35	1.75	23	7.0	12	2.4	2	5.8	0.1	0.02	1.1	0.05				
103	371	227	7.54	4.01	6.1	2.53	2.15	27	9.3	11	2.4	2	6	0.1	0.02	1.3	0.06				
104	385	250	7.62	5.22	7.23	2.36	2.12	46	6.9	12	2.7	2	5.7	0.1	0.02	1.1	0.07				
105	516	130	3.06	5.07	6.44	3.3	0.1	10	6.7	2.8	2.6	4.7	0.4	0.02	0.9	0.08					

12

TUNNEL SAMPLES

SAMPLE NO	X	Y	Pb203	HgO	CaO	Na2O	K2O	Cu	Zn	Pb	W	Sn	As	Bi	Ag	Hg	Au	Ag
110	737	185	8.45	4.75	8.61	2.11	2.91	62	121	10	3.2	56	42	0.4	0.32	1	0.07	
111	715	185	7.26	4.86	6.71	2.5	2.86	40	99	10	2.4	21	0.2	0.02	1.1	0.13		
112	626	185	7.53	5.25	7.76	2.4	2.23	62	89	10	3.1	13	72	0.3	0.02	1.1	0.1	
113	678	185	7.49	3.89	6.715	2.7	2.06	38	76	10	2.5	4	22	0.2	0.02	0.9	0.1	
114	652	185	9.45	2.39	4.5	2.2	2.39	96	113	10	2.8	27	220	1	0.03	1.7	0.07	
115	633	185	7.15	4.8	6.83	2.7	2.96	89	76	10	3.2	13	32	0.2	0.03	0.5	0.07	
116	515	185	7.44	4.6	5.95	2.52	2.8	41	81	10	3.7	17	32	0.2	0.02	1.4	0.06	
117	598	185	7.51	4.45	5.7	2.55	2.86	41	80	10	3.7	3.5	43	0.1	0.06	0.8	0.05	
118	581	185	7.27	4.26	5.09	2.62	2.85	112	84	10	2.5	37	48	0.9	0.02	1.2	0.06	
119	569	185	7.19	3.92	5.6	2.42	2.62	38	80	10	2.8	24	19	0.2	0.02	1.4	0.05	
120	542	185	6.6	4.92	3.86	2.46	2.66	56	62	10	3	3.1	22	0.3	0.02	1.5	0.06	
121	522	185	6.33	4.1	6.37	2.64	2.75	36	69	10	2.4	25	36	0.3	0.02	1	0.05	
122	503	185	6.17	3.78	4.28	2.3	3.15	31	100	13	2.2	64	76	0.5	0.02	0.9	0.07	
123	484	185	7.08	4.5	4.05	2.26	2.7	42	34	10	3.1	26	28	0.4	0.02	0.8	0.07	
124	460	185	8.06	4.55	5.49	2.36	3.19	72	104	17	3	68	129	2.9	0.03	1.7	0.1	
125	441	185	7.59	4.2	6.7	2.5	2.68	87	90	10	3	45	79	1.1	0.02	2.3	0.08	
126	422	185	7.39	6.04	7.71	2.41	2.91	77	92	10	2.7	37	40	0.3	0.02	0.7	0.07	
127	407	185	7.7	4.71	6.2	2.36	2.74	46	87	10	3.4	34	19	0.5	0.02	0.7	0.07	
128	392	185	7	4.15	5.79	2.35	2.99	47	73	10	2.7	35	61	0.7	0.02	1.4	0.05	
129	376	185	7.61	4.76	6.24	2.39	3.16	24	92	10	3.5	34	16	0.5	0.02	1.8	0.04	
130	350	185	7.34	4.4	6.47	2.57	3.58	124	85	10	2.8	36	30	0.8	0.02	1.6	0.06	
131	332	185	7.39	4.89	6.7	2.36	2.99	34	81	10	2.7	27	40	0.2	0.02	1.4	0.04	
132	315	185	8.41	4.86	6.35	2.19	2.92	67	110	10	3.7	36	61	0.5	0.02	0.9	0.07	
133	300	185	8.41	4.86	6.79	2.39	2.99	29	92	10	2.4	45	17	0.2	0.02	0.8	0.05	
134	282	185	7.1	4.64	6.79	2.52	3.03	34	78	11	2.2	39	24	0.3	0.03	1.4	0.06	
135	265	185	7.37	4.4	5.46	2.3	3.65	28	83	10	2.3	37	202	0.7	0.02	1	0.05	
137	233	185	7.1	4.7	6.37	2.58	2.7	55	69	10	3.8	13	0.2	0.02	1.1	0.05		
139	335	215	7.82	4.9	6.44	2.3	2.67	292	72	15	3.3	22	177	11	0.08	6.4	0.26	
140	356	200	7.52	5.16	7.59	2.46	2.78	43	65	13	2.4	5.1	12	0.2	0.05	1	0.05	
141	407	145	8.24	4.4	2.7	3	3.3	518	117	16	65	73	3.7	0.05	1.2	0.33		
142	425	210	7.69	4.77	7.04	2.51	3.02	36	81	10	3	25	3.3	0.4	0.03	0.8	0.05	
143	440	166	6.83	4.5	6.52	2.65	3.13	45	73	10	3.1	17	17	0.2	0.03	0.9	0.07	
144	455	265	7.99	4.7	5.96	2.6	2.5	730	83	10	16	14	29	1.3	0.1	6.5	0.41	
145	490	841	4.93	5.37	2.35	2.87	2.99	87	10	2.8	2.74	1	0.03	1.2	0.05			

TUNNEL SAMPLES

12

SAMPLE NO.	X	Y	Fe2O3	MgO	CaO	Na2O	K2O	Cu	Zn	Pb	W	Sn	As	Bi	Hg	Ag	Au	Ag
147	502	85	8.8	4.74	5.16	2.18	3.6	3.9	126	10	2.7	160	80	3	0.05	0.7	0.04	
143	675	370	6.56	4.57	6.05	2.42	2.3	3.6	67	11	2.7	11	28	0.3	0.03	0.7	0.04	
149	657	322	8.05	4.75	6.44	2.35	2.52	83	77	11	2.4	6.1	12	0.3	0.05	1	0.06	
150	640	280	8.3	4	4.9	1.95	2.09	174	70	13	2.8	22	62	2.4	0.05	0.9	0.07	
151	640	245	8.2	4.45	5.8	2.2	2.66	45	79	14	2.9	25	77	0.6	0.03	1.4	0.04	
152	800	405	7.06	3.8	5.45	2.7	2.92	87	70	13	3	7	130	0.8	0.06	0.9	0.05	
153	795	340	9.31	4.2	2.8	1.97	2.9	790	140	10	2.7	65	194	3.6	0.05	2.1	0.4	
156	784	245	9.14	3.77	3.52	1.79	2.49	70.3	134	15	1.3	51	43	1.4	0.03	1.4	0.26	
TOTAL AVERAGE			7.40	4.40	5.77	2.33	2.81	118.25	86.25	10.68	5.33	33.66	64.73	1.31	0.03	1.35	0.09	

۳- روش کار :

بمنظور هرگونه تحلیلی روی داده های سطحی لازماست قبل از مقدار استاندارد متغیرهای

مربوطه درون تونل (یاد مورت امکان در معدن روباز) محاسبه گردد، این مقادیر استاندارد

می توانند بعنوان معیاری برای مقایسه بکار رود، اشکال ۱۴ تا ۱۶ (الفوب) بترتیب تغییرات

Hg, Cu, Bi, Au, As, Ag مقدار متغیرهای

Zn, W, Sn, Pb را بطور سه بعدی و دو بعدی نمایش می دهند، تغییرات مشابهی

Na₂O, CaO, MgO, Fe₂O₃, K₂O برای بعضی از اکسیدهای املی سازنده ا

K₂O + MgO/Na₂O + CaO نشان

داده شده است.

حساسیت تغییرات مقدار هر یک از این عنصر در توزیل قطع کننده رگه و در سنگهای ذنب الله رو

رگه بشدت متفاوت است، برای مثال تغییرات مقدار قلع در شکل ۱۲ (الفوب) نشان

می دهد که تاچه حد مقدار این متغیر نسبت به موقعیتش با رگه کامسا برستگی دارد و مثقال

آنکه تغییرات مقدار Na₂O حساسیت چندانی نسبت به موقعیتش با رگه نشان نمی دهد.

(شکل ۱۹ الفوب) در آخرین سطر جدول ۲ میانگین کل مقدار هر یک از متغیرها برای کل نمونه های

برداشت شده از تونل ارائه گردیده است، در جدول ۳ ماتریس همبستگی همه متغیرهای تونل ۱ آ

نسبت به یکدیگر محاسبه و نشان داده شده است، چنانکه ملاحظه می شود ۳ Fe₂O₃ با

MgO، CaO همبستگی منفی نشان می دهد.

CaO با CaO و CaO با Na₂O همبستگی مثبت نشان می دهند، ضریب همبستگی

K₂O با MgO غایی ولی باقیه اکسیدهای دار حدم مفرمی باشد، در مورد عناء سرکمی می اباب

همبستگی با آهن ملاحظه من گردد، بین Na₂O با Zn و Sn همبستگی منفی و قابل ملاحظه

است . بظرکلی می توان گفت که تقریباً " همه عنصر کمیاب با

Au, Hg, Bi, As همیستگی منفی دارند . بین خود عنصر کمیاب همیستگی شدیدی بین گروه

دلاخذه می گردد ، همیستگی زفره بامس نیر در حد همیستگی بین گروه عنصر فوق است . در میز

نمونه های سطحی منحنی های هم عیار بروش کریجینگ ترسیم یافته اند . این منحنی ها محدوده های

Bi, Au, As, Ag پر تمرکز را صرف می نمایند . اشکال ۲۱ تا ۳۰ بترتیب توزیع مقادیر

Zn, W, Sh, Pb, Hg, Cu رانشان می دهد . نقاط رنگ شده روی آنها که اغلب

در مرکز محدوده های پر عیار است مشخص کنند و نقاطی با عیار بالاتر از مقدار نظیر آنها در تونل است

با استفاده از این اشکال تنهامی توان محدوده های پر عیار ابظر نسبی مشخص نمود . قدرت متغیرهای

As, Pb, Cu, Au بیش از فرق برای چنین کاربردی یکان نیست . برای مثال قدرت

Zn, W, Sn می باشد و قدرت گروه اخیر بیش از Hg, Bi, Ag است . در همین میز

Tغییرات اکسیدها نیز می تواند بکار گرفته شود . در این صورت Fe₂O₃, CaO, MgO

K₂O, Na₂O از توانایی کمتری برخوردارند . (اشکال ۲۱ تا ۲۵) در جدول

۴ محدوده های سطحی از نظر پتانسیل کانی سازی پنهانی اولزیت بندی شده اند (بر حسب متغیرهای مختلف) .

===== MATRIX OF CORRELATIONS (TUNNEL) =====

	<i>Fe2O3</i>	<i>MgO</i>	<i>CuO</i>	<i>Na2O</i>	<i>K2O</i>	<i>Cu</i>	<i>Zn</i>	<i>Pb</i>	<i>W</i>	<i>Sn</i>	<i>As</i>	<i>Bi</i>	<i>Hg</i>	<i>Au</i>	<i>Ag</i>
<i>Fe2O3</i>	- .24	- .40	- .77	0.01	0.52	0.78	0.20	0.16	0.50	0.40	0.34	0.38	0.31	0.44	
<i>MgO</i>	0.56	0.18	0.22	- .16	- .14	- .08	0.01	- .02	- .18	- .10	- .09	- .10	- .07	- .07	
<i>CaO</i>	0.48	- .06	- .46	- .33	- .19	0.04	- .31	- .33	- .27	- .28	- .23	- .35			
<i>Na2O</i>	0.01	- .40	- .63	- .30	- .05	- .50	- .41	- .35	- .33	- .31	- .28				
<i>K2O</i>		- .14	0.23	0.07	- .07	0.59	- .01	- .08	- .08	- .13	- .14				
<i>Cu</i>			0.48	0.14	0.24	0.14	0.15	0.27	0.34	0.30	0.34				
<i>Zn</i>				0.07	0.06	0.67	0.13	0.07	0.07	0.03	0.43				
<i>Pb</i>					0.09	0.08	- .01	- .01	0.04	- .00	0.10				
<i>W</i>						- .06	0.06	0.11	0.14	0.17	0.36				
<i>Sn</i>							0.29	0.23	0.24	0.16	0.10				
<i>As</i>								0.95	0.88	0.92	0.15				
<i>Bi</i>									0.95	0.99	0.28				
<i>Hg</i>										0.93	0.34				
<i>Au</i>											0.33				

=====

MATRIX OF CORRELATIONS (SURFACE SAMPLES)

E.C.

<i>Fe2O3</i>	<i>MgO</i>	<i>CaO</i>	<i>Na2O</i>	<i>K2O</i>	<i>Cu</i>	<i>Zn</i>	<i>Pb</i>	<i>W</i>	<i>Sr</i>	<i>As</i>	<i>Bi</i>	<i>Hg</i>	<i>Au</i>	<i>Ag</i>
<i>Fe2O3</i>	0.73	0.57	-.80	-.40	0.38	0.46	-.05	0.16	-.23	0.07	-.05	0.04	-.06	0.07
<i>MgO</i>		0.68	-.71	-.39	0.34	0.27	-.06	0.23	-.24	-.01	0.07	-.02	-.10	-.05
<i>CaO</i>			-.74	-.33	0.23	0.29	0.07	0.18	-.29	-.04	0.07	-.07	-.16	0.03
<i>Na2O</i>				0.34	-.32	-.36	0.03	-.15	0.28	-.05	0.08	-.03	0.04	-.04
<i>K2O</i>					-.07	-.37	0.07	-.21	0.19	0.01	-.03	0.01	0.10	-.11
<i>Cu</i>						0.09	0.03	0.15	0.14	0.08	0.11	0.04	0.06	0.15
<i>Zn</i>							0.00	0.10	-.11	0.00	0.10	-.04	-.12	0.06
<i>Pb</i>								0.16	-.11	-.05	0.05	-.06	-.10	0.32
<i>W</i>									0.03	-.09	-.08	-.07	-.06	0.04
<i>Sn</i>										0.14	0.13	-.01	0.13	-.09
<i>As</i>											0.05	0.96	0.51	0.02
<i>Bi</i>												0.04	0.03	-.00
<i>Hg</i>												0.57	0.02	
<i>Al</i>														-.05

جدول شماره ۴

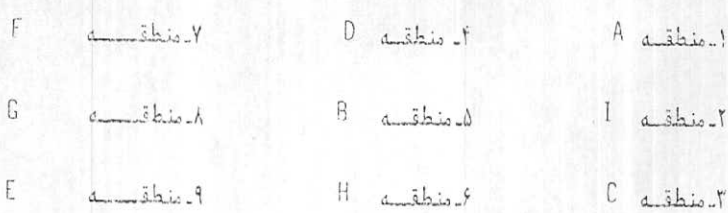
نقطه نمونه گیری متغیرها	اولین دست نمونه	ثانی دست نمونه	اولین دست نمونه	نحوه دست نمونه
Ag	79,63		11,62	
As	89		10, 80	
Au	39, 42, 66, 60	70, 23	52, 81, 10	
Bi	--	--	53	
Cu	--	81	58, 89, 43, 11	
Hg	--	--	10	
Pb	36, 73, 33	84	99,62,49	
Sn	--	81	89, 16	
W	41, 73,63	35, 81	20,16,47	
Zn	56, 22	103	46,81	
Na2O	73,74,14	--	56,81	
K2O	22,73	90	86,81	
MgO	99, 90	--	55,81	
CuO	--	14	57,81	
Fe2O3	88,56	12	81	

جدول ۵ ماره

ردایی شماره های نموداری	۳	۲	۱	اولویت ها محدوده ها
۹۸ و ۹۷ تا ۸۴ و ۷۹	—	۴	۹	A
۱۰۱ تا ۹۹ و ۹۶ تا ۱۰	۲	۲	۸	I
۵۰ و ۴۶ تا ۵۷ و ۵۲	۲	—	۶	C
۹۱ و ۹۰ تا ۸۰ و ۷۹ تا ۴۲	۳	۱	۵	D
۷۶ تا ۶۸	۵	۱	—	F
۹۲ تا ۶۲ و ۶۶ تا ۹۲	۲	۱	—	E
۴۱ تا ۲۰	۴	۱	—	G
۱۰۴ تا ۱۰۲ و ۱۰۳ تا ۲۲	۲	۲	۱	H
۴۹ و ۸۹ تا ۸۷	۱	—	۲	B

براساس نتایج حاصل از اسکال ۲۱ تا ۲۵ مناطق زیر رتبه برد بر حسب اهمیت پتانسیل

کاری مخصوصی شوند.



برای تعیین بهترین محل حفاریها که در آنها ریسک حداقل باشد لازم است که حفاریها را در محل پایی که در آنجا سطح فرسایش کنسونی حداقل فاصله را با کانی سازی احتمالی داشته باشد به انجام رسانید. بدین منظور بر اثر ارزیابی فاصله سطح فرسایش کنسونی نسبت به سطح کانی سازی لازم است ابتدا عنصر فوق کانساری جدا و سپس تنبیه رات هرگز رو مورد مطالعه قرار گیرد.

مقدار نسبت عنصر فوق کانساری به قسمت کانساری می‌تواند را این ارزیابی بعنوان ملاک نسبی بدکار رود. برای تعیین این گروه از عنصرا باید لا زم بود تا نقشه مقدار هر متغیر منتهی‌ای

میانگین مقدار آن در تونل ترسیم گردد (fig. ۳۶).

پنجمین ارزیابی هم عیار برای متغیرهای

Sn, Pb, Hg, Cu, Bi, Au, As, Ag نشان می‌دهد. مزیت نقشه‌های پس‌مانده

(Residual maps) () بین نقشه‌های مقدار مطلق آنست که این نقشه‌ها می‌توانند متنی شدگی

ویا تهی شدگی سطحی را نسبت به افق تونل (کانی سازی) نشان دهند و از این نقطه نظر معرف

توزیع محسوری عنصرها باشند. در این اشکال سه‌حالت پیش می‌آید.

۱. نقاطی با مقادیر مثبت که با ساخته‌های هم عیار مرکز دار مشخص می‌شوند.

۲. نقاط مسطح که فاقد خطوط هم عیار هستند و در افق تونل (کانی سازی) مشابه افق

تونل (کانی سازی) هستند.

۳. نقاطی با مقادیر منفی که با ساخته‌های هم عیار مرکز دار مشخص می‌شوند و معرف آنند

که فراوانی آنها کمتر از حد مذکور در افق تونل (کانی سازی) است.

از مقایسه اشکال پس‌مانده و اشکال مربوط به عنصر کمیاب معلوم می‌گردد که سرب و طلا در دیاف

عنصر فوق کانساری است و Zn و تا حدودی As میان کانساری است و بالاخره عنصر

است. در مسیر دعنه از Hg و Ag قضاوت کمی دشوار خواهد بود زیرا احتمال

دوگانه‌ای وجود دارد . از مقایسه اشکال مربوط به اکسیدها معلوم می‌گردد که K_{20}

Fe_{203} و CaO و MgO در مرکز تمرکزهای سطحی غنی‌شدگی نشان می‌دهند

خلاصت دوگانه‌ای دارند و در موادی غنی‌شدگی نسبی و در موادی تمی‌شدگی نسبی نشان می‌دهند .

در مجموع همبستگی نسبتاً " بالای بین تمرکز مقدار مطلق متغیرها با مقادیر پس‌مانده آنها " وجود دارد . در جدول ۶ ماتریس همبستگی بین متغیرهای مربوط به نمونه‌های سطحی نشان داده شده است . از مقایسه مقادیر این جدول با جدول مربوط به ماتریس همبستگی نمونه‌های تولنل آ معلوم می‌گردد که همبستگی بین متغیرها در سطح کمتر از افق تولنل است .

چه در مورد عناصر کمیاب و چه می‌گردد که همبستگی بین متغیرها در سطح کمتر از افق تولنل است .

در مورداکسیدها .

حال با تشکیل نسبت‌های $\frac{Pb}{W}$ برای مقادیر پس‌مانده‌ی توان به ارزیابی فاصله سطح فرسایش کنونی نسبت به سطح

کانی‌سازی پنهان پرداخت و کم ریسک ترین نقاط حفاری را در محدوده‌هایی که قبلاً " براساس

نقشه تمرکز عناصر اولویت‌بندی شده است ، مشخص کرد . اشکال ۵۱ تا ۵۴ بترتیب نقشه‌های

توزیع نسبت‌های عناصر فرقانی به تحت کانساری ، فوق کانساری به میان کانساری " میان کانساری به تحت

کانساری و بالا خر ن نقشه توزیع دو عنصر کاملاً " متقابل در توالی منطقه‌بندی (Pb ، W) ارانشان

می‌دهد . محدوده‌هایی بارنگ‌سیز در این نقشه‌ها (۵۱ تا ۵۴) معرف دارا بودن شرایط حداقل

فاصله به سطح کانی‌سازی احتمالی است و نقاط آبی رنگ‌ولله‌ها به تناسب اعداد مربوطه بیشتر

شدن این فاصله را نشان می‌دهند .

۳- نتیجه‌گیری :

از تطبیق شرایط موجود در این نقشه‌ها یان نقشه‌های مربوط به تمرکز عناصر اولویت‌بندی

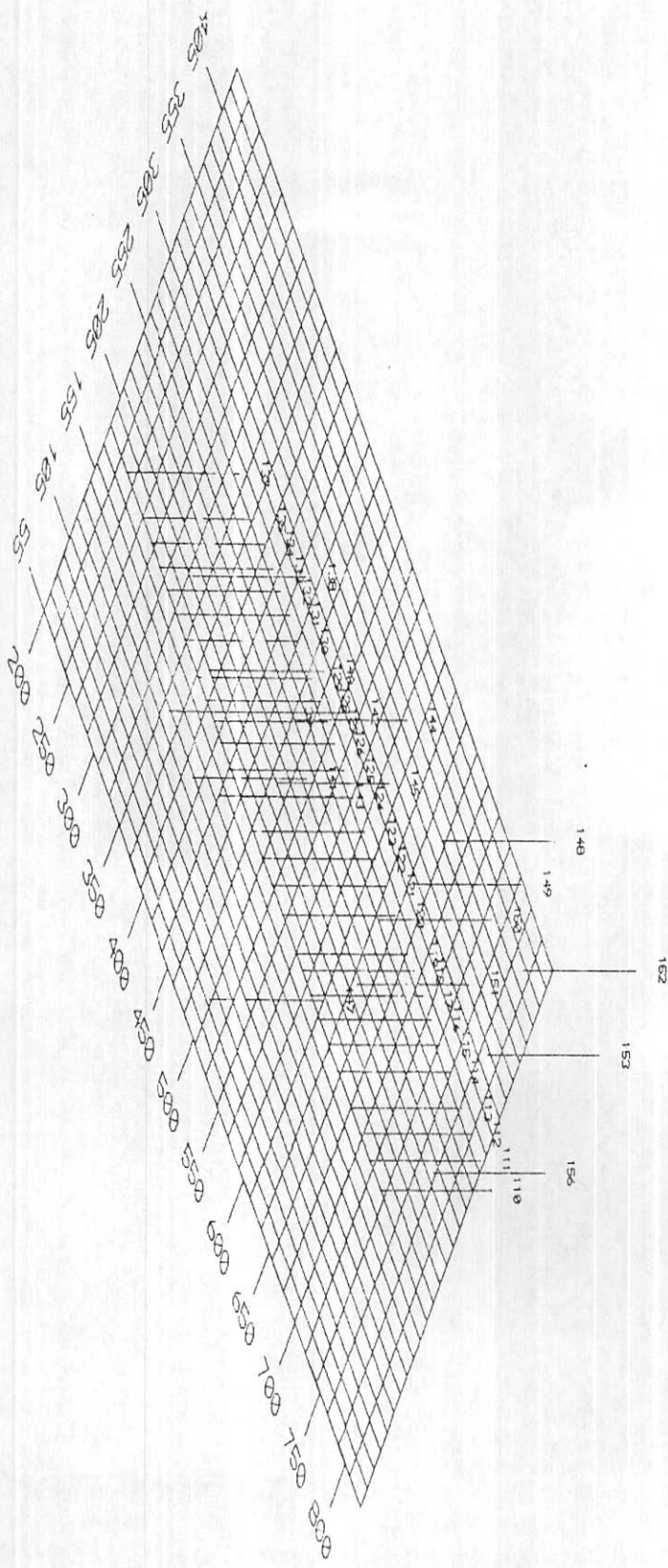
مناطق می‌توان به طور نهائی مناسبترین محل حفاری را بر حسب اولویت به صورت زیر پیشنهاد نمود :

F, B, D, C, I, A

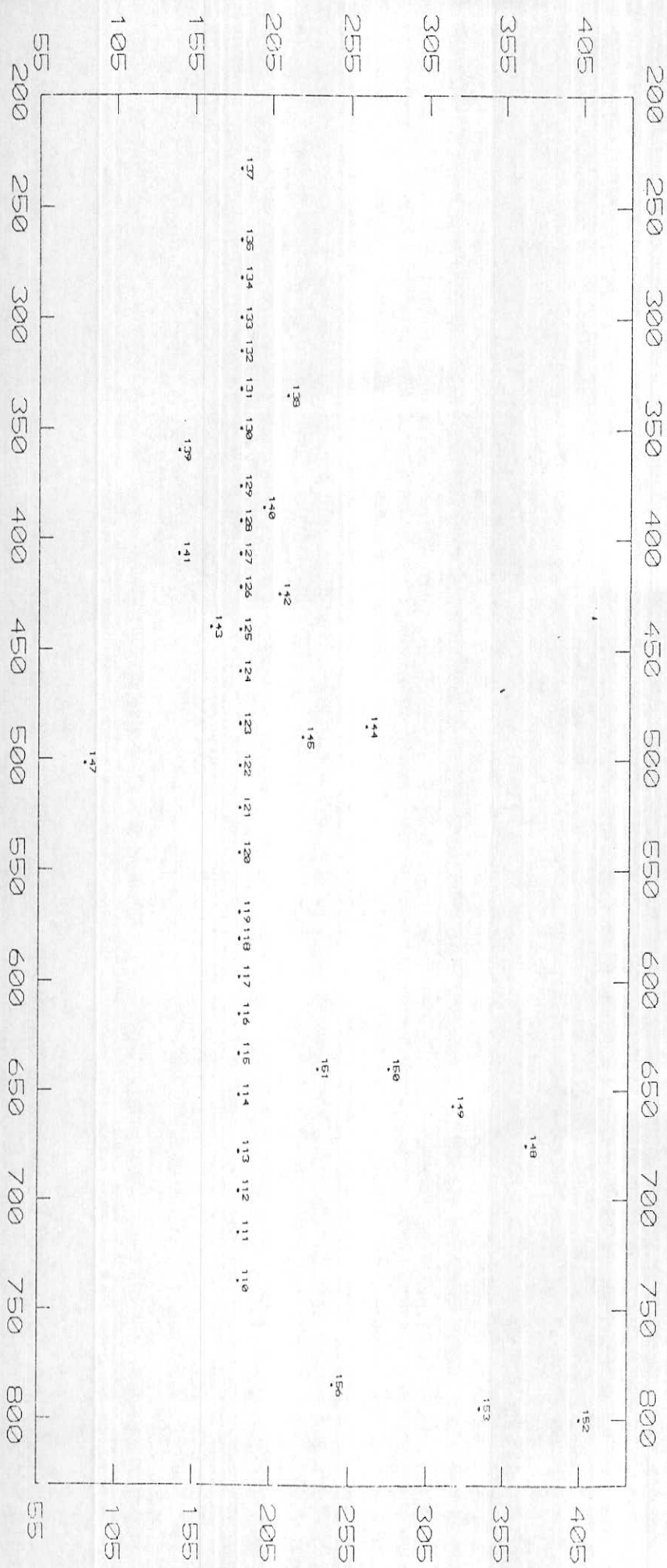
در شکل ۵۵ محدوده های مربوط به هر یک از نقاط اولویت بندهی شده نشان داده شده است . / خ .

}

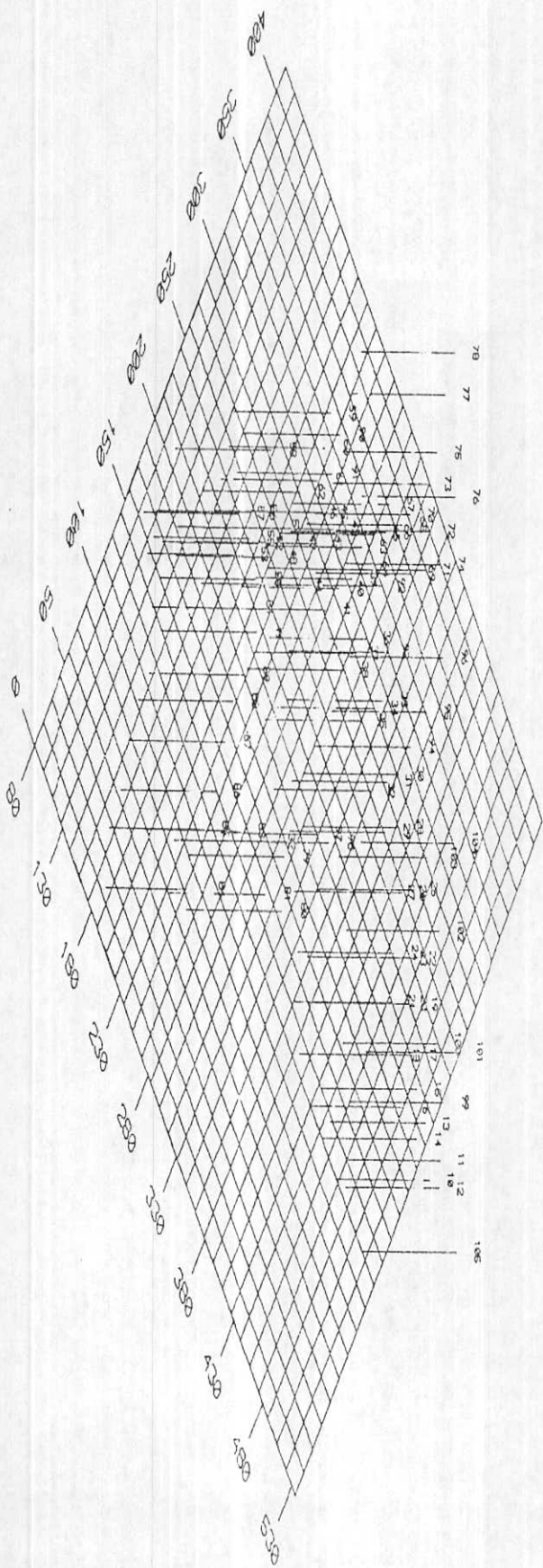
SAMPLES (tunnels)



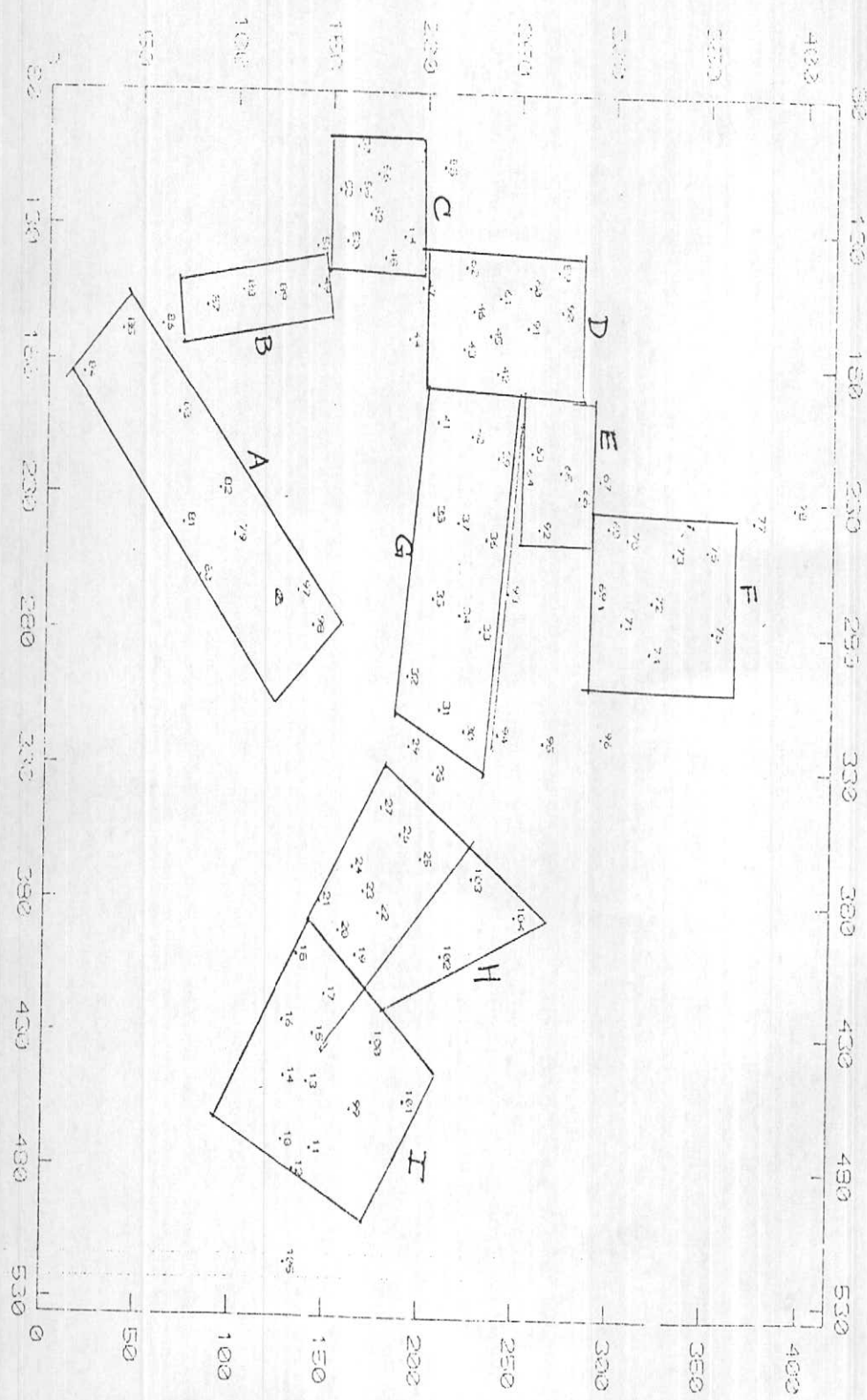
SAMPLES (tunne l)

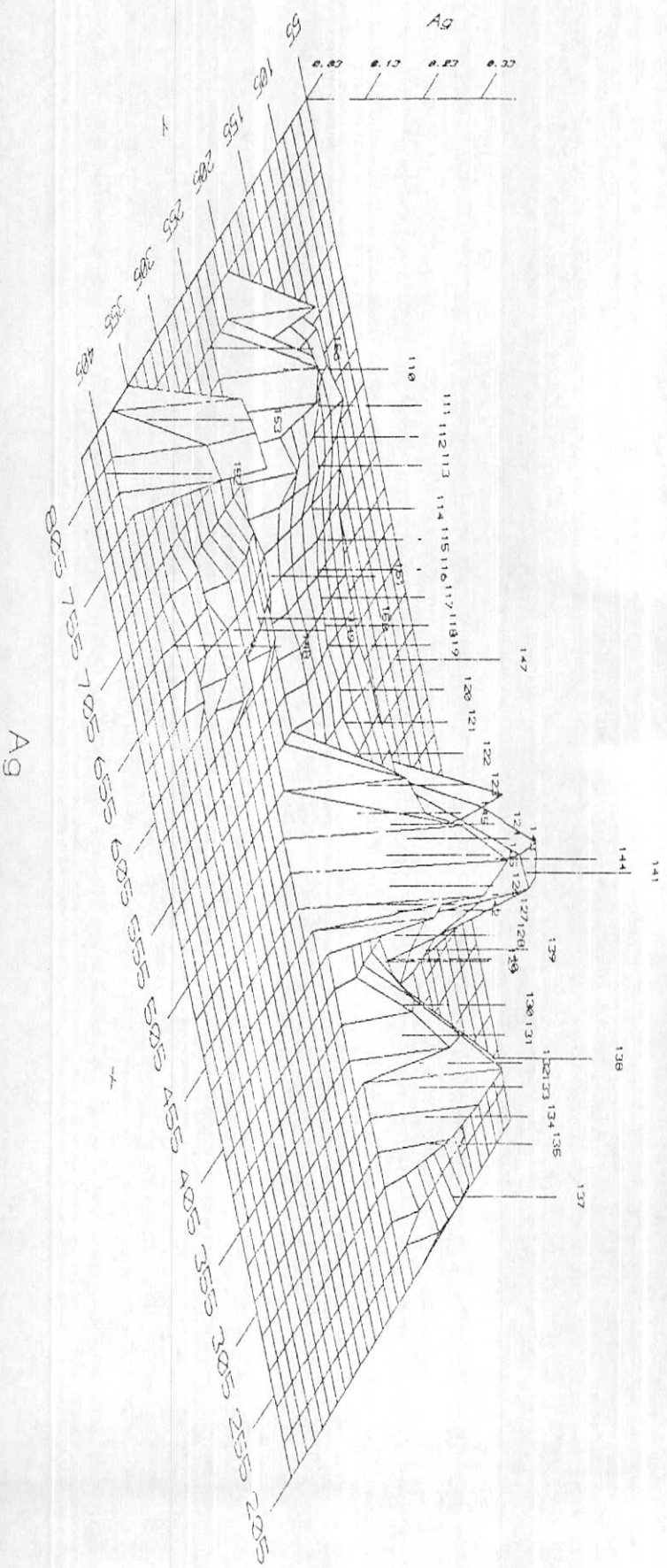


SAMPLES (SURFACE)

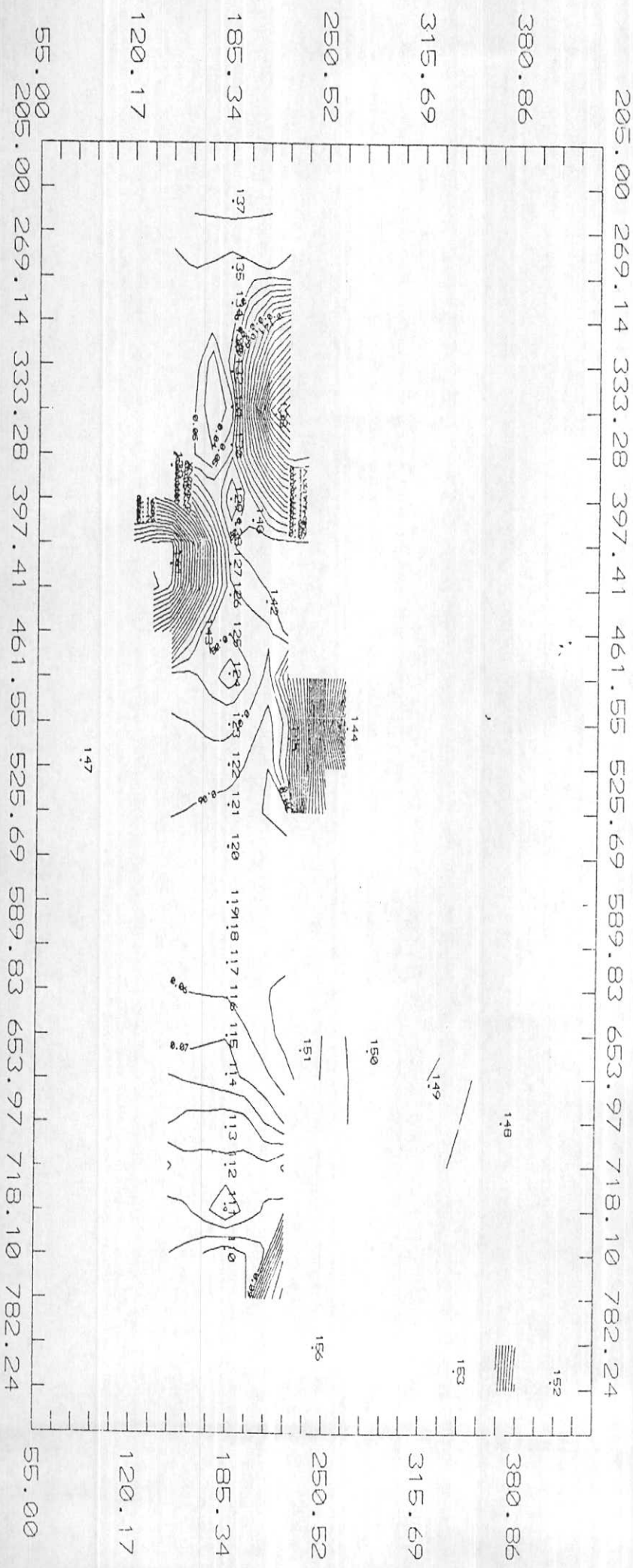


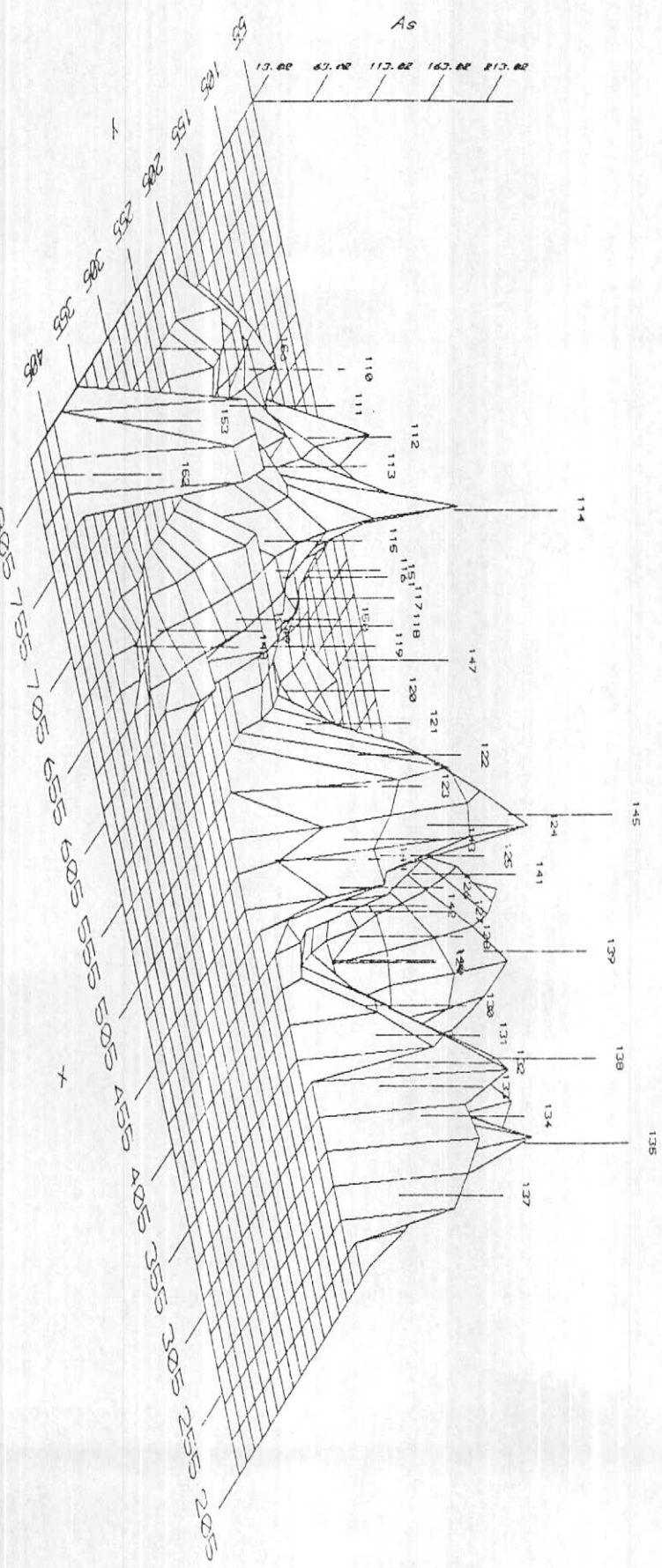
SAMPLES





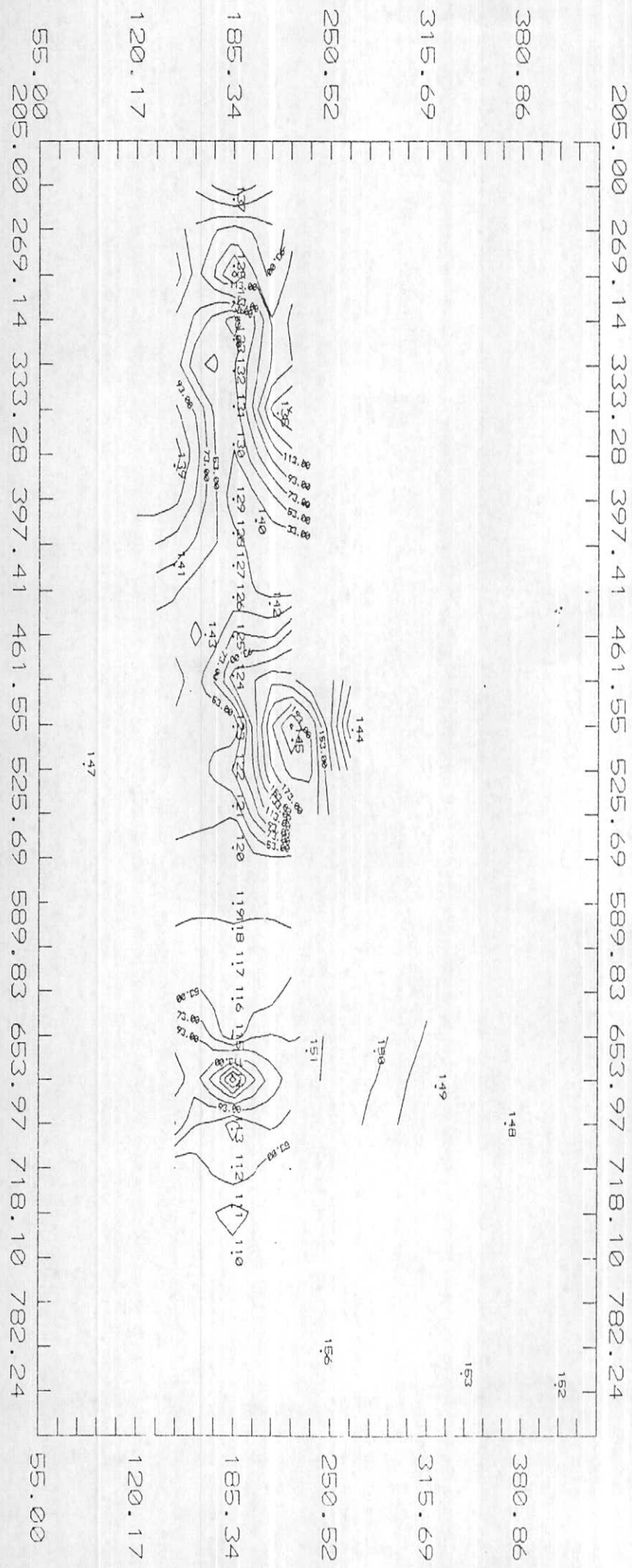
A9





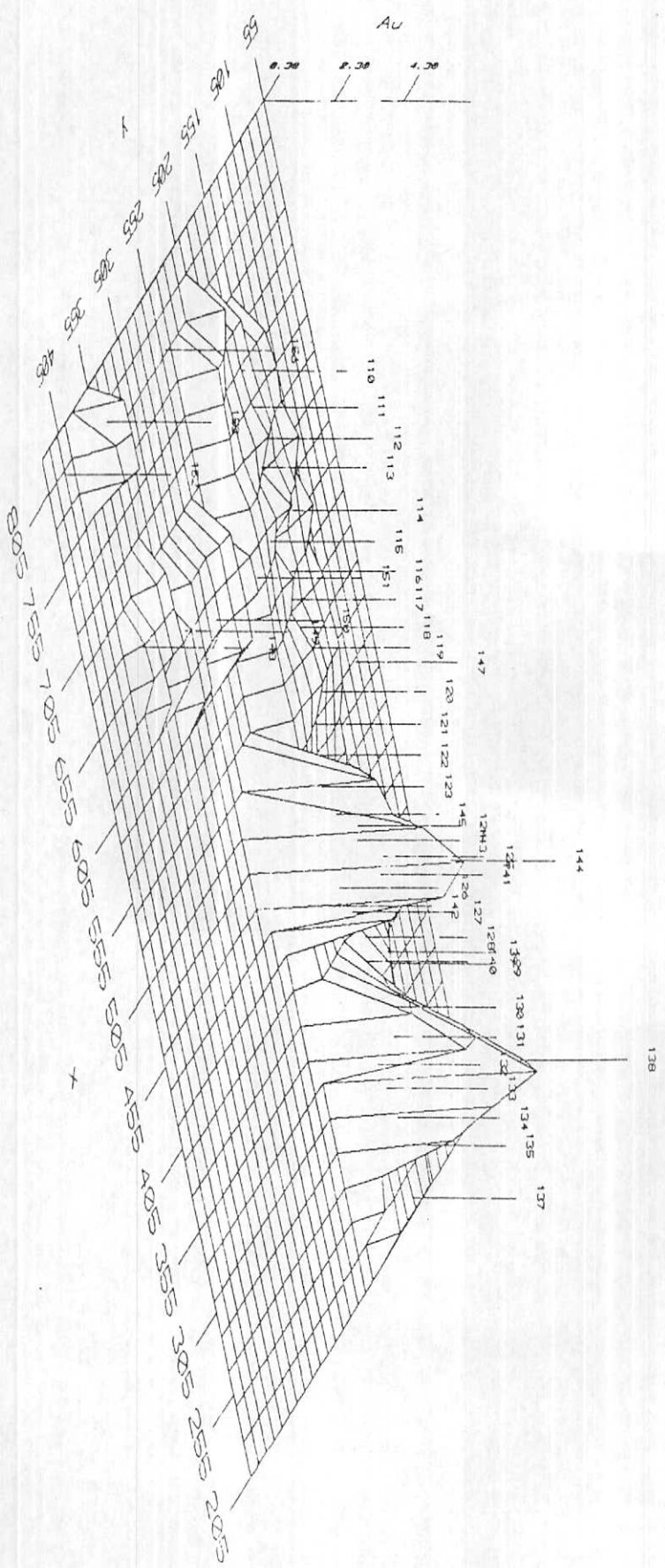
شکل ۶ اع

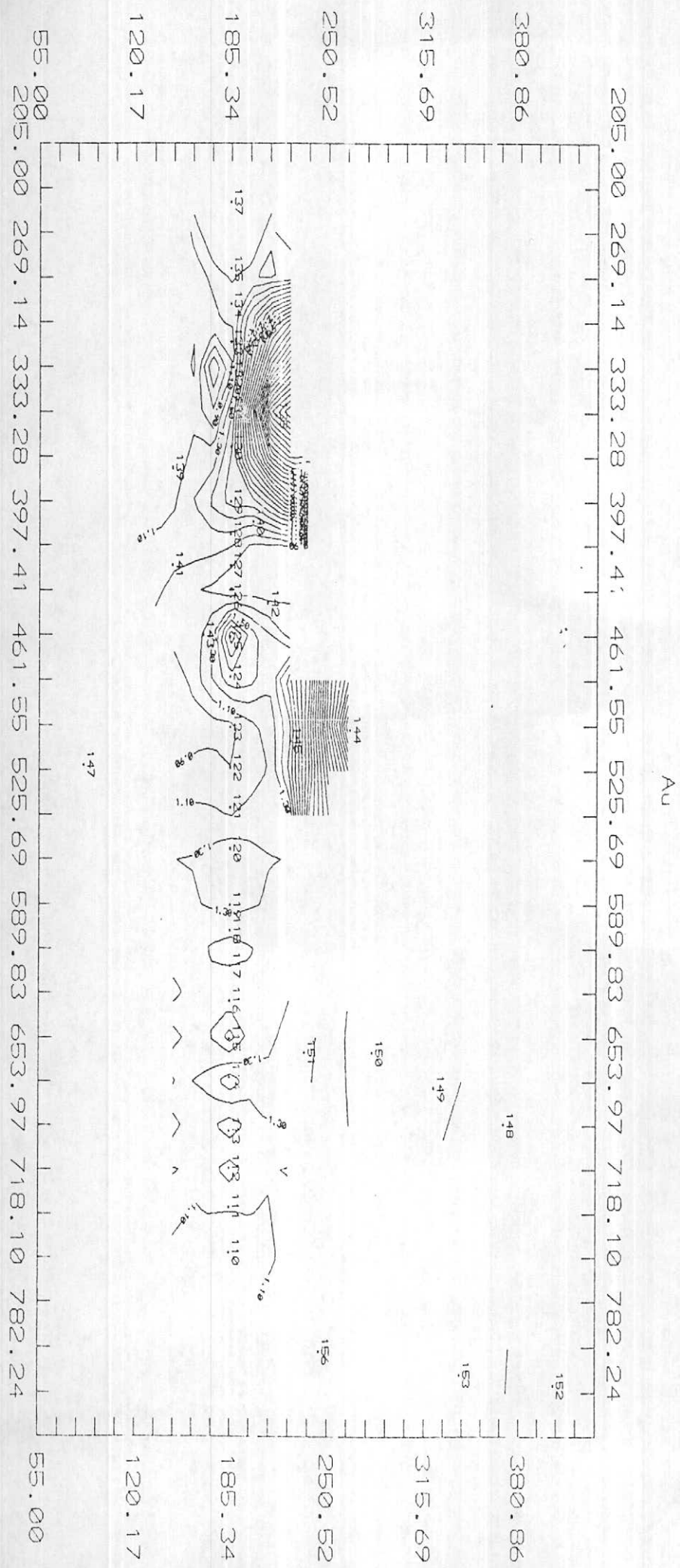
AS

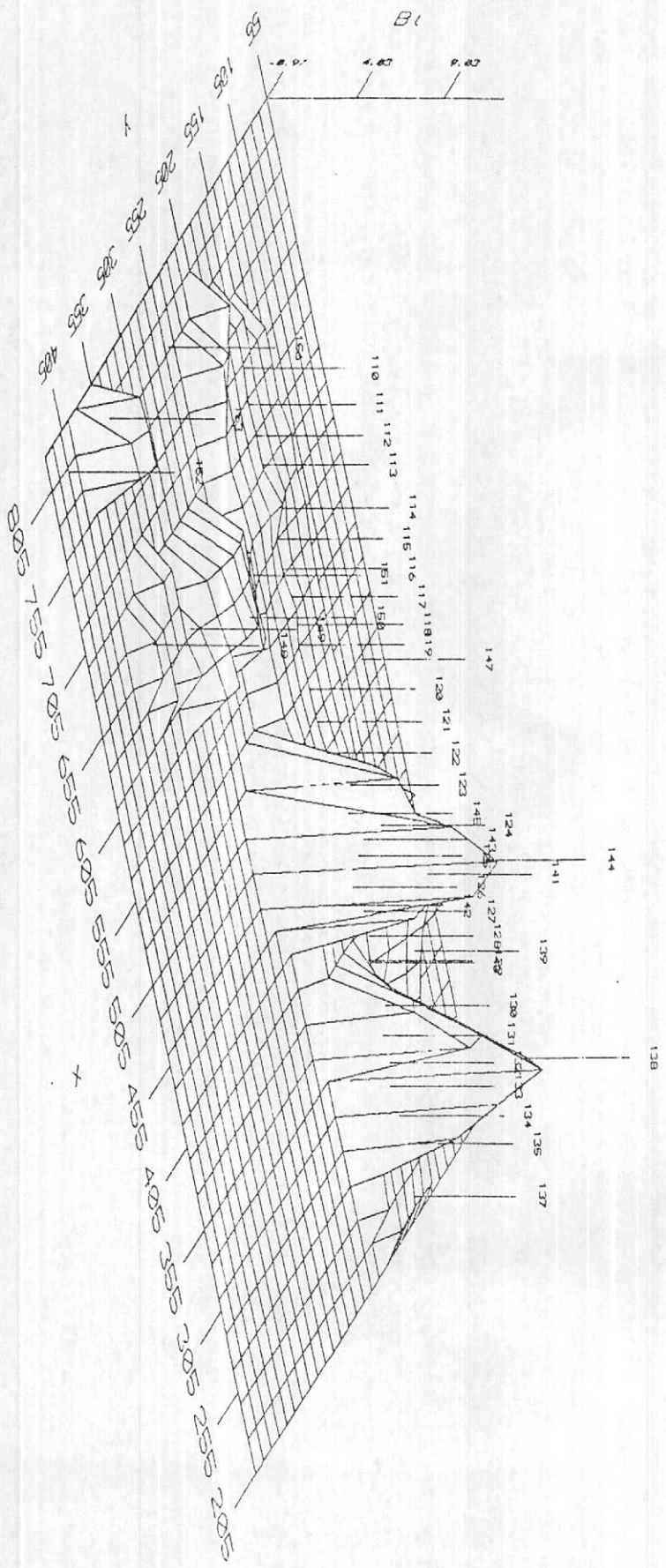


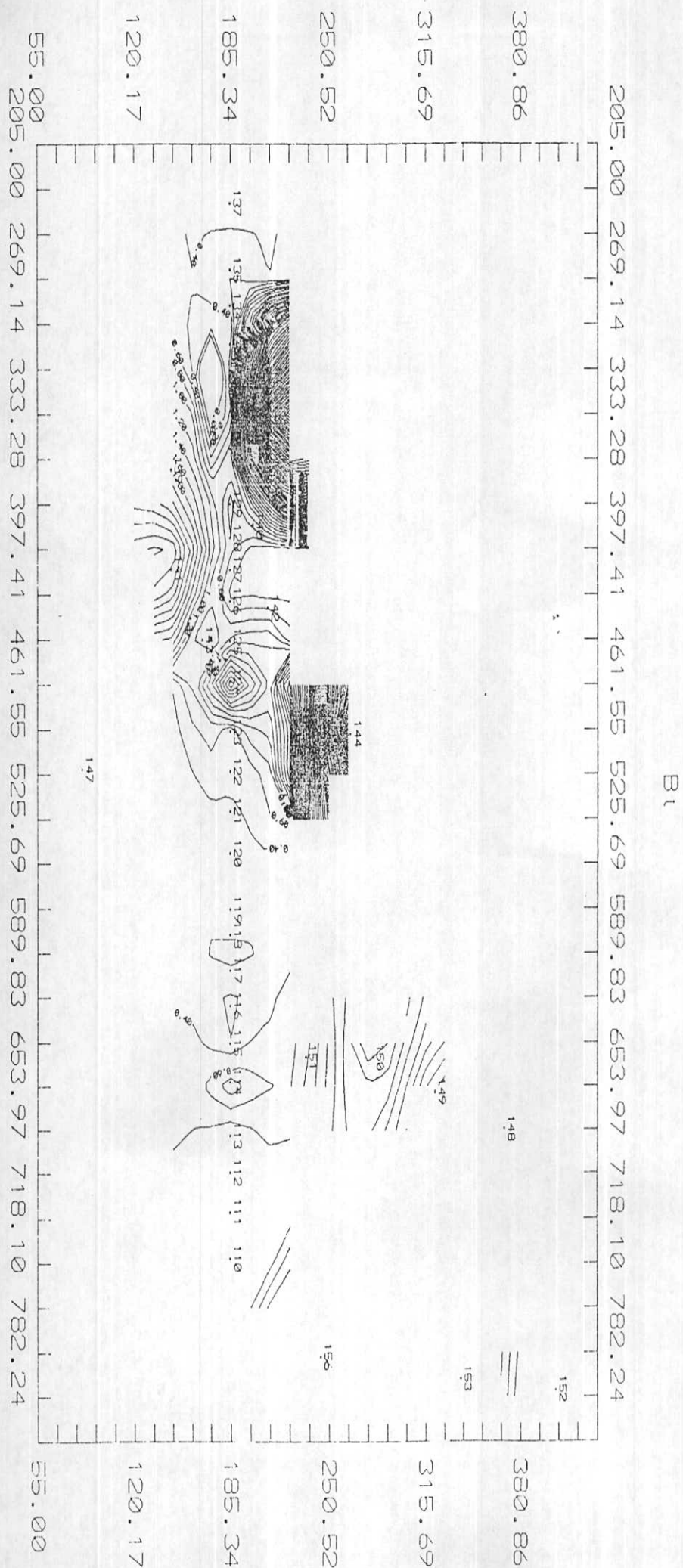
شیوه ای

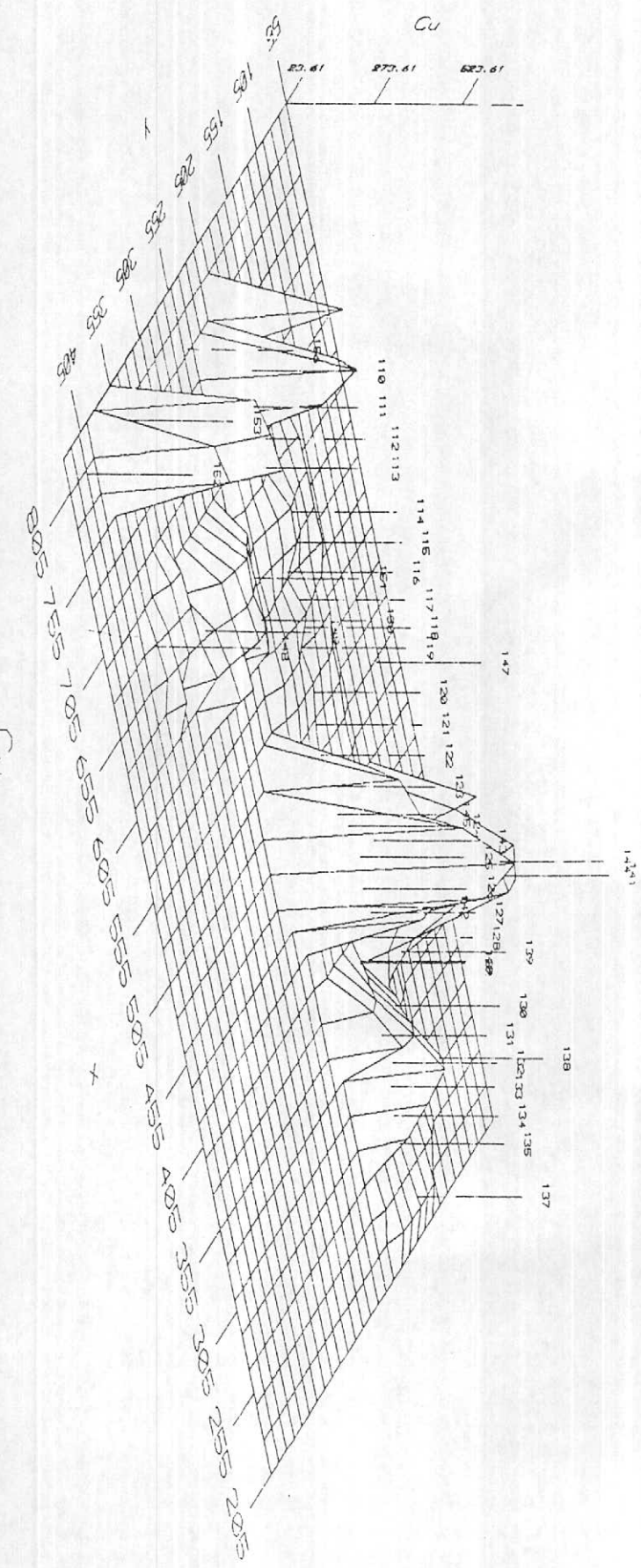
Au



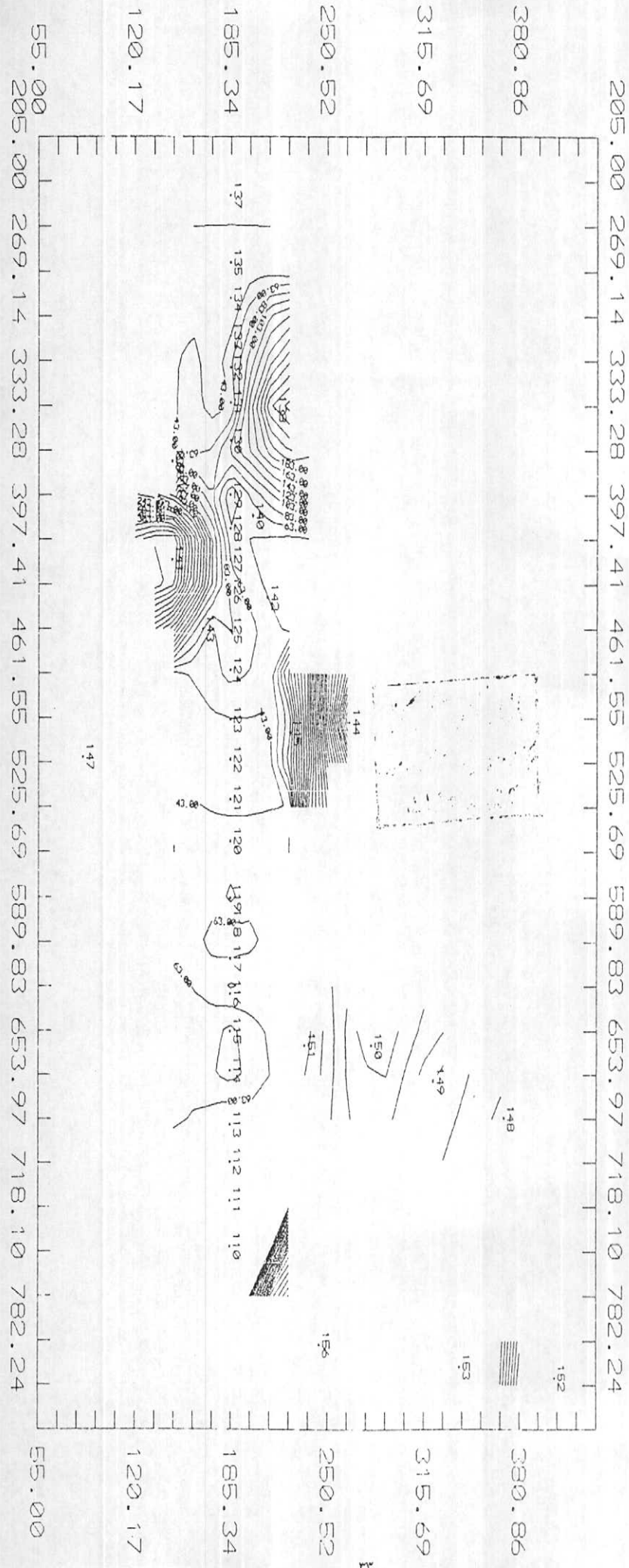


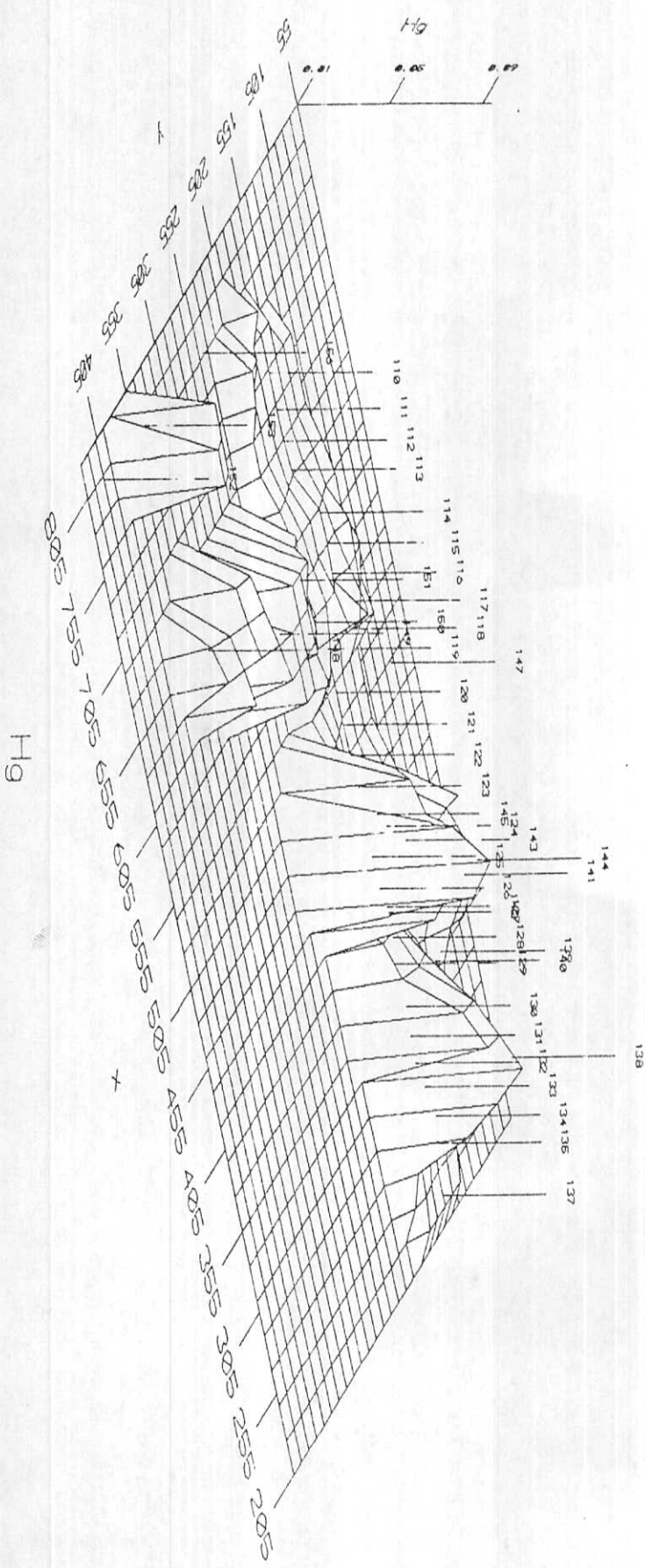






Cu

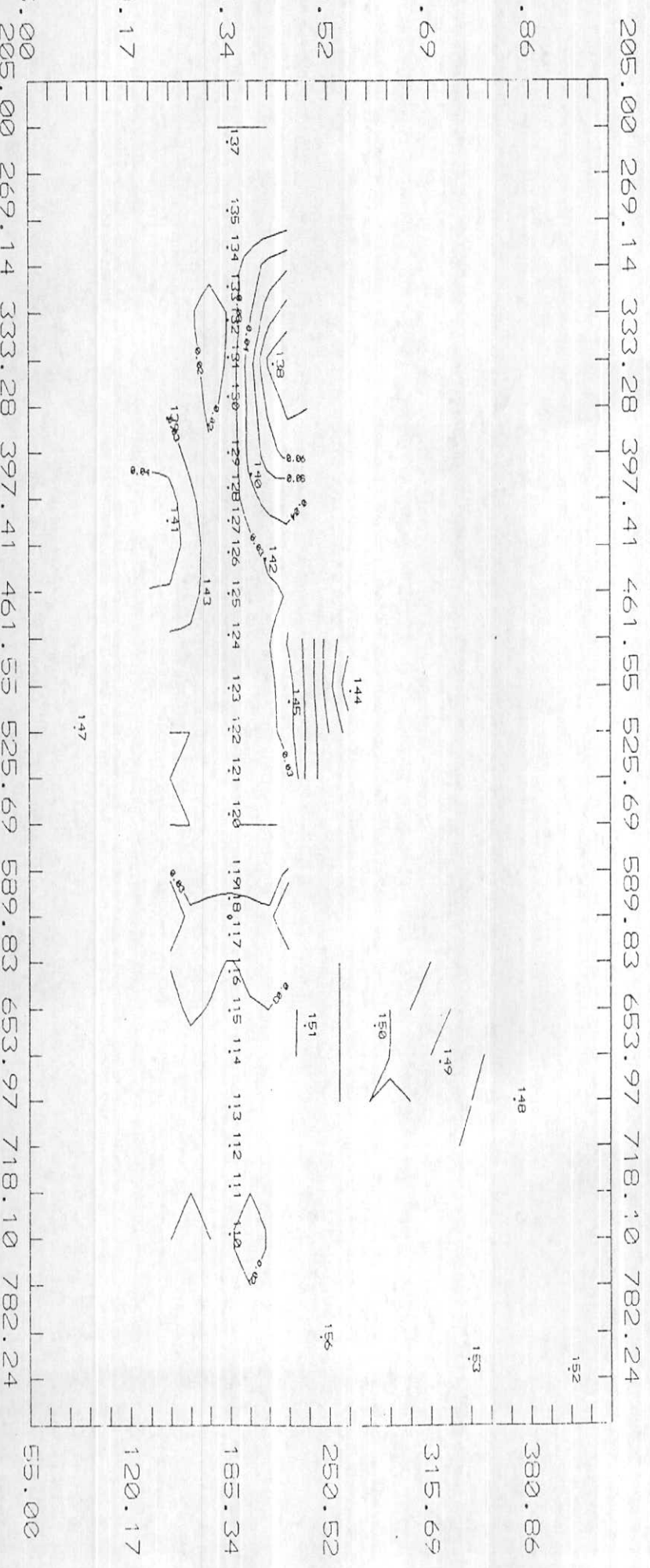


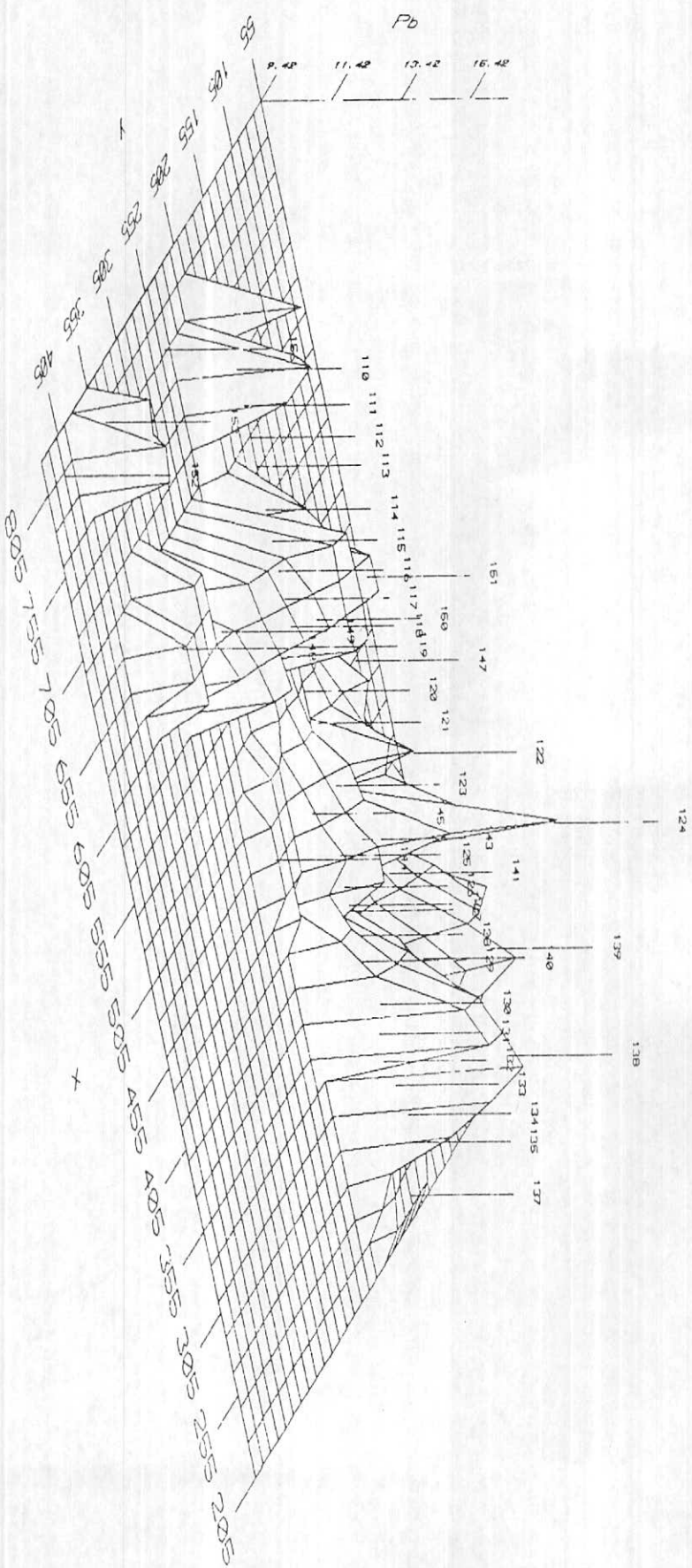


متن میانی

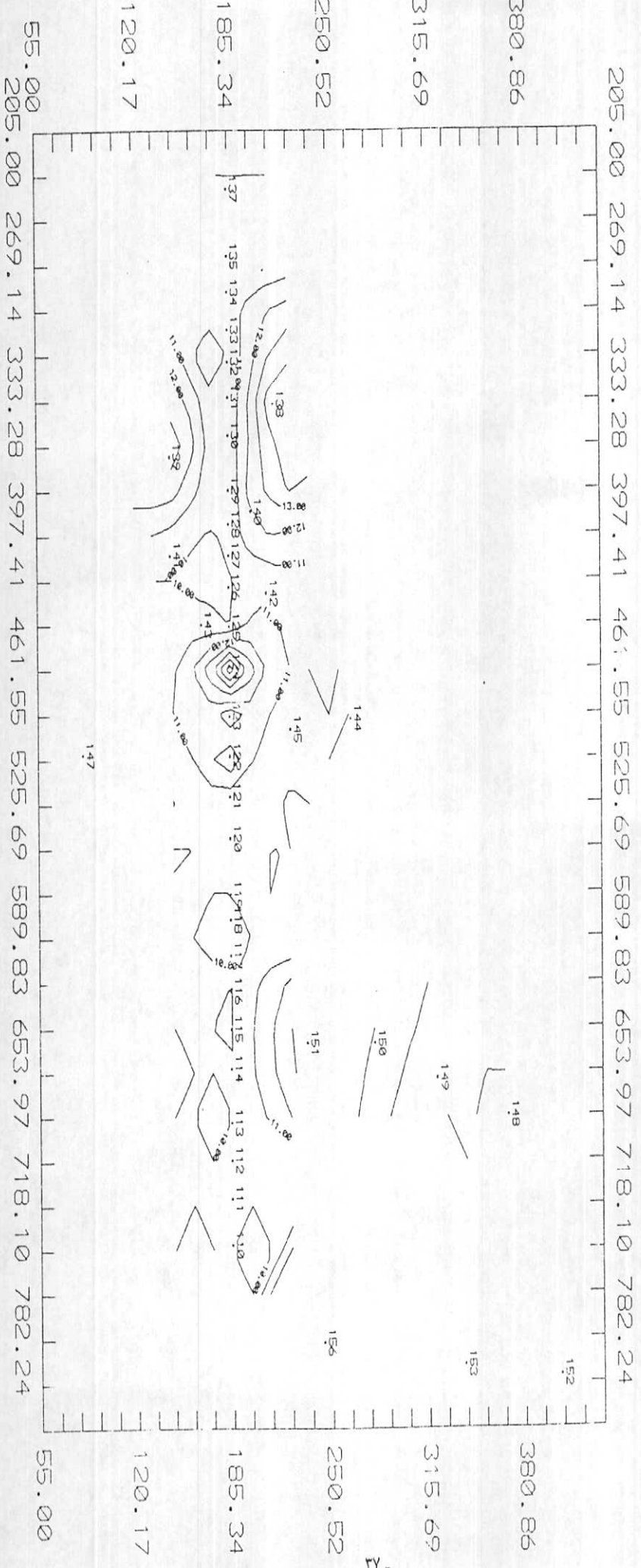
Hg

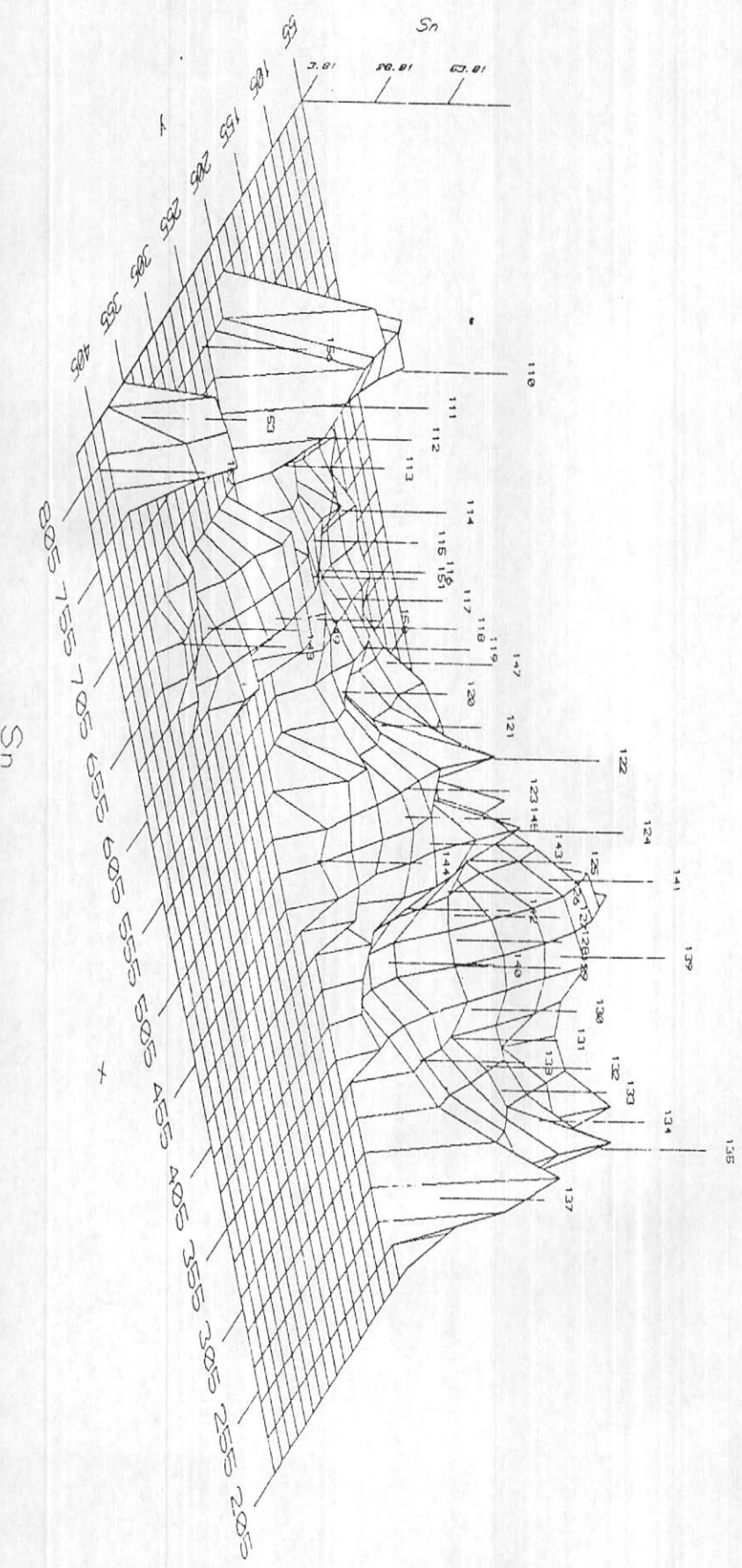
Hg



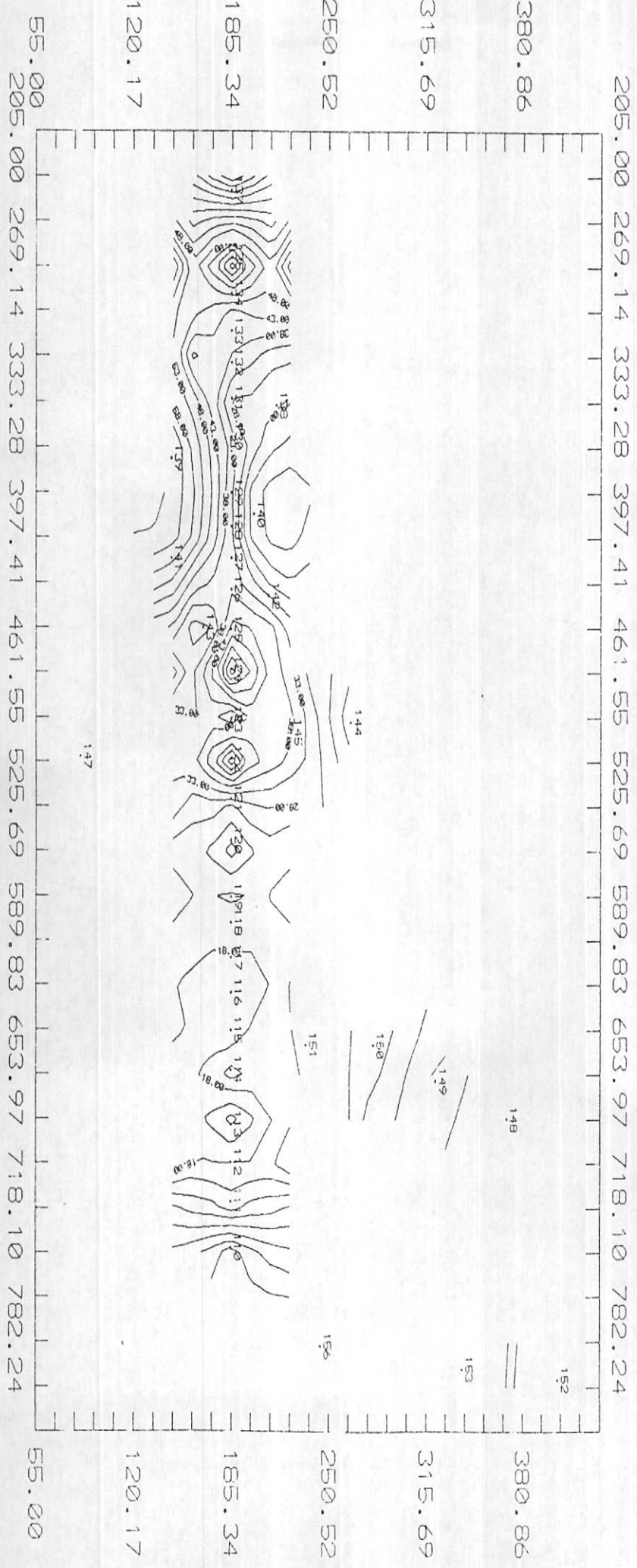


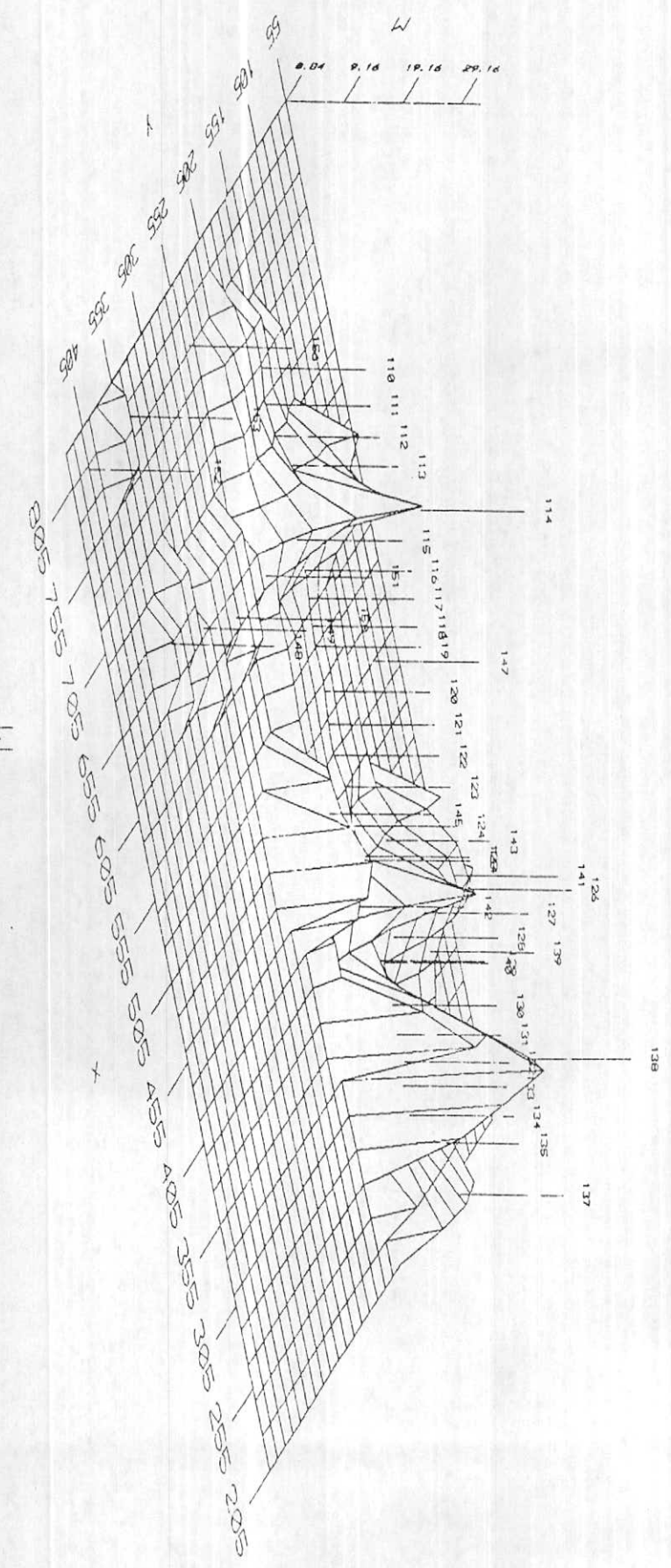
Pb



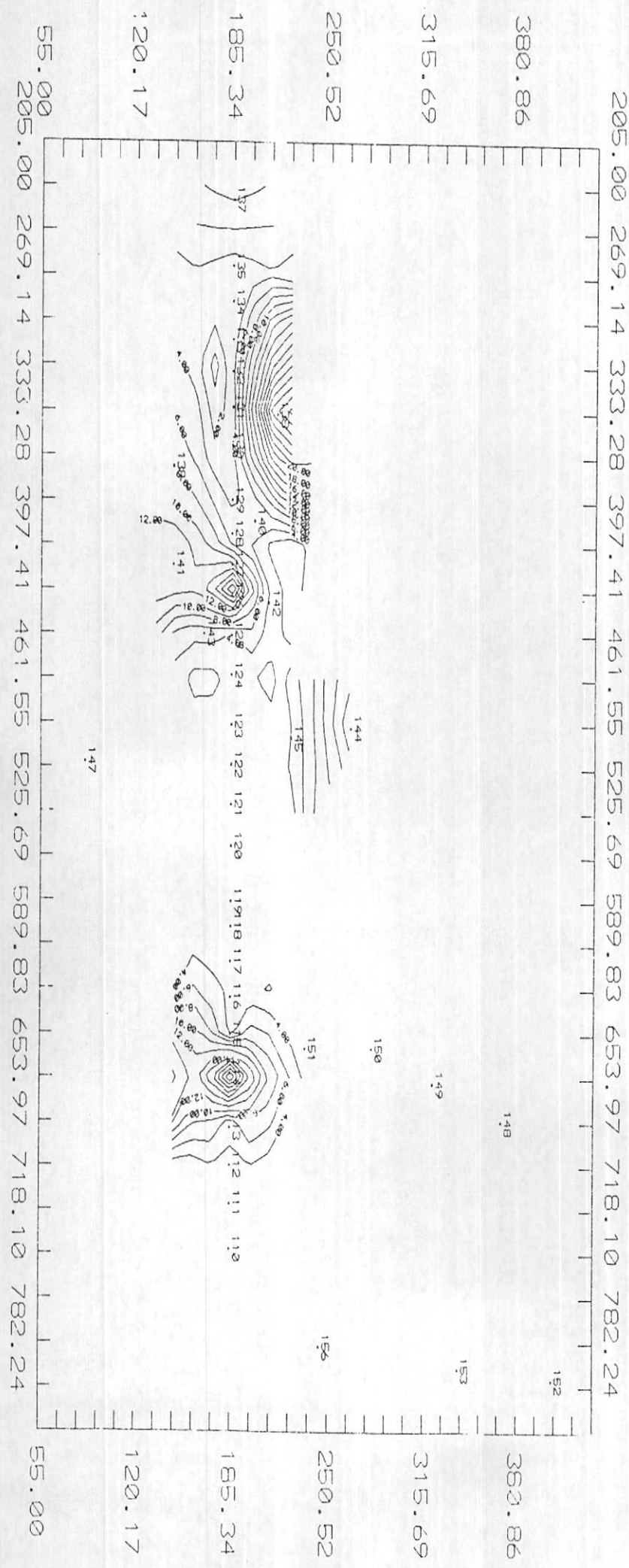


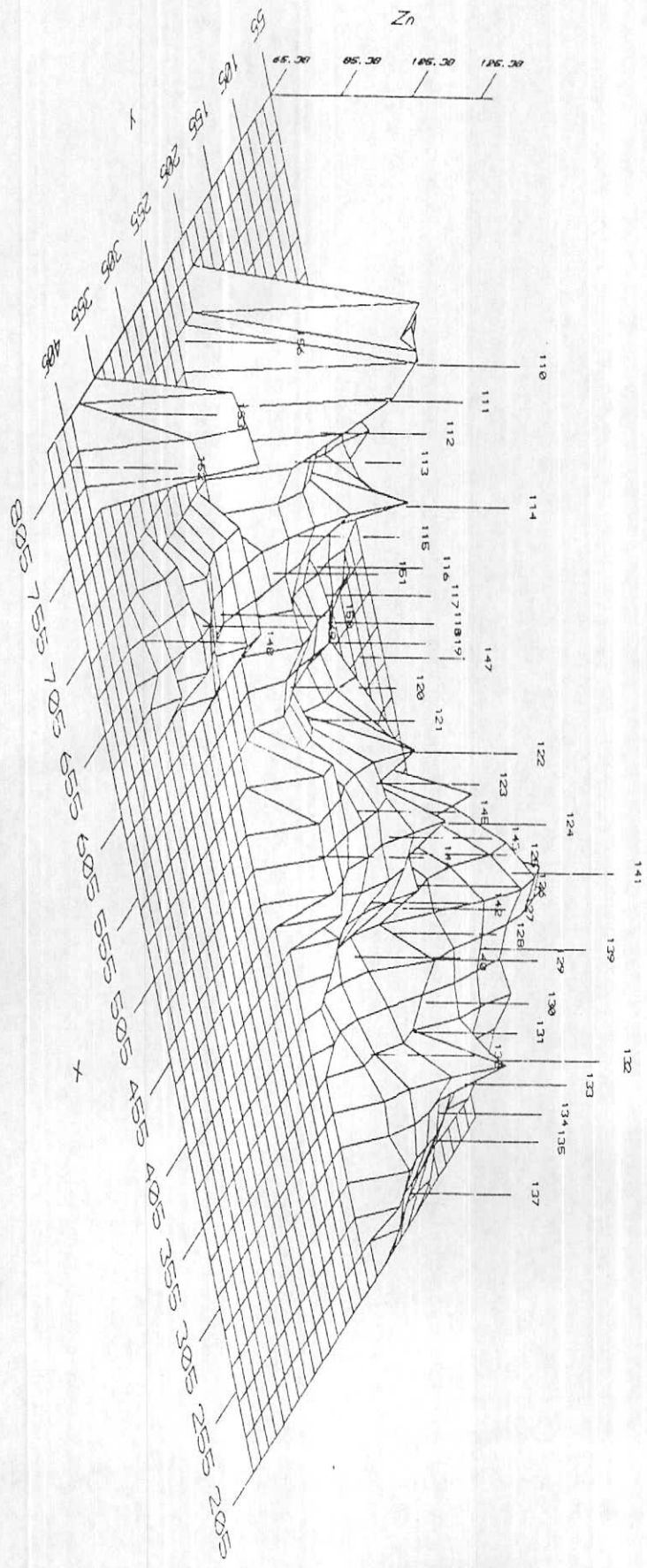
Sn





11





Z_a

205.00 269.14 333.28 397.41 461.55 525.69 589.83 653.97 718.10 782.24

380.86

315.69

380.86

315.69

380.86

152

153

148

149

150

144

145

146

147

148

149

150

151

152

153

154

155

156

157

158

159

160

161

162

163

250.52

250.52

185.34

185.34

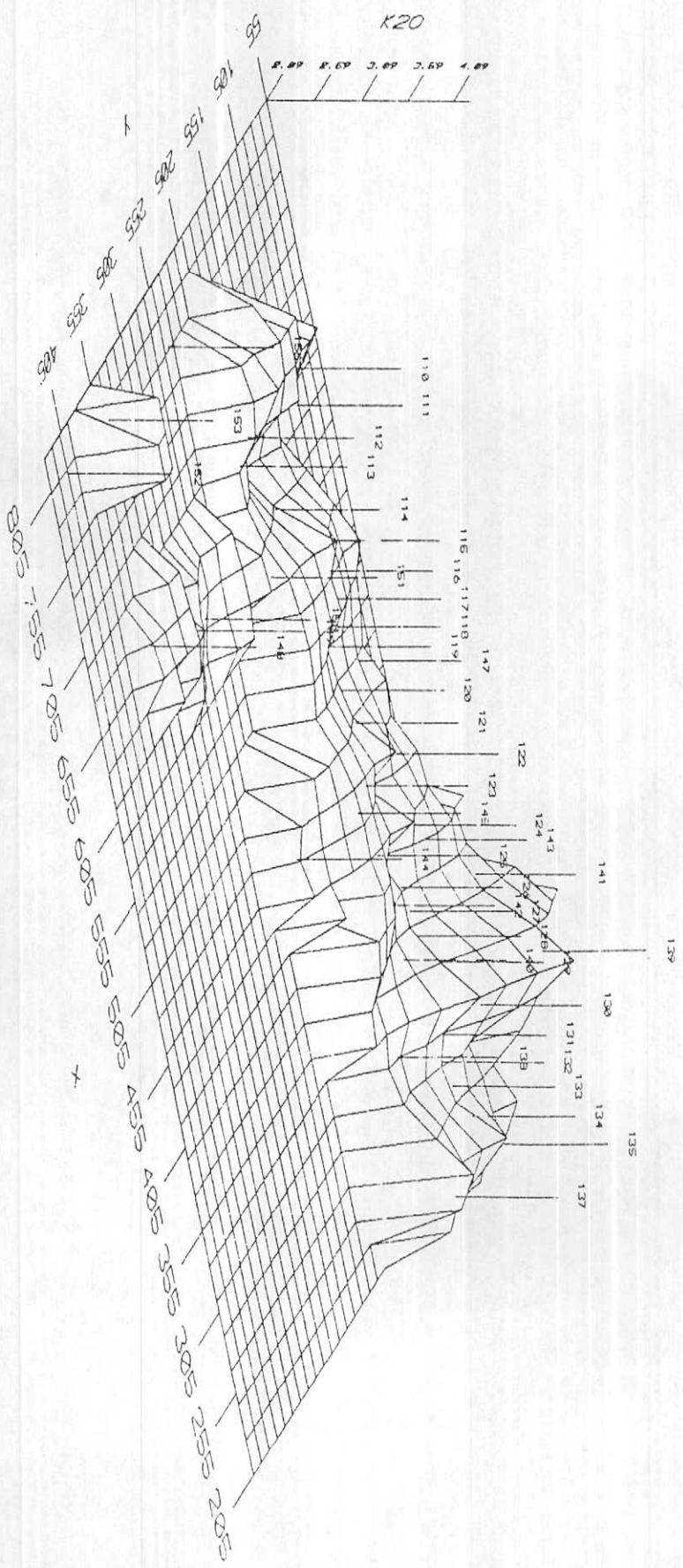
120.17

120.17

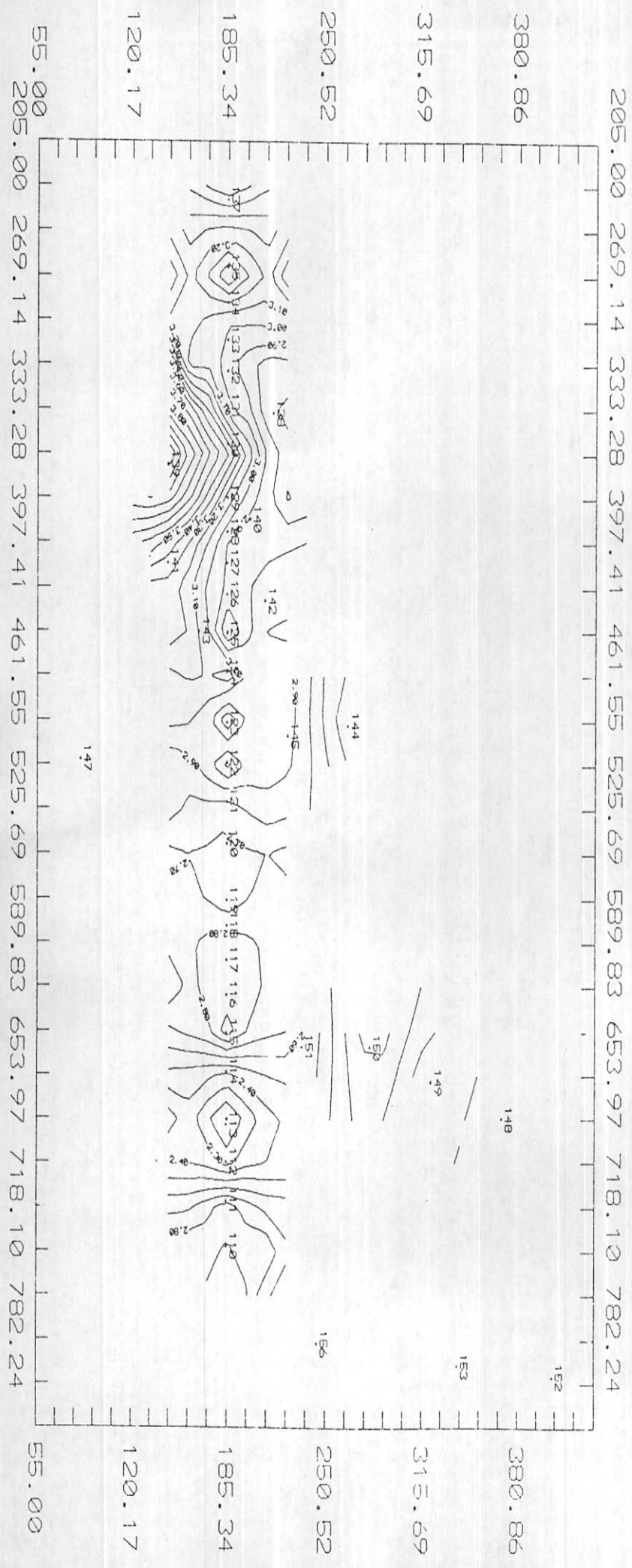
147

55.00
205.00 269.14 333.28 397.41 461.55 525.69 589.83 653.97 718.10 782.24

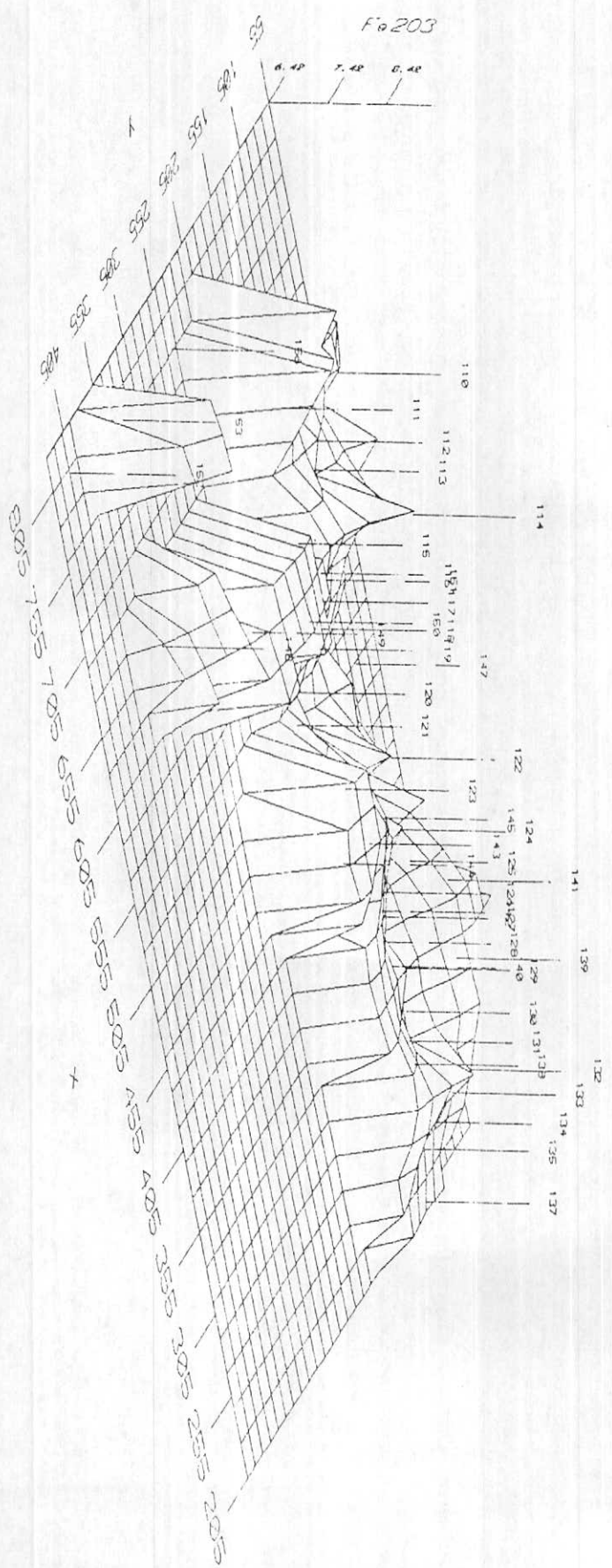
55.00



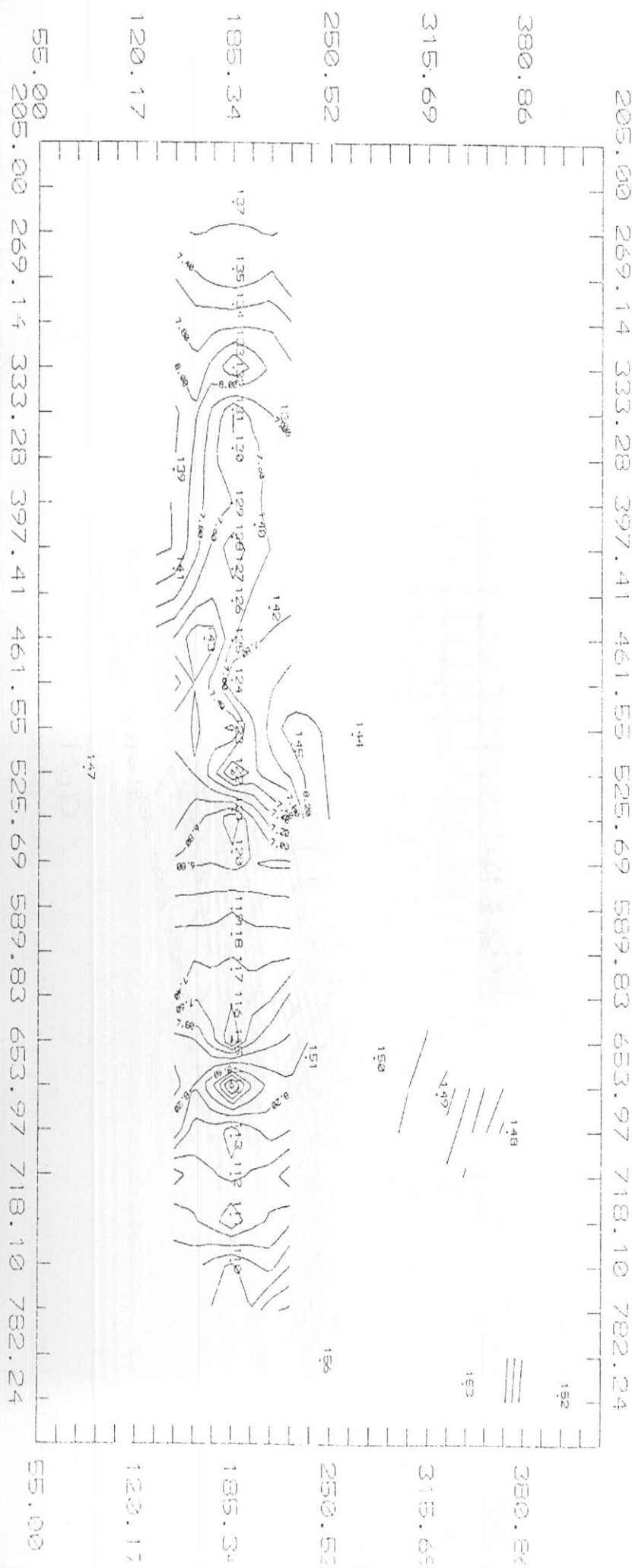
六〇

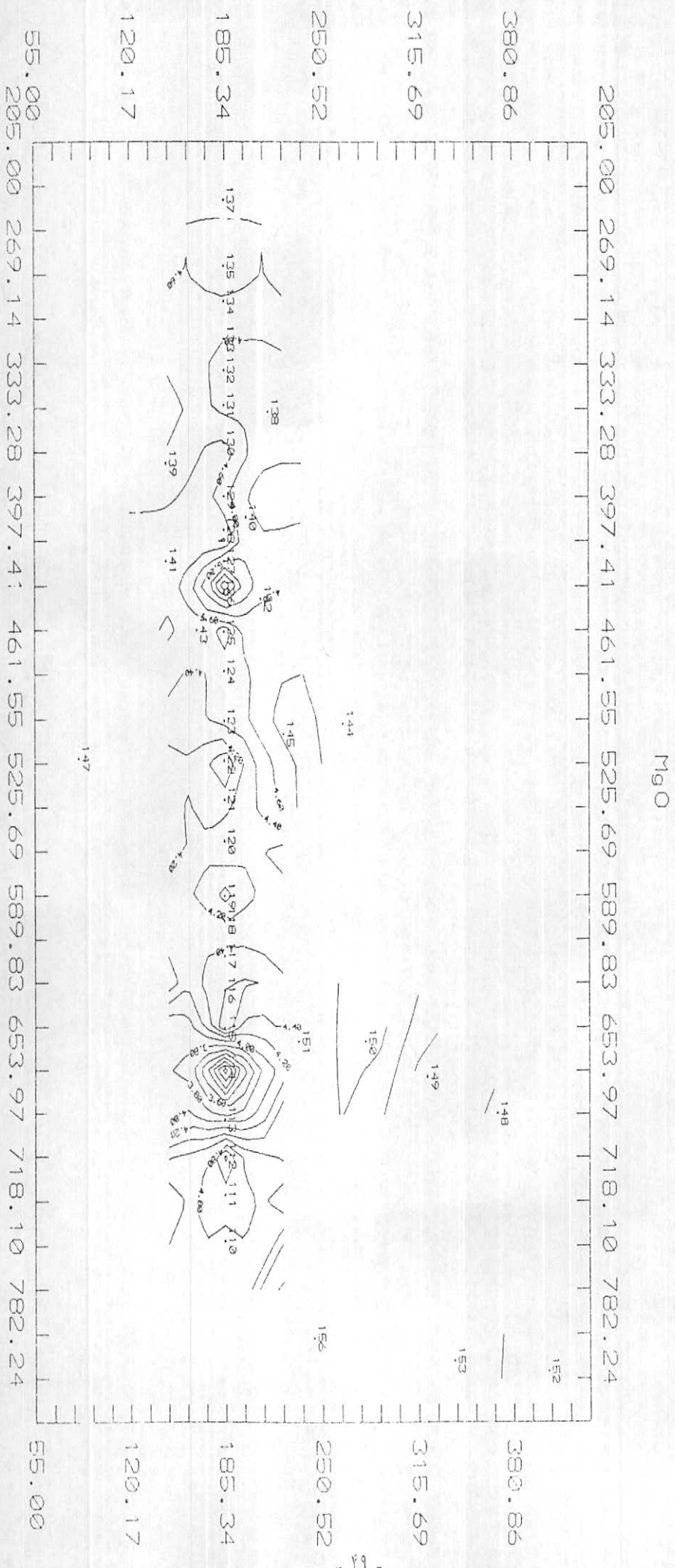


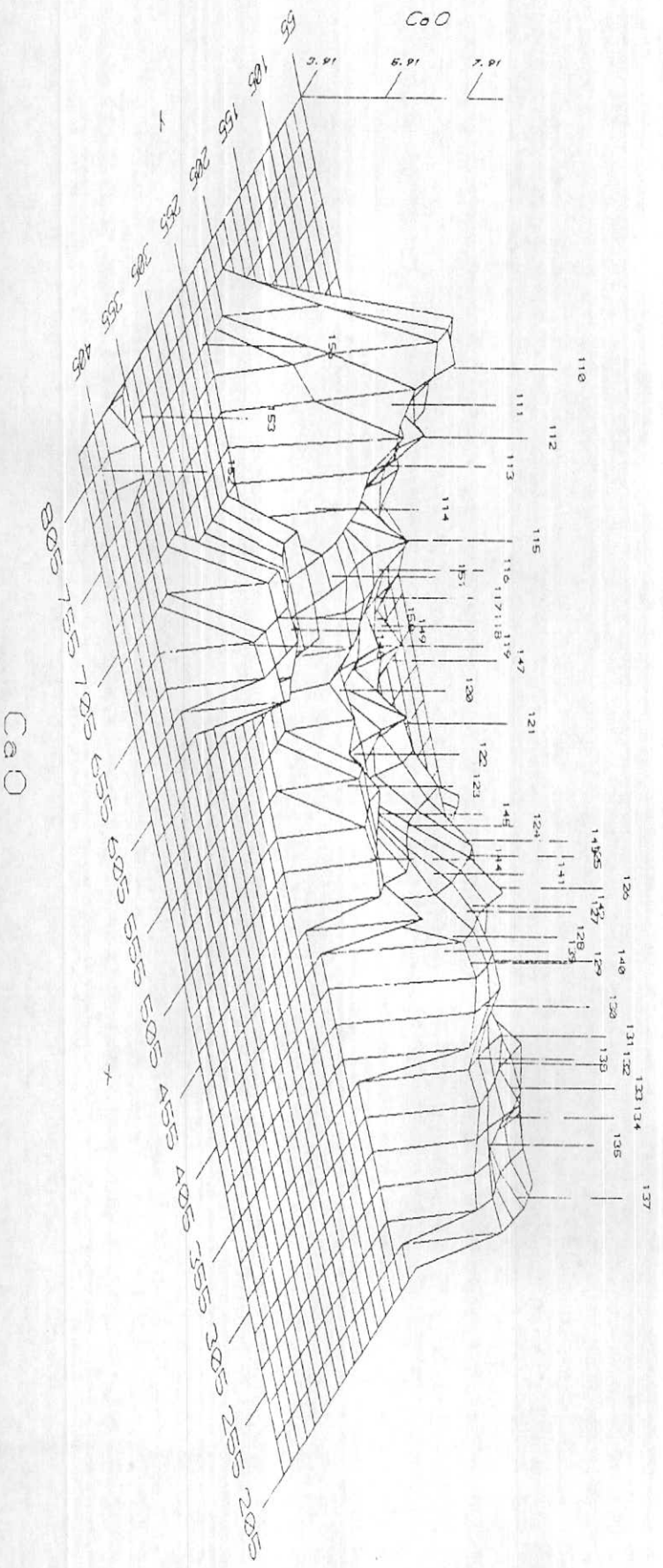
Fe₂O₃



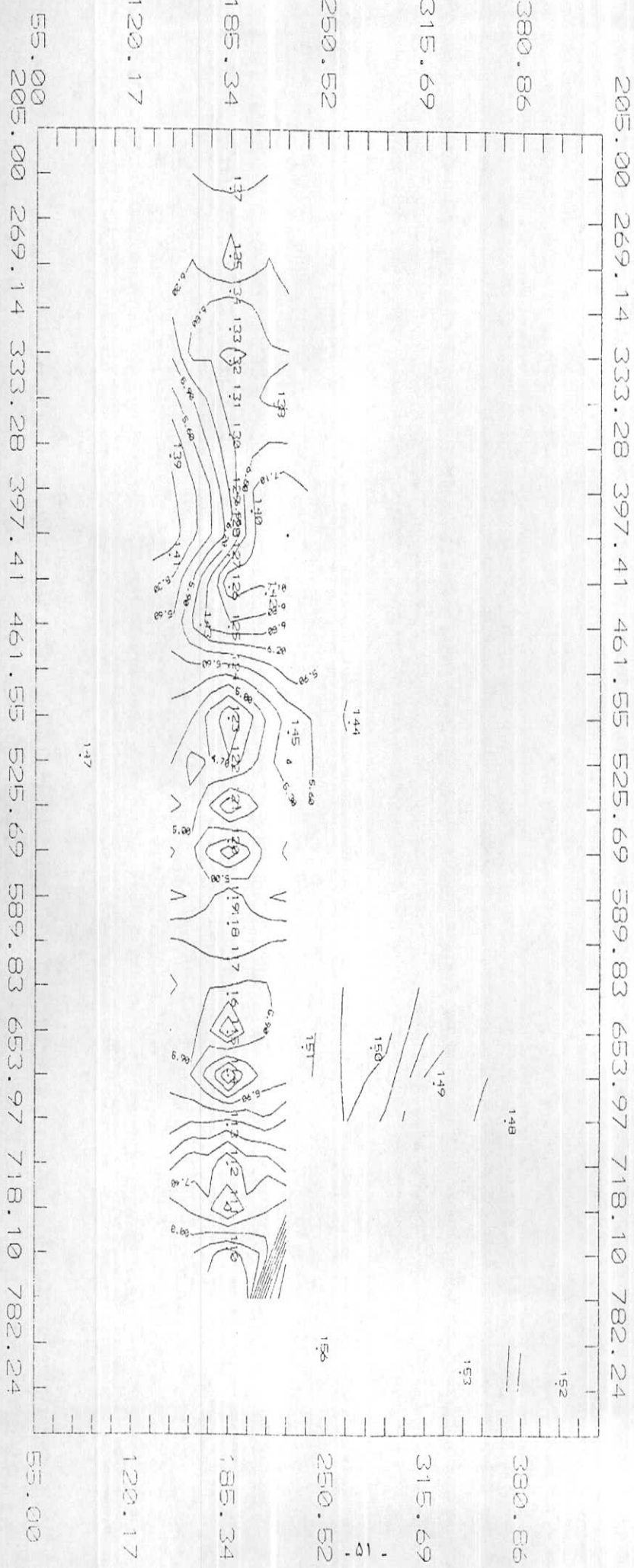
四〇三



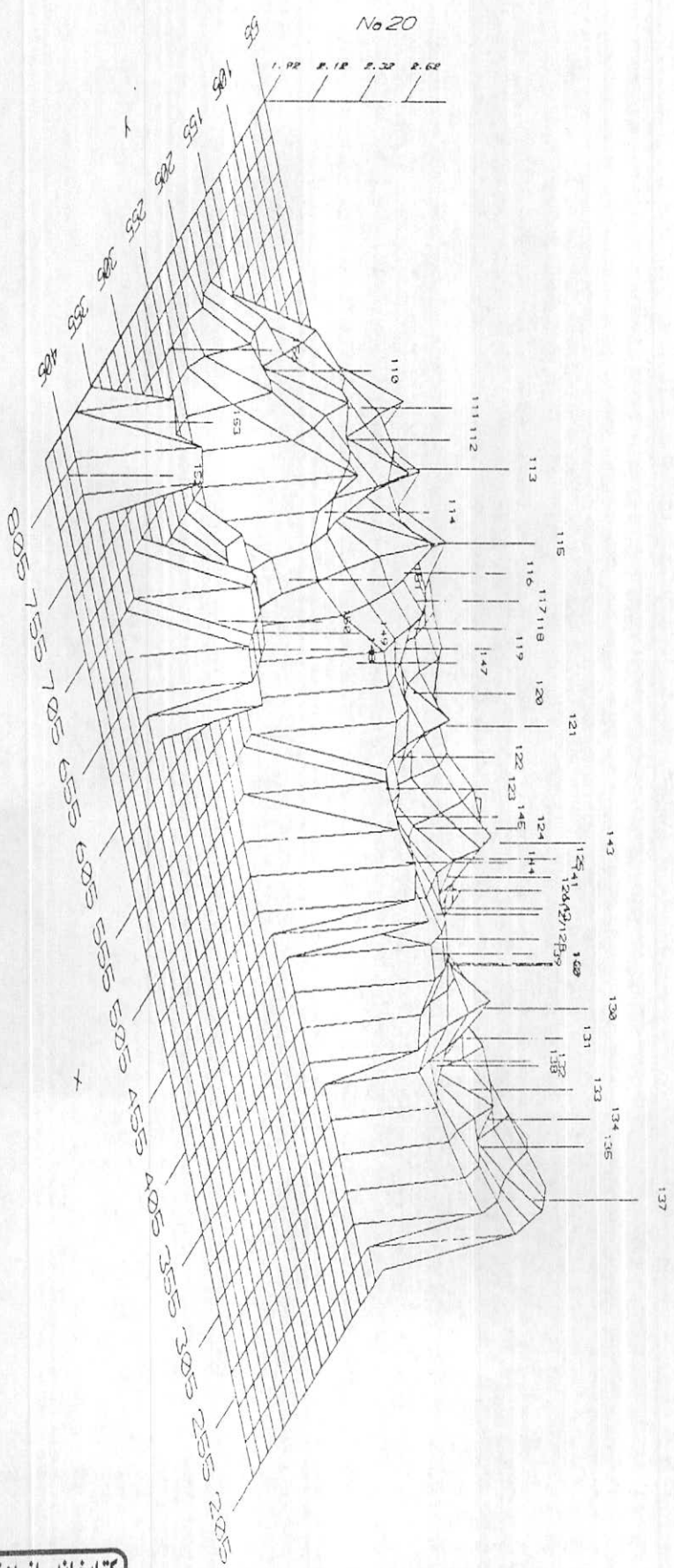




CoO



نیں ایسا



کتابخانه سازمان زمین‌شناسی
اکتشافات معدنی کشور

No 20

205.00 269.14 333.28 397.41 461.55 525.69 589.83 653.97 718.10 782.24

380.86
—
152

380.86
—
153

315.69
—
149

315.69
—
148

250.52
—
147

250.52
—
146

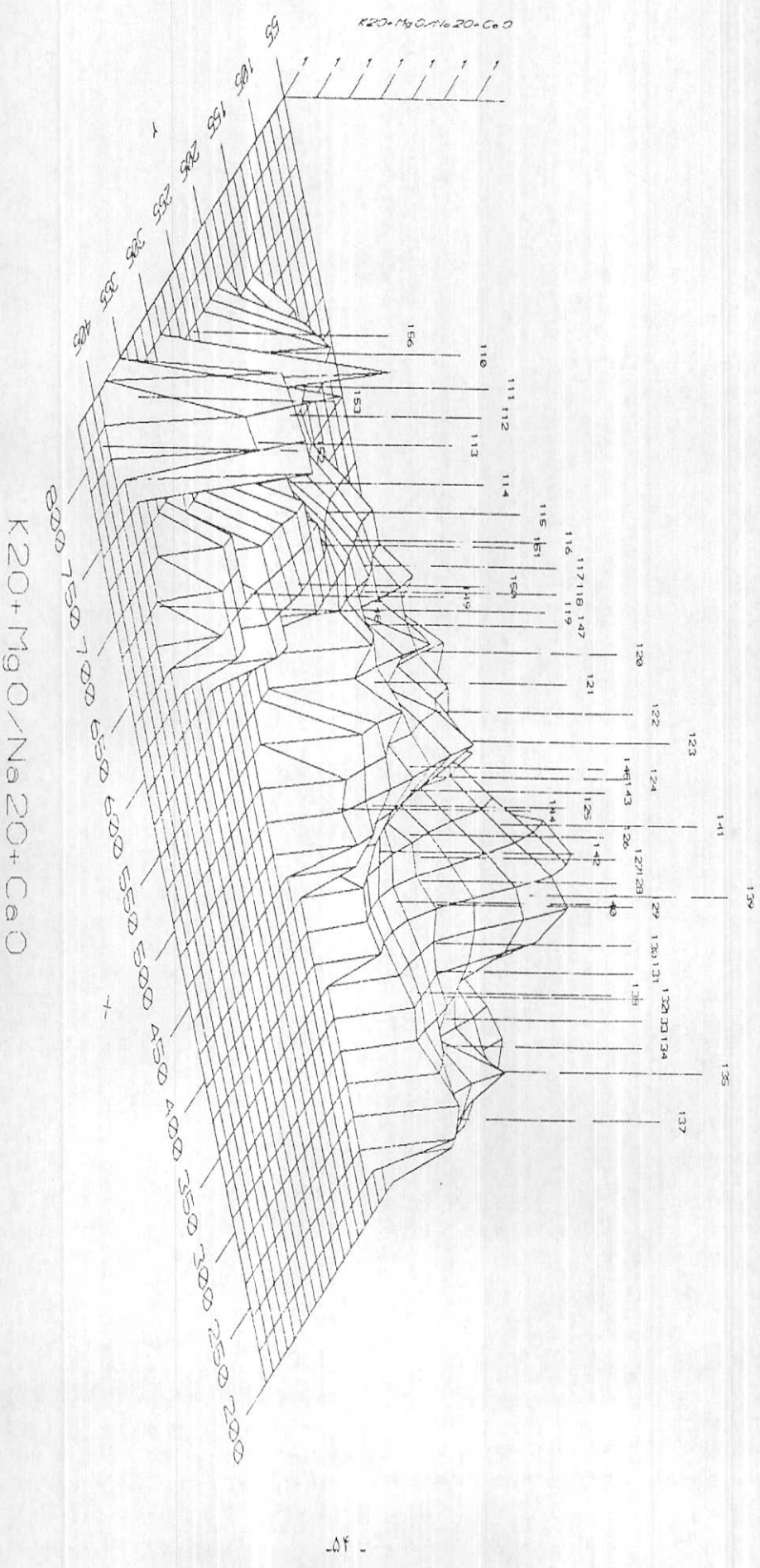
185.34
—
145

185.34
—
144

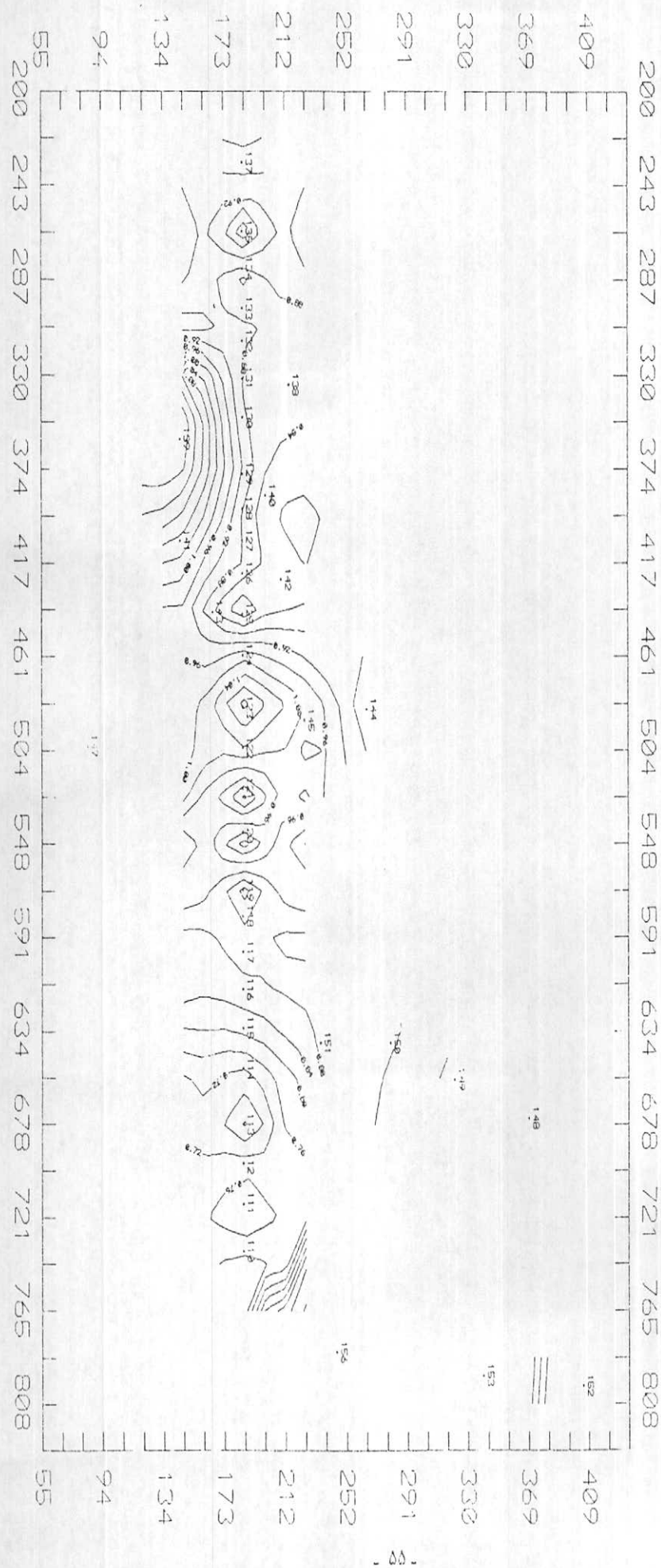
120.17
—
143

120.17
—
142

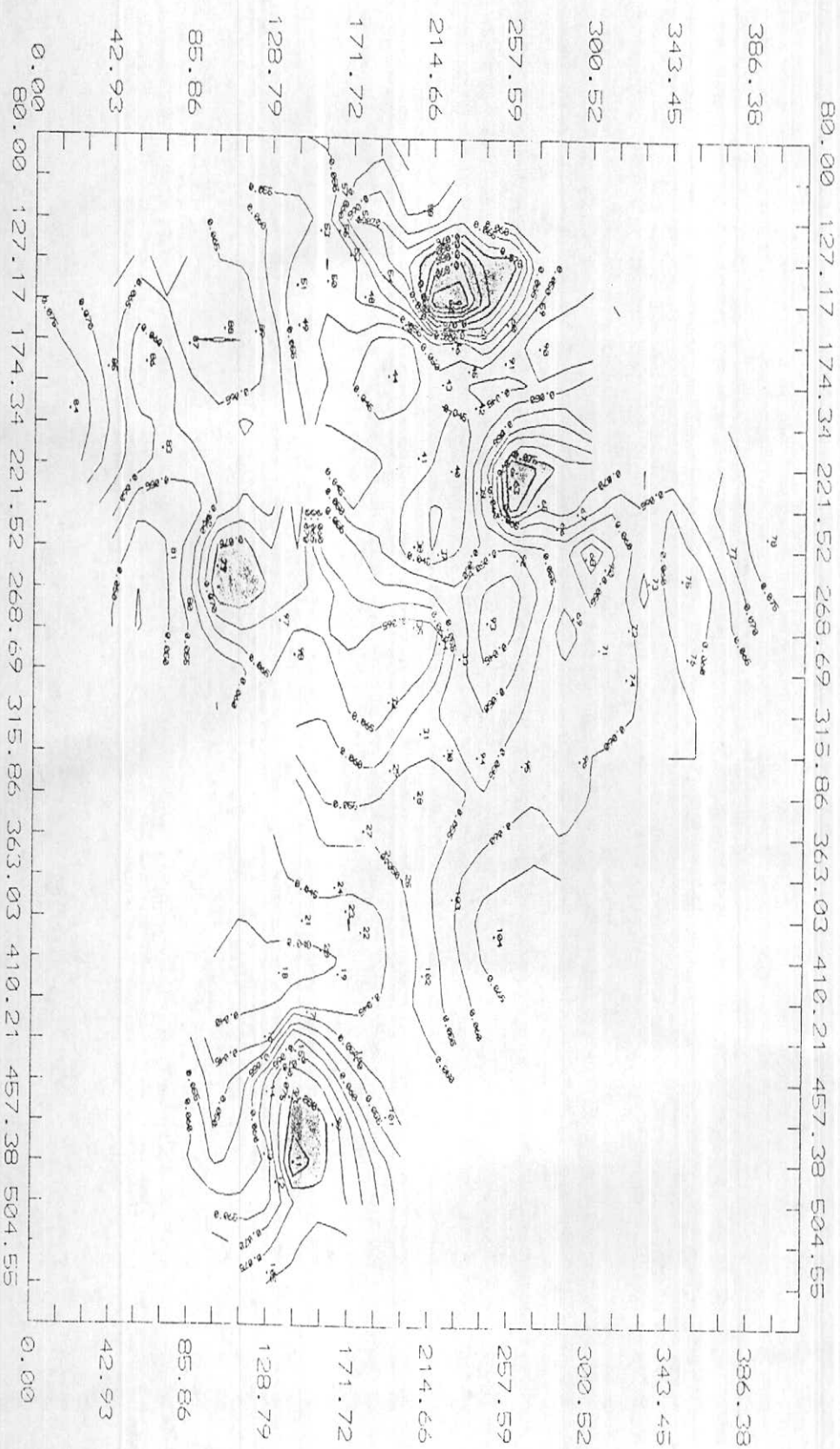
55.00 205.00 269.14 333.28 397.41 461.55 525.69 589.83 653.97 718.10 782.24
—
55.00



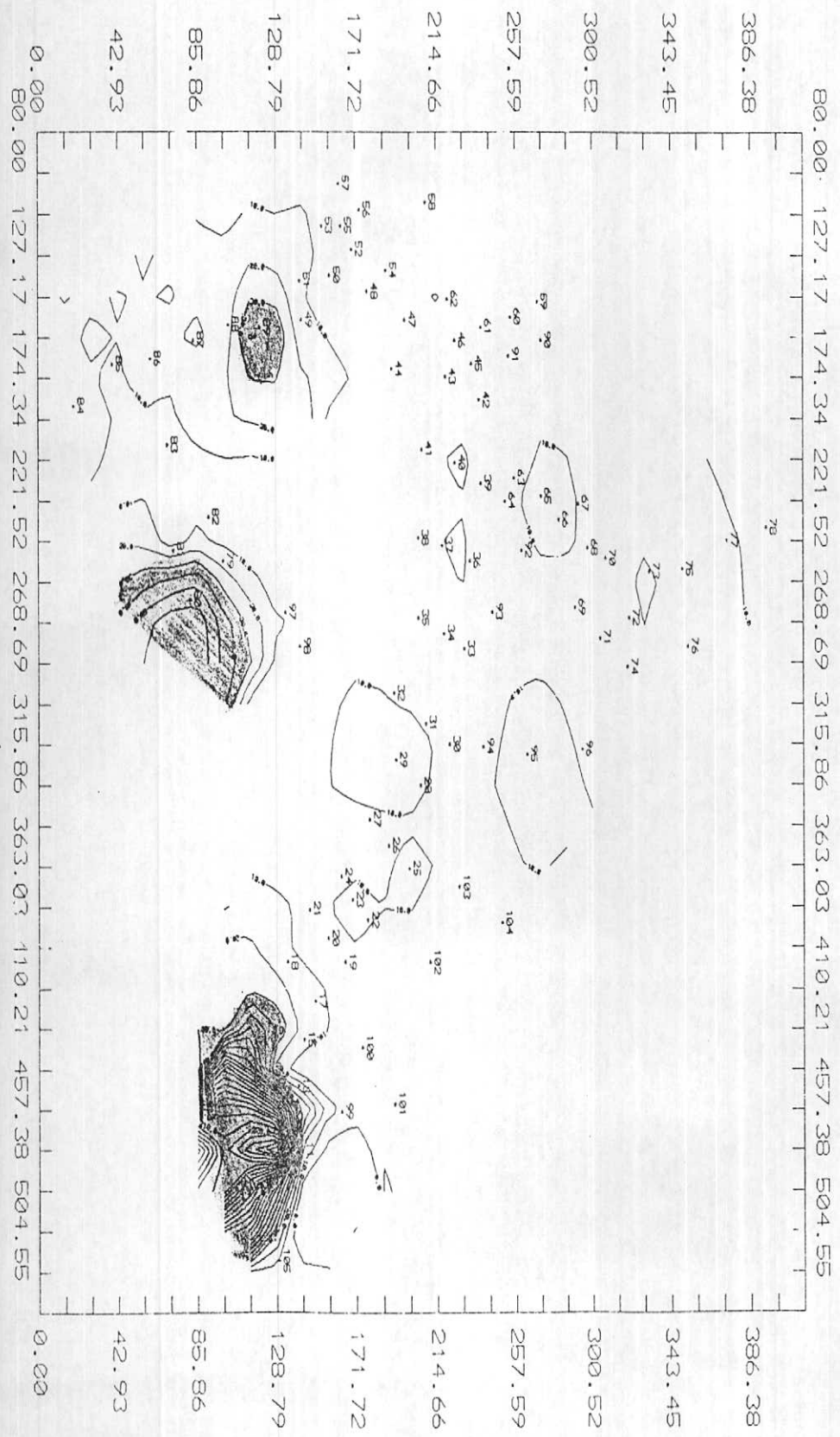
$K_{2O} + MgO / Na_{2O} + CaO$



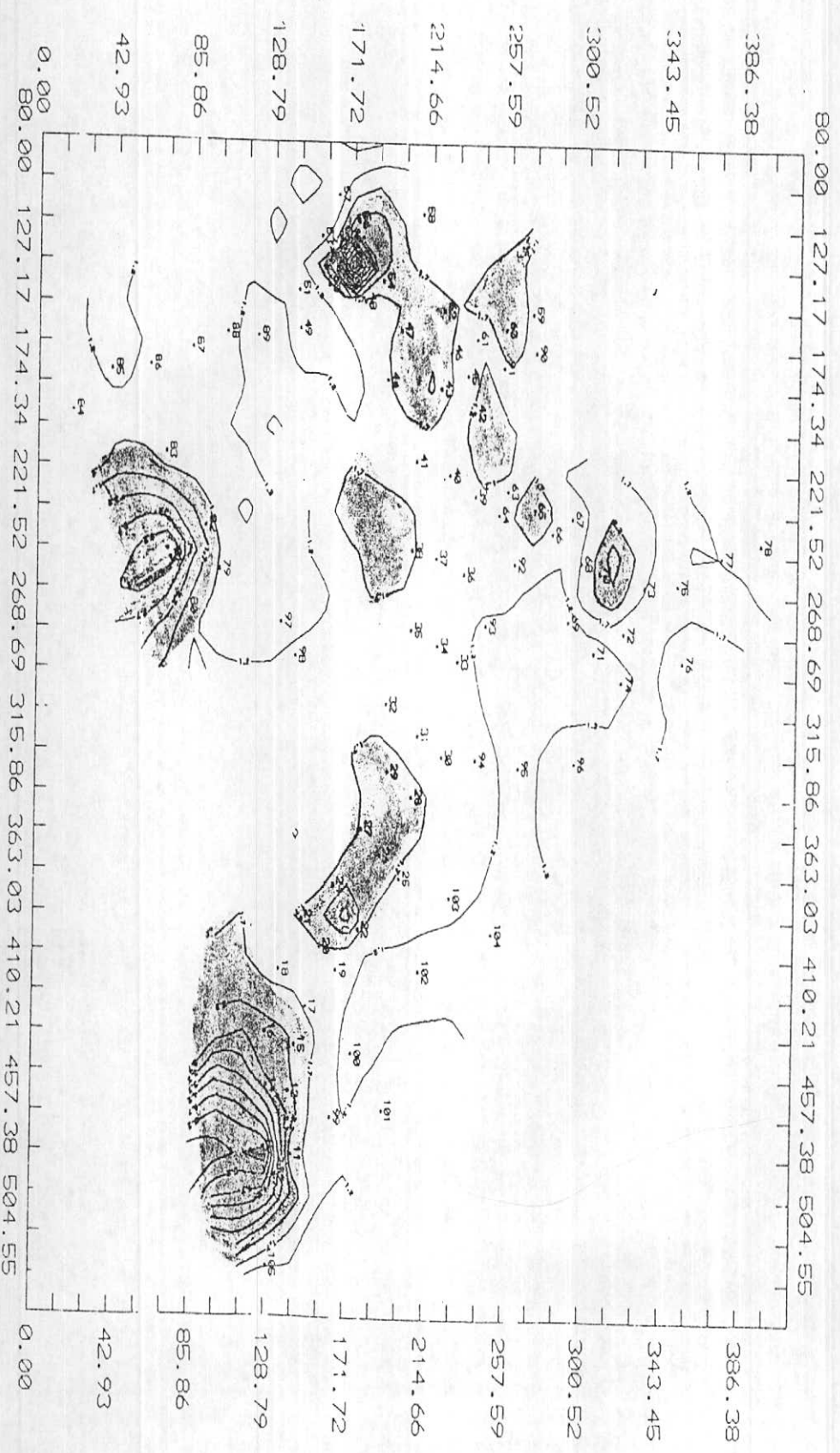
A9



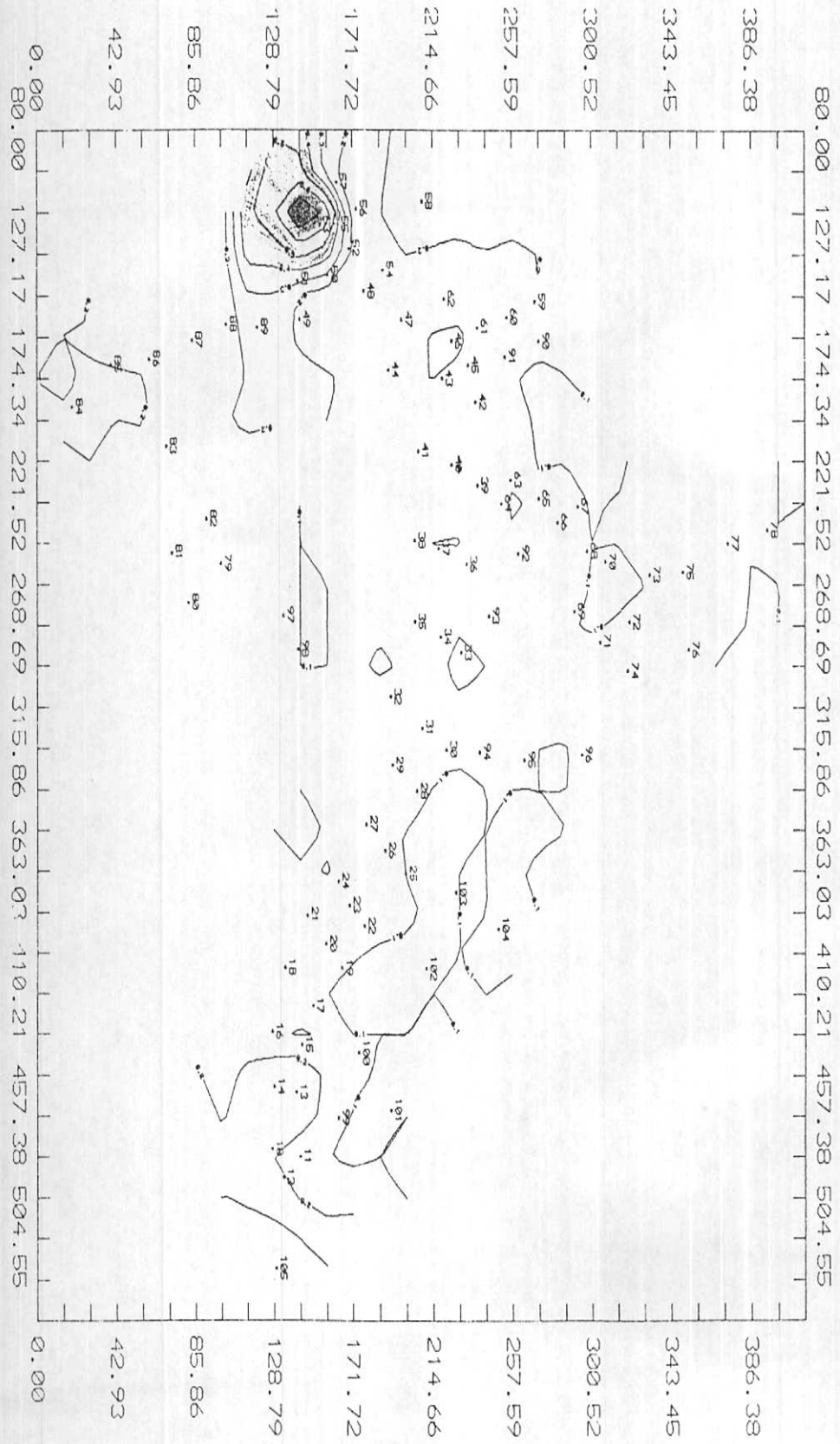
As



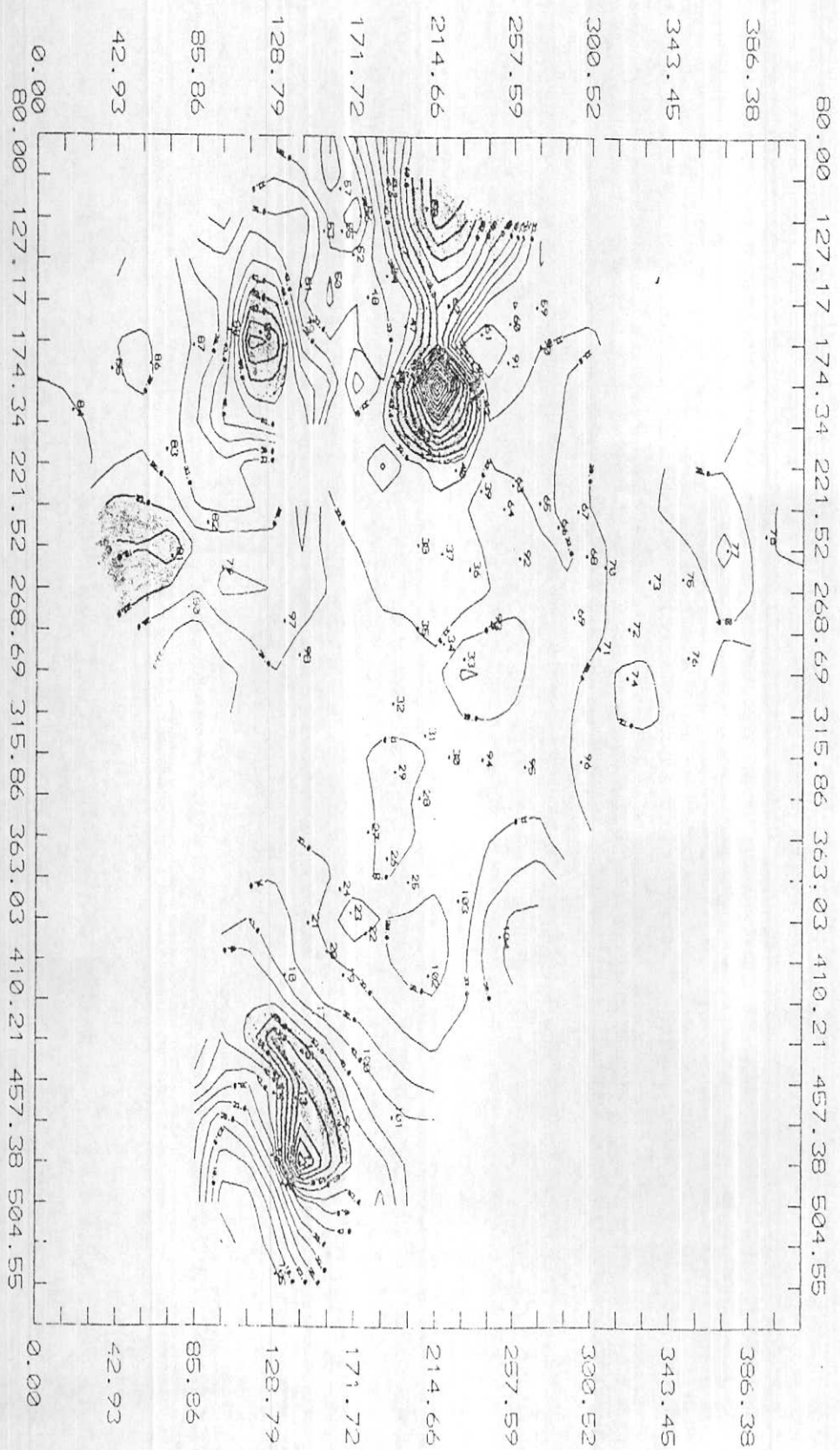
A.J



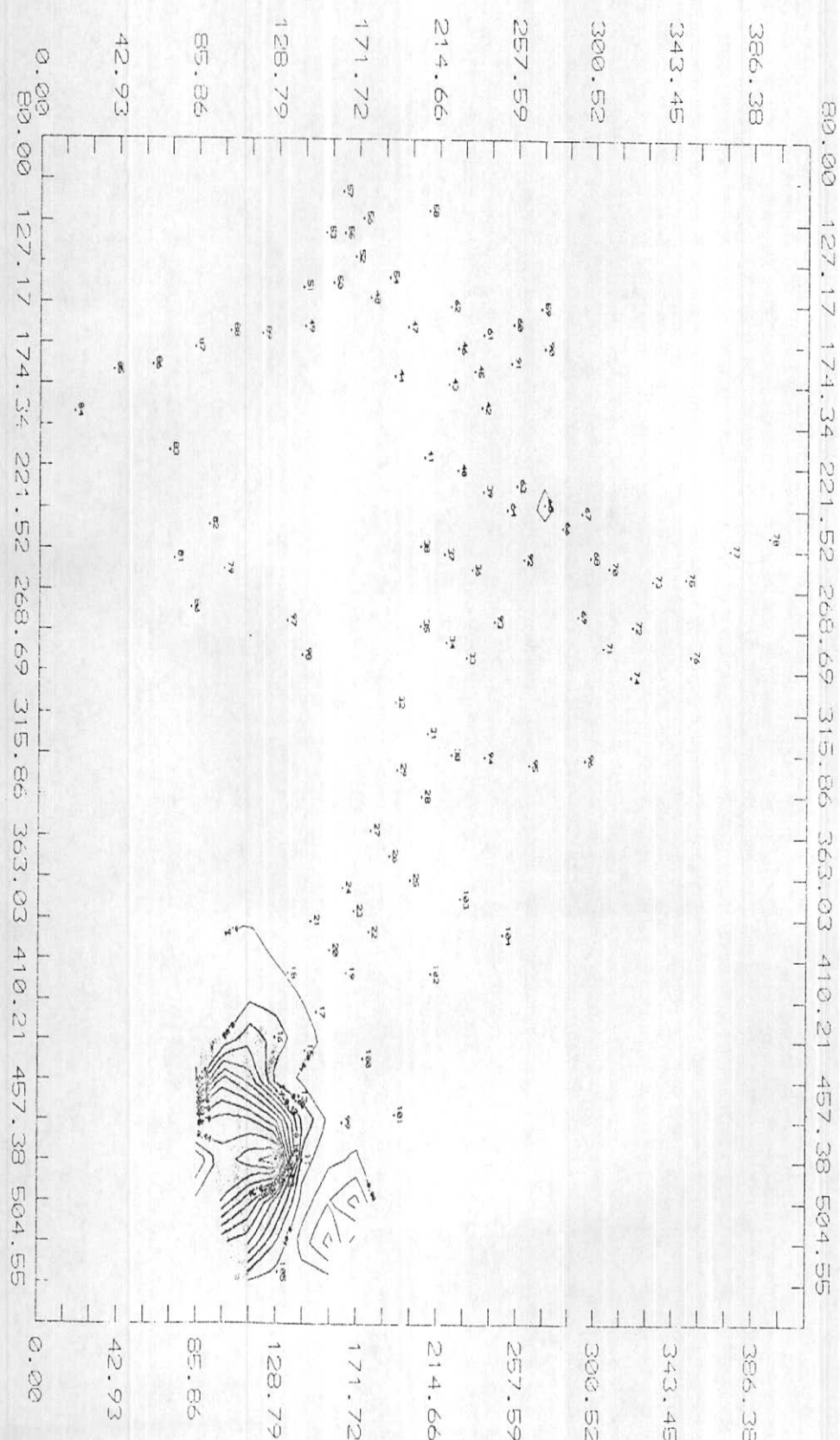
B1



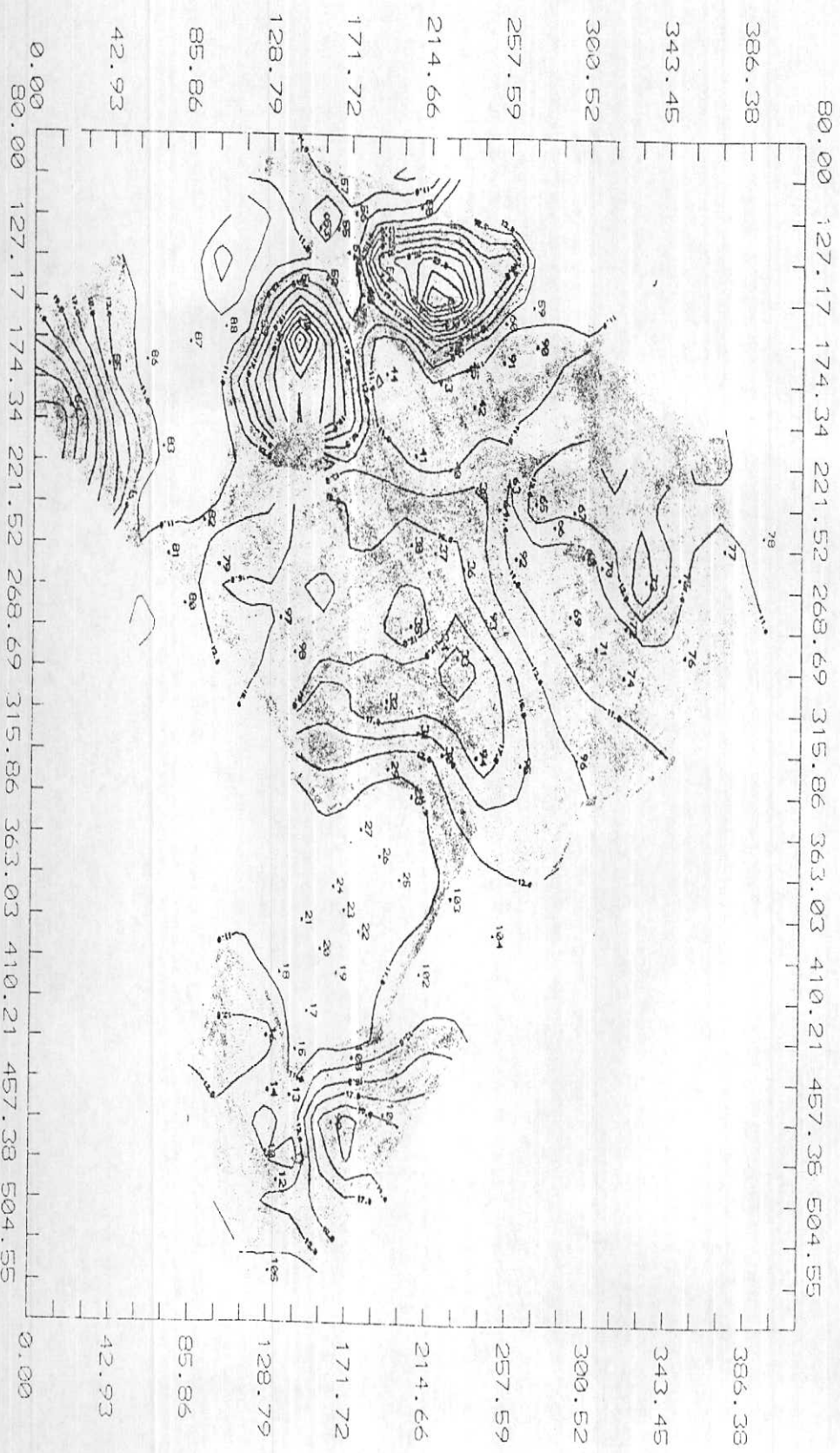
Cu



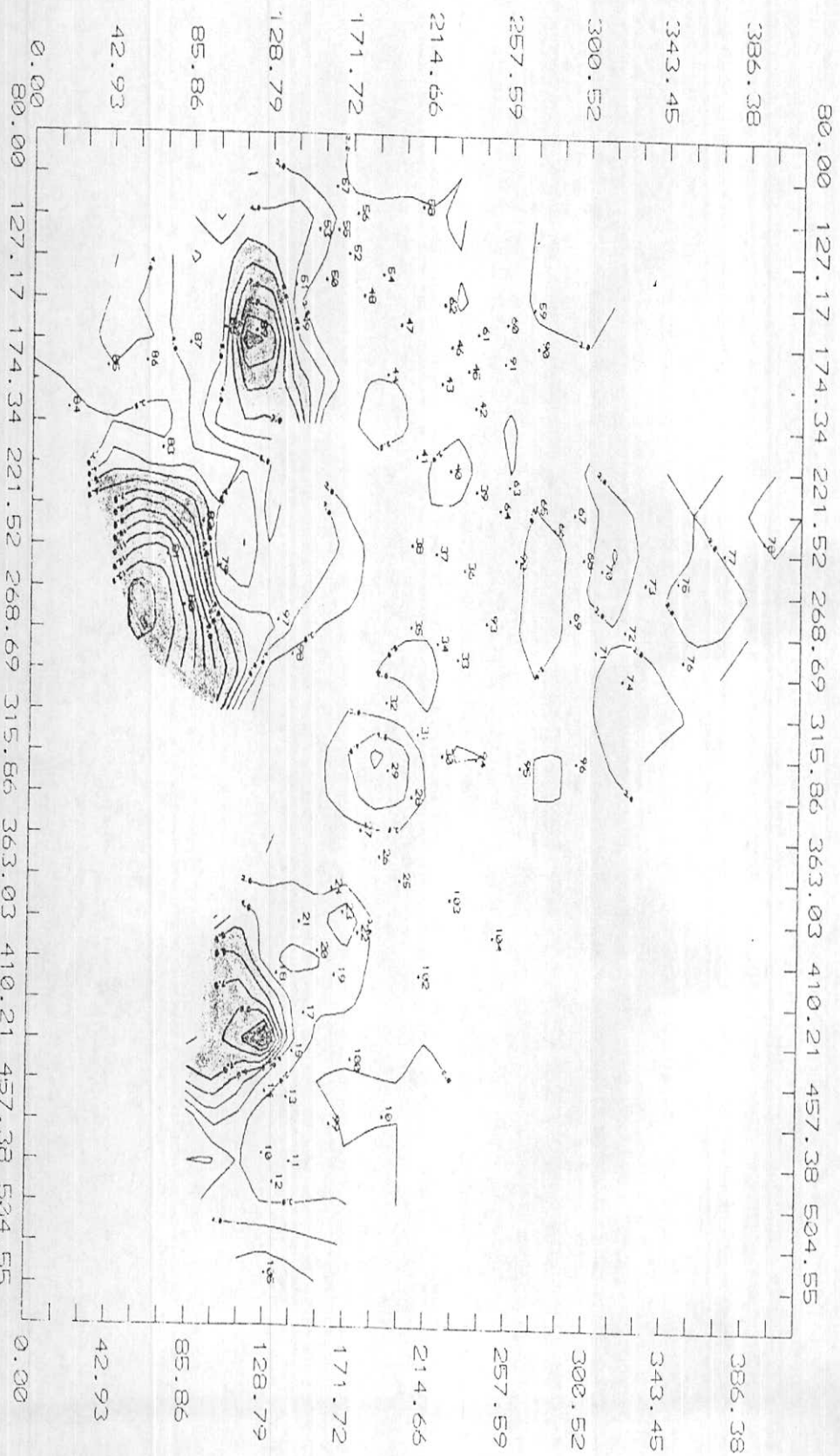
64

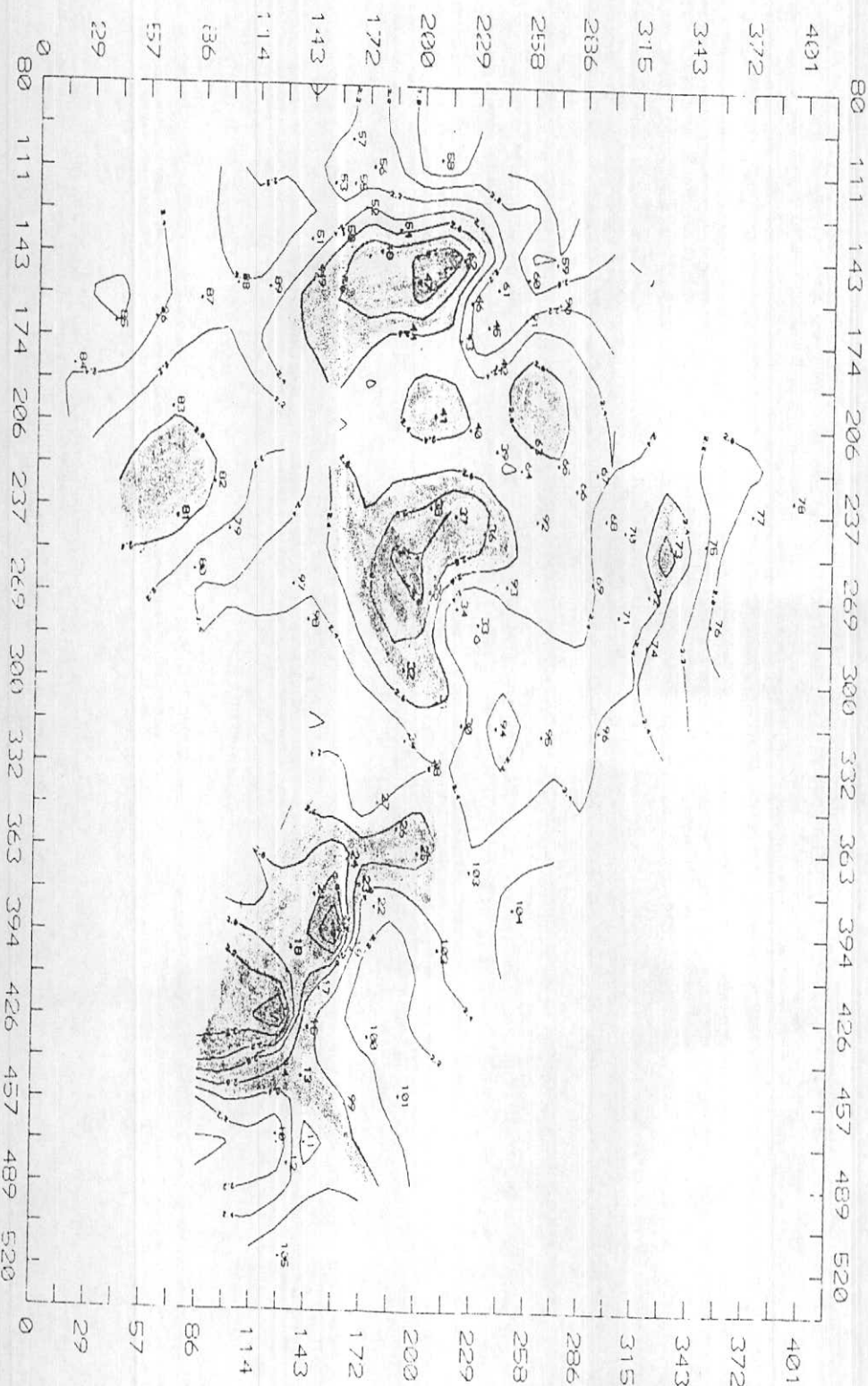


F^b

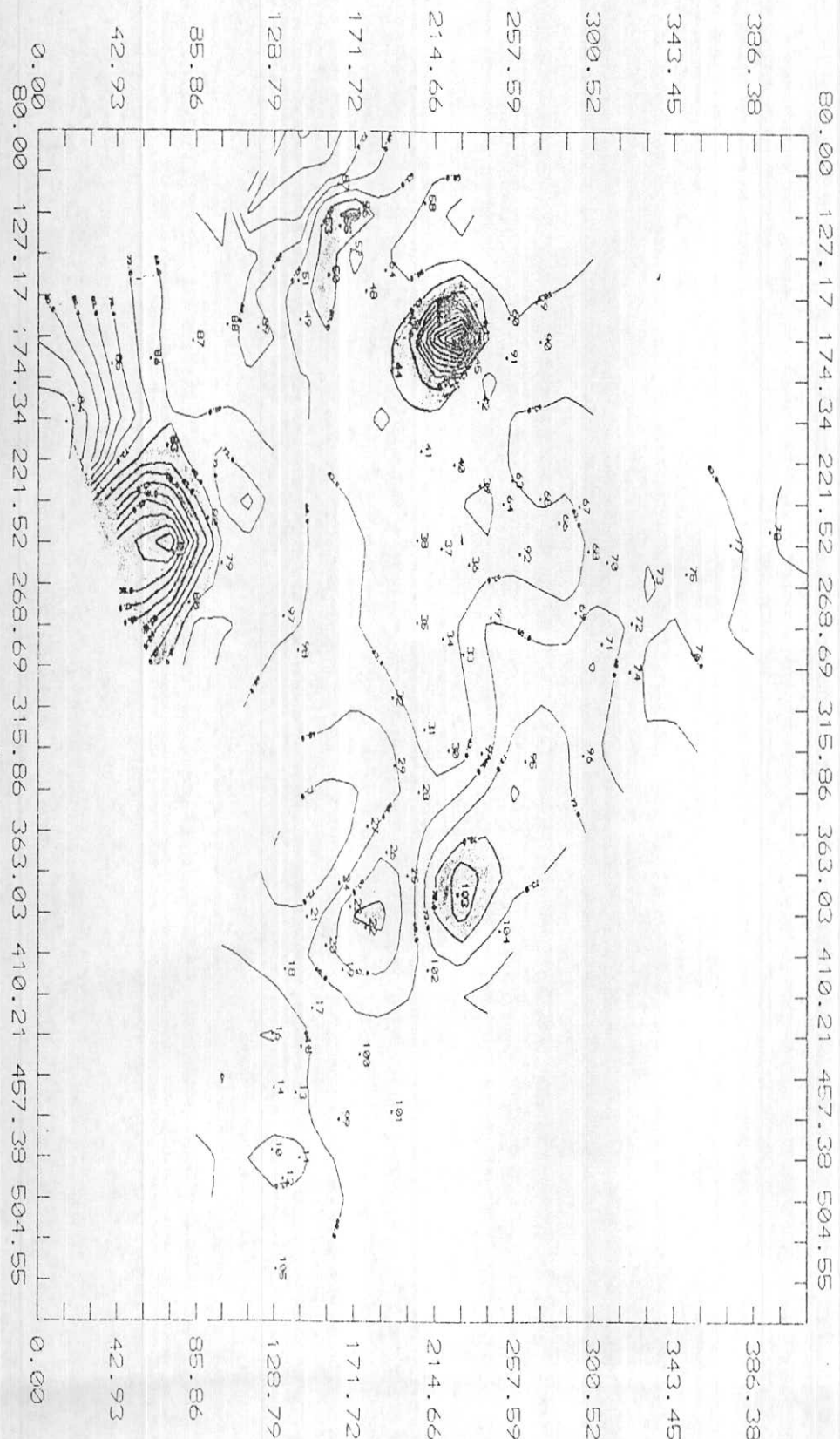


Sn



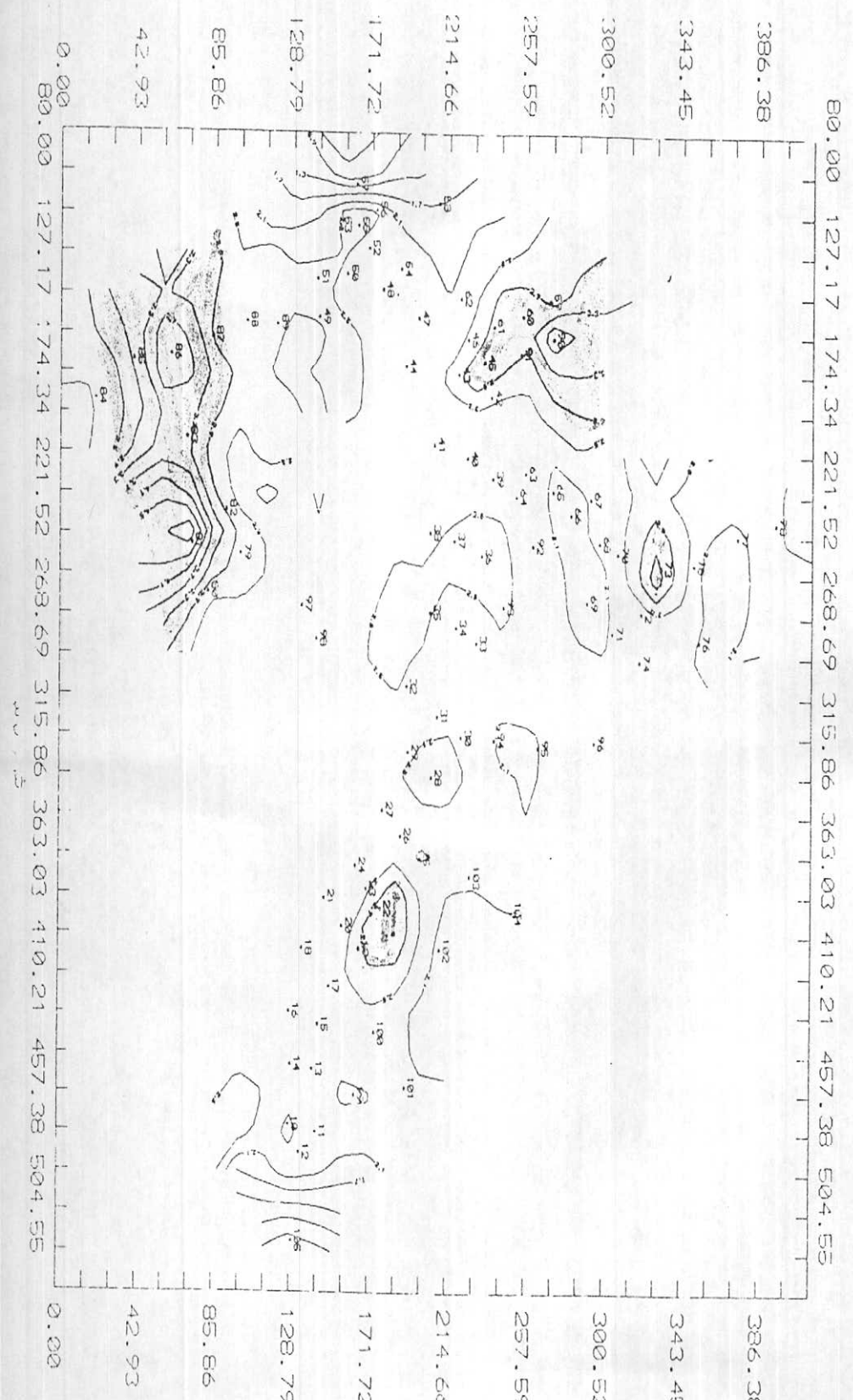


Zn

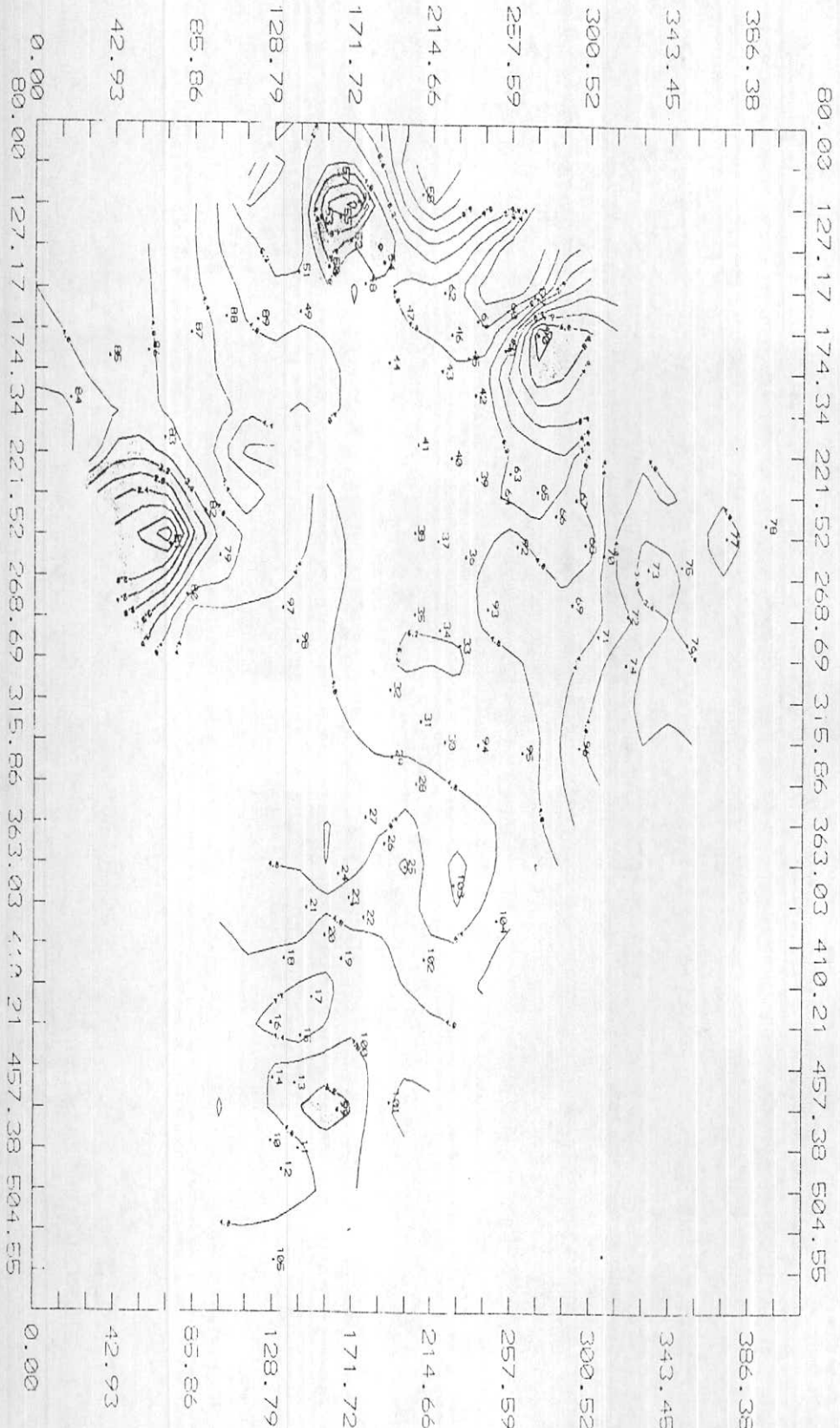


No 20

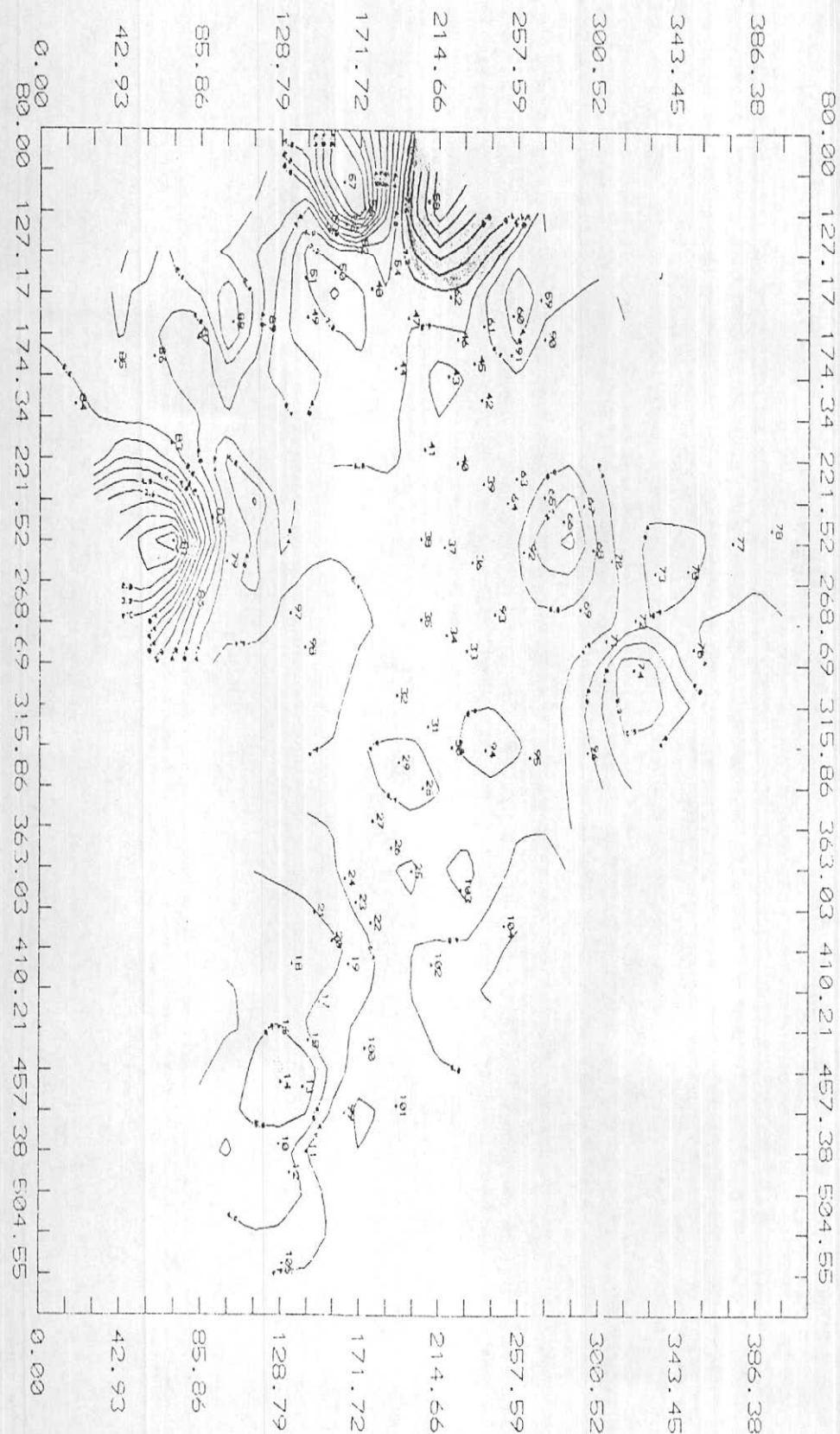




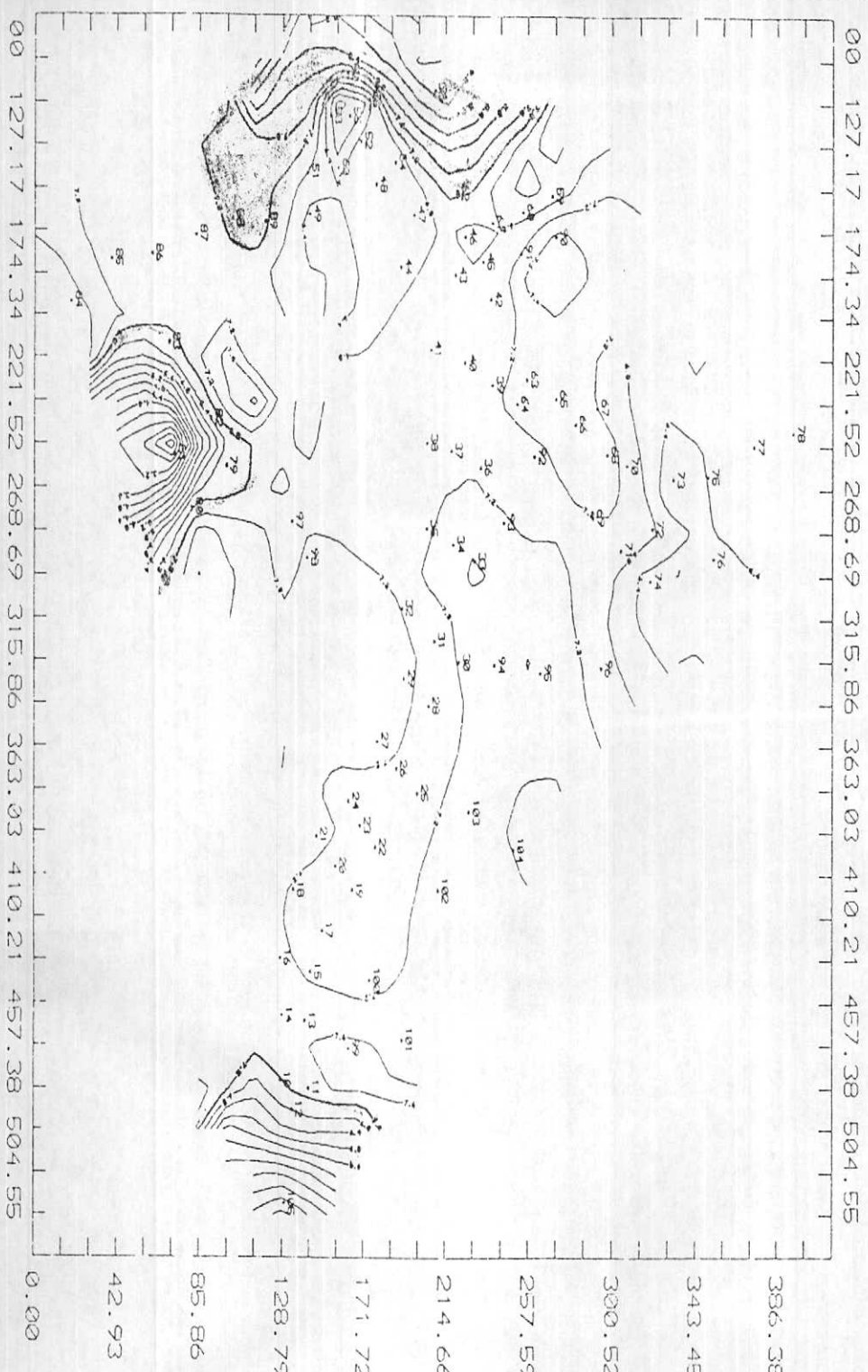
MgO



C.O

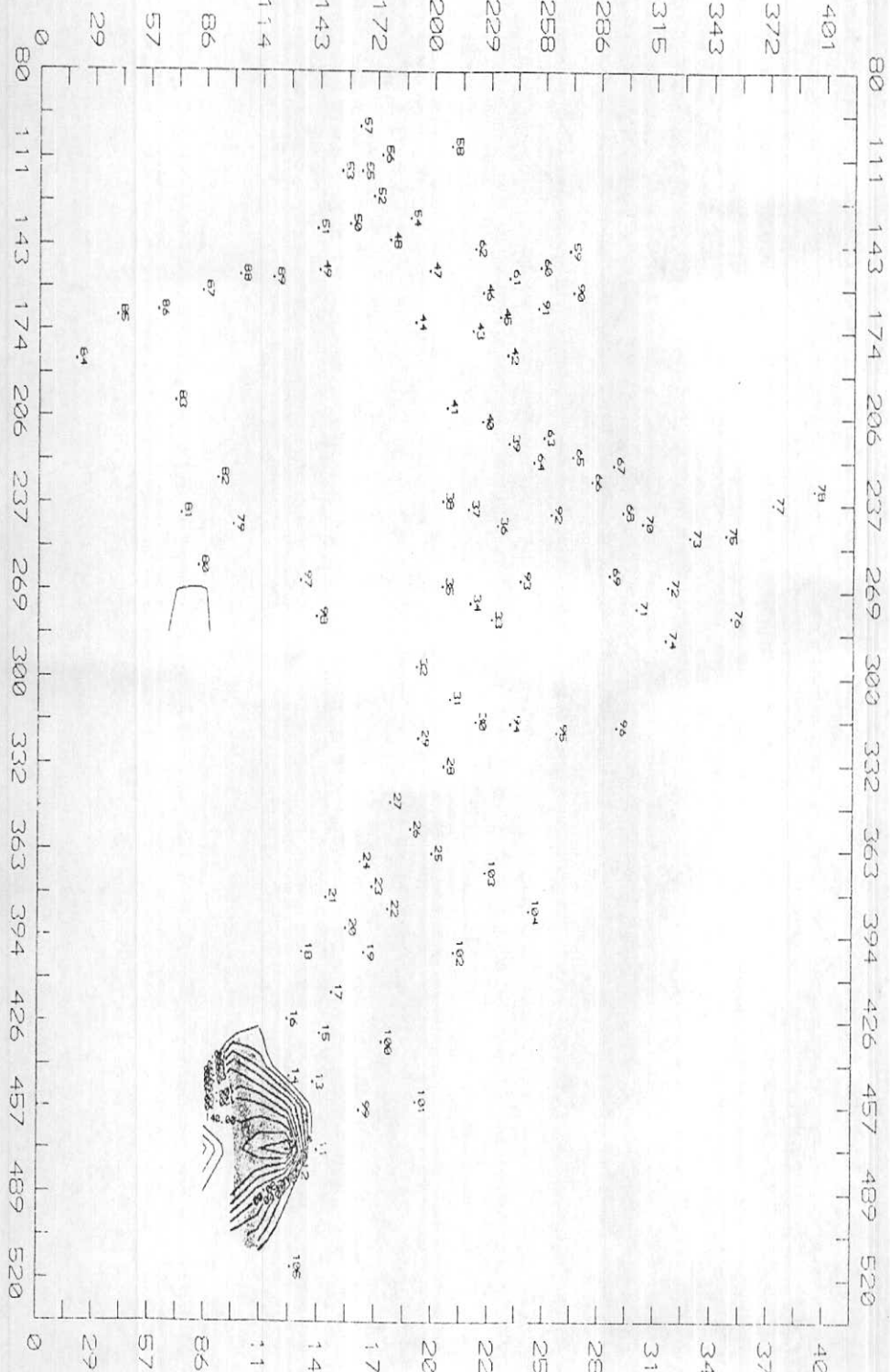


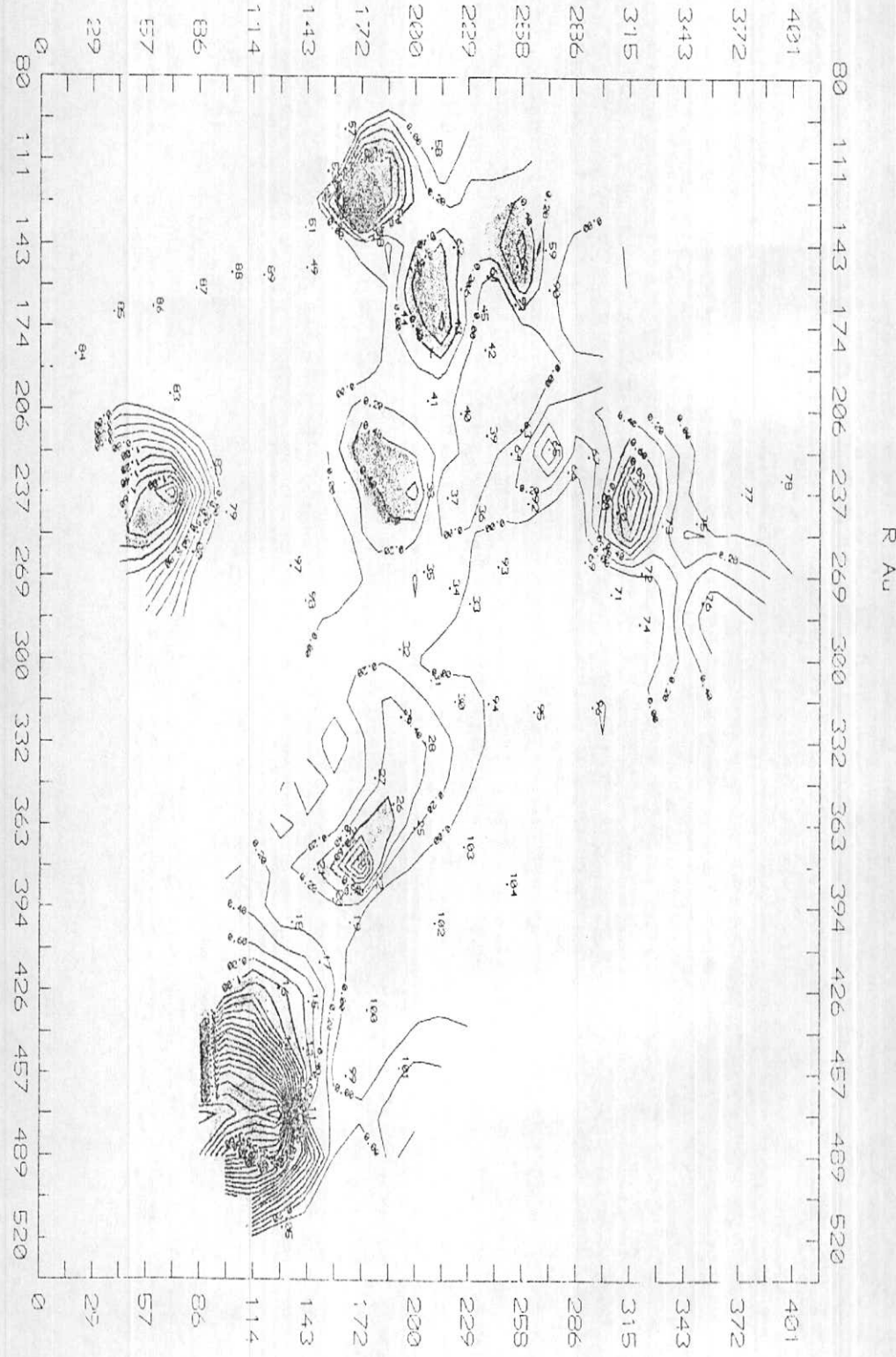
F₉203

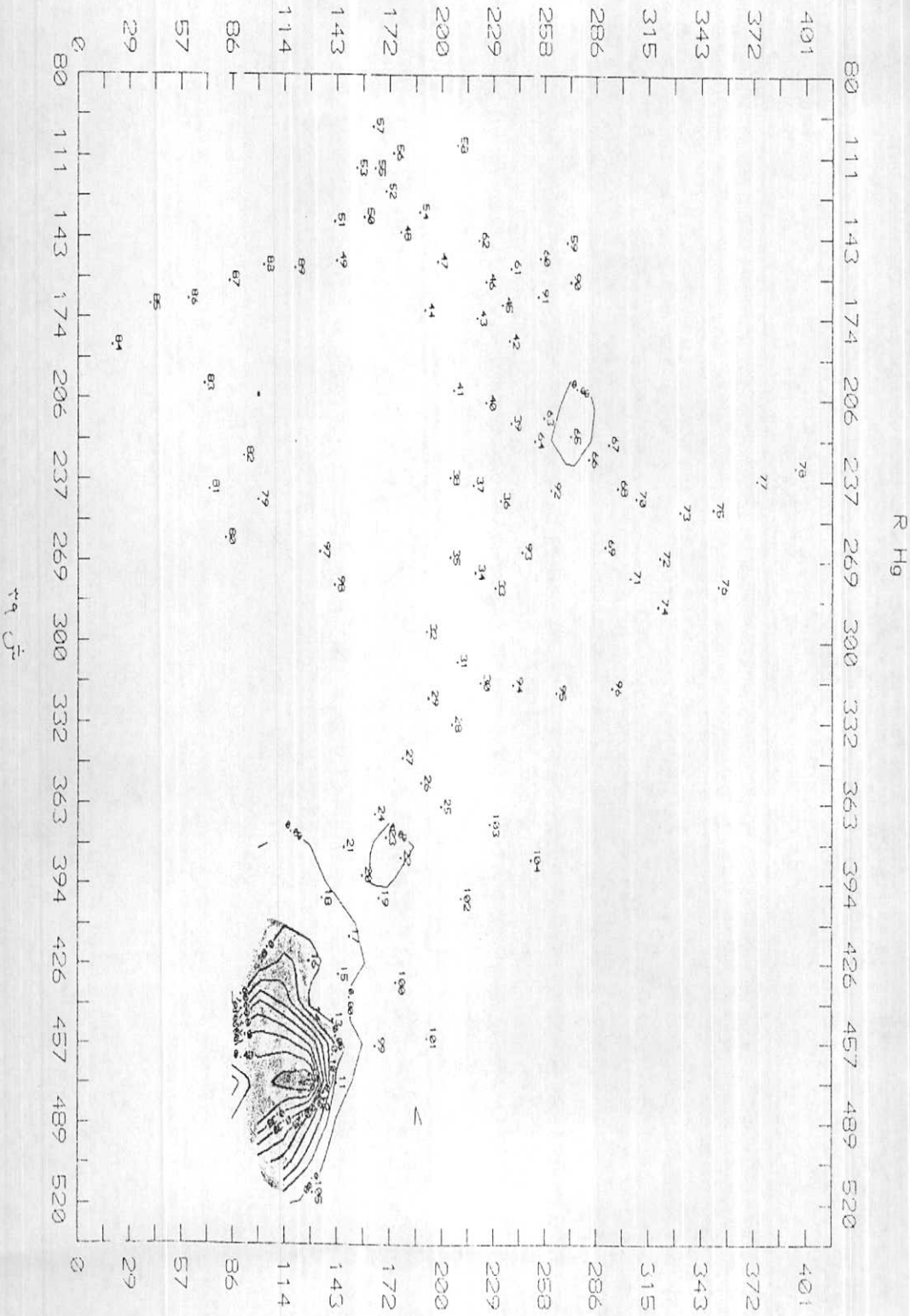


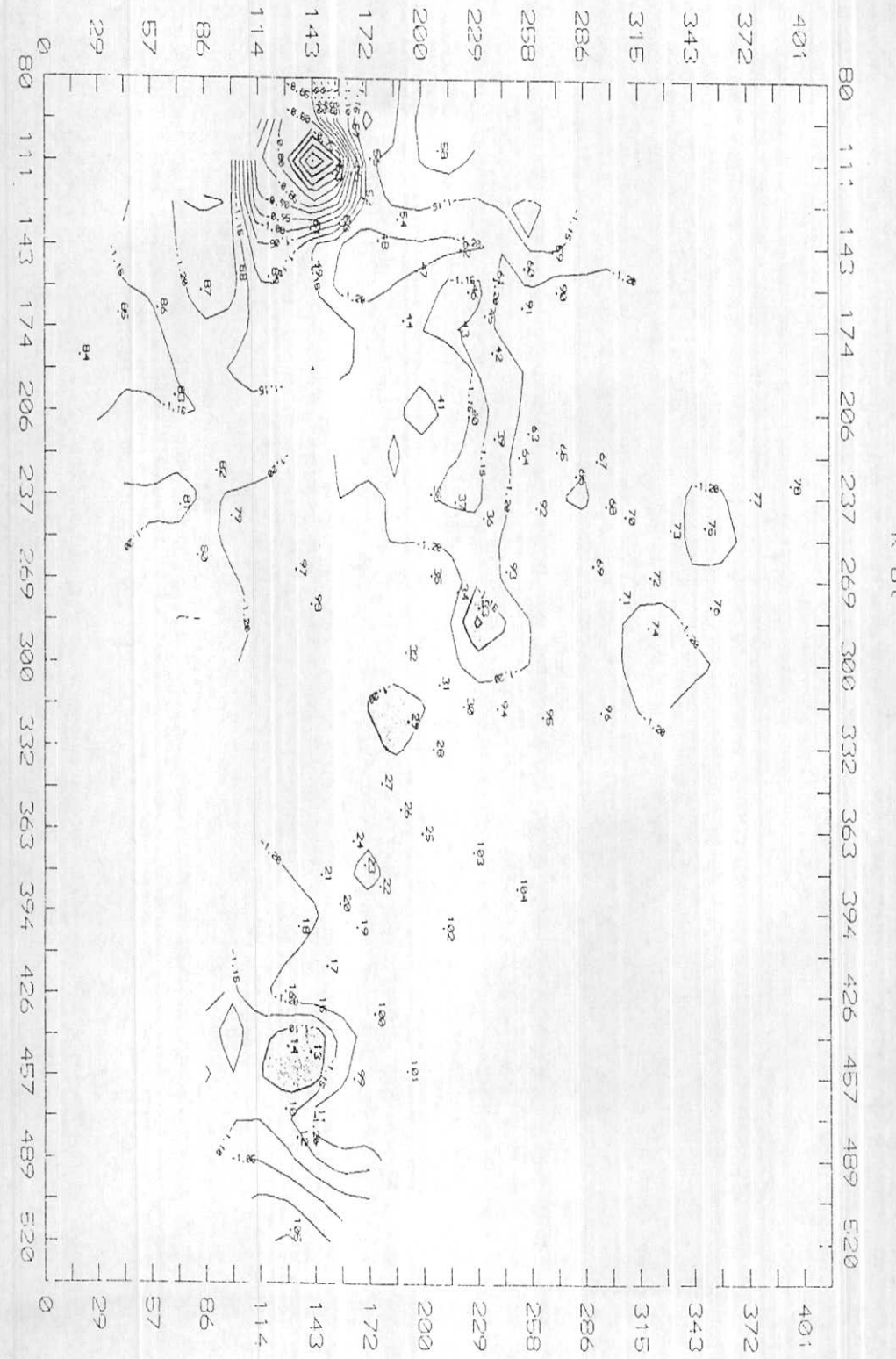
R Ag

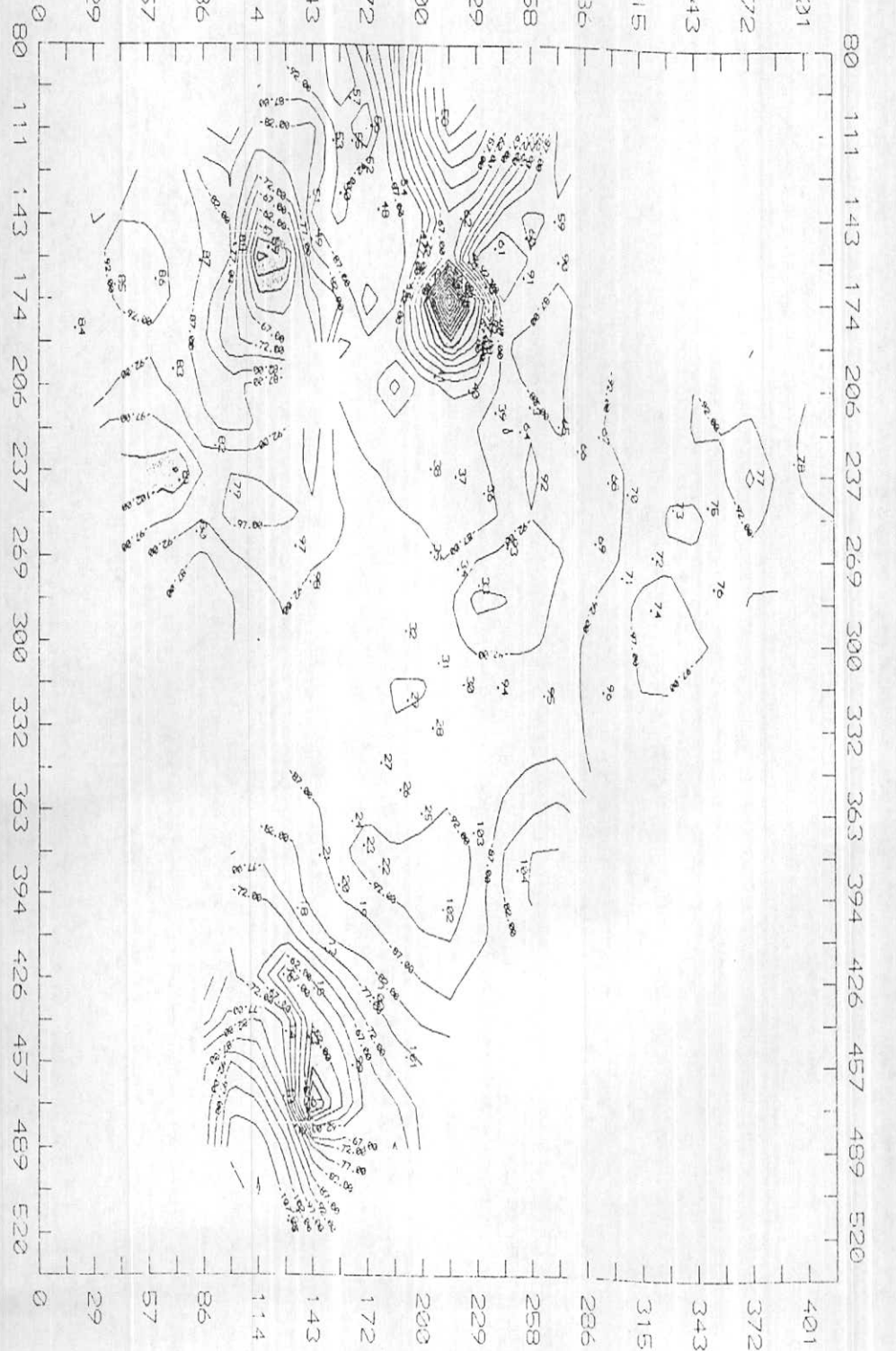
80	111	143	174	206	237	269	300	332	363	394	426	457	489	520
0	29	57	86	114	143	172	200	229	258	286	315	343	372	401
0	29	57	86	114	143	172	200	229	258	286	315	343	372	401
0	29	57	86	114	143	172	200	229	258	286	315	343	372	401
0	29	57	86	114	143	172	200	229	258	286	315	343	372	401

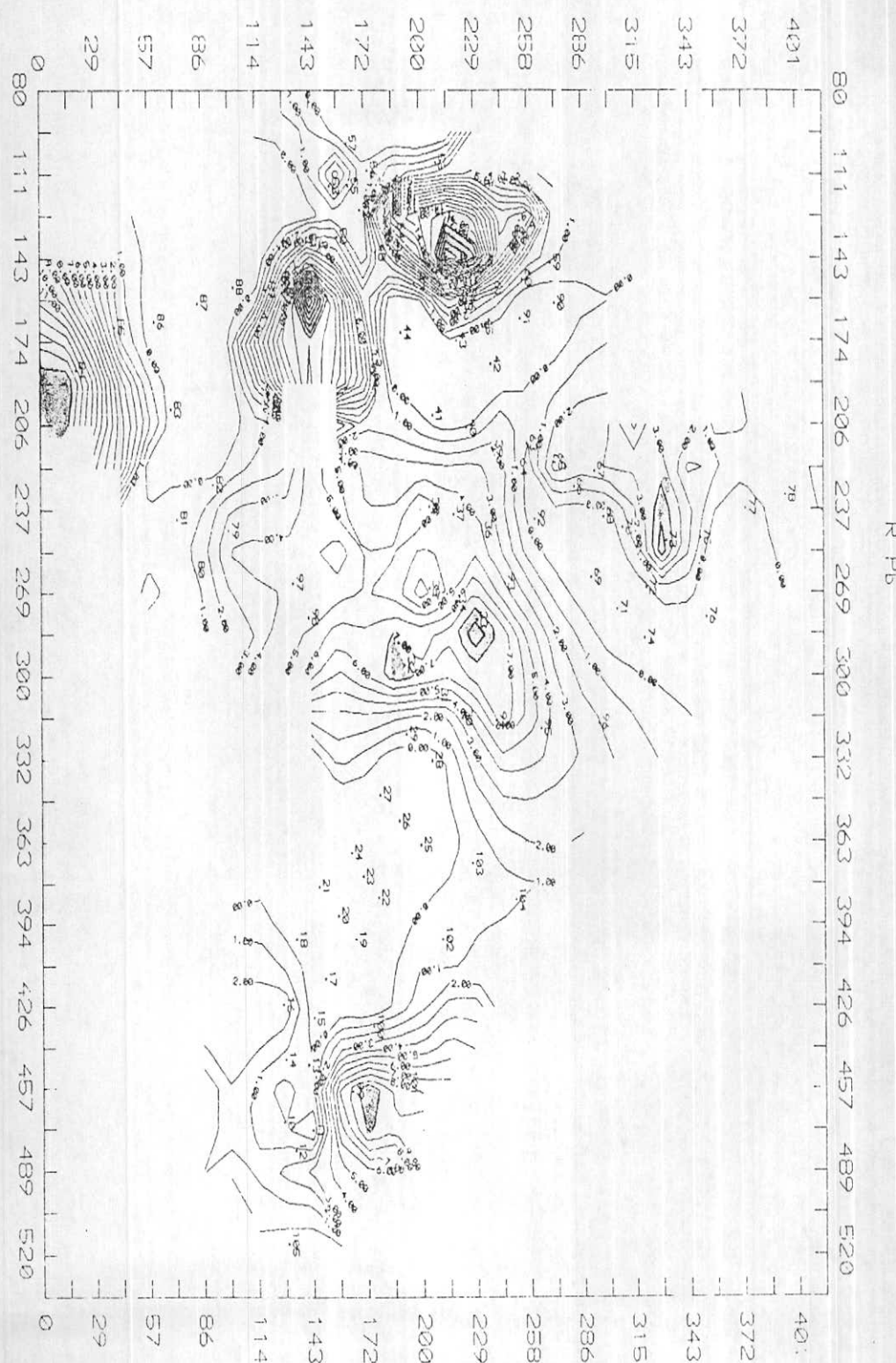




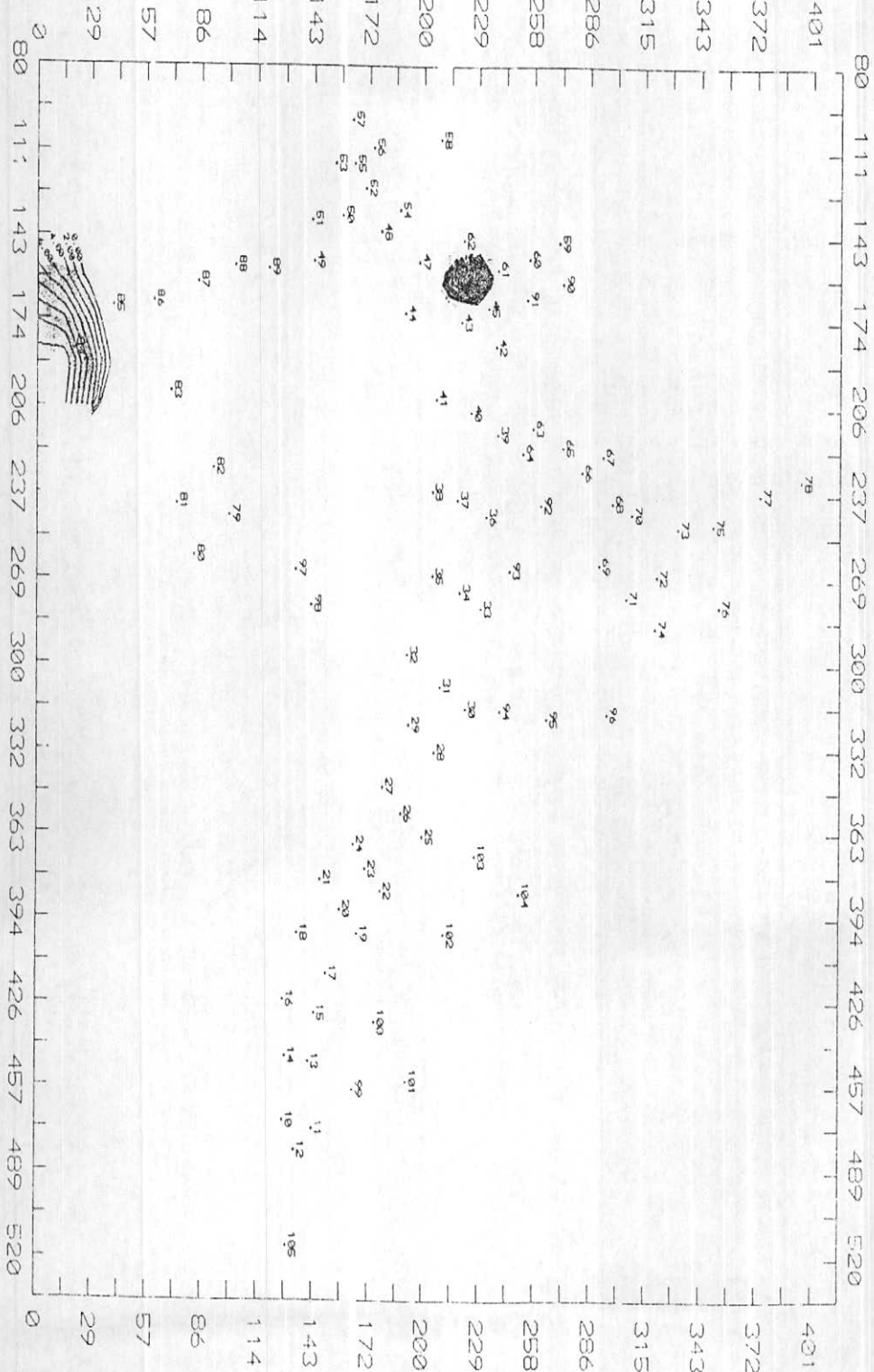








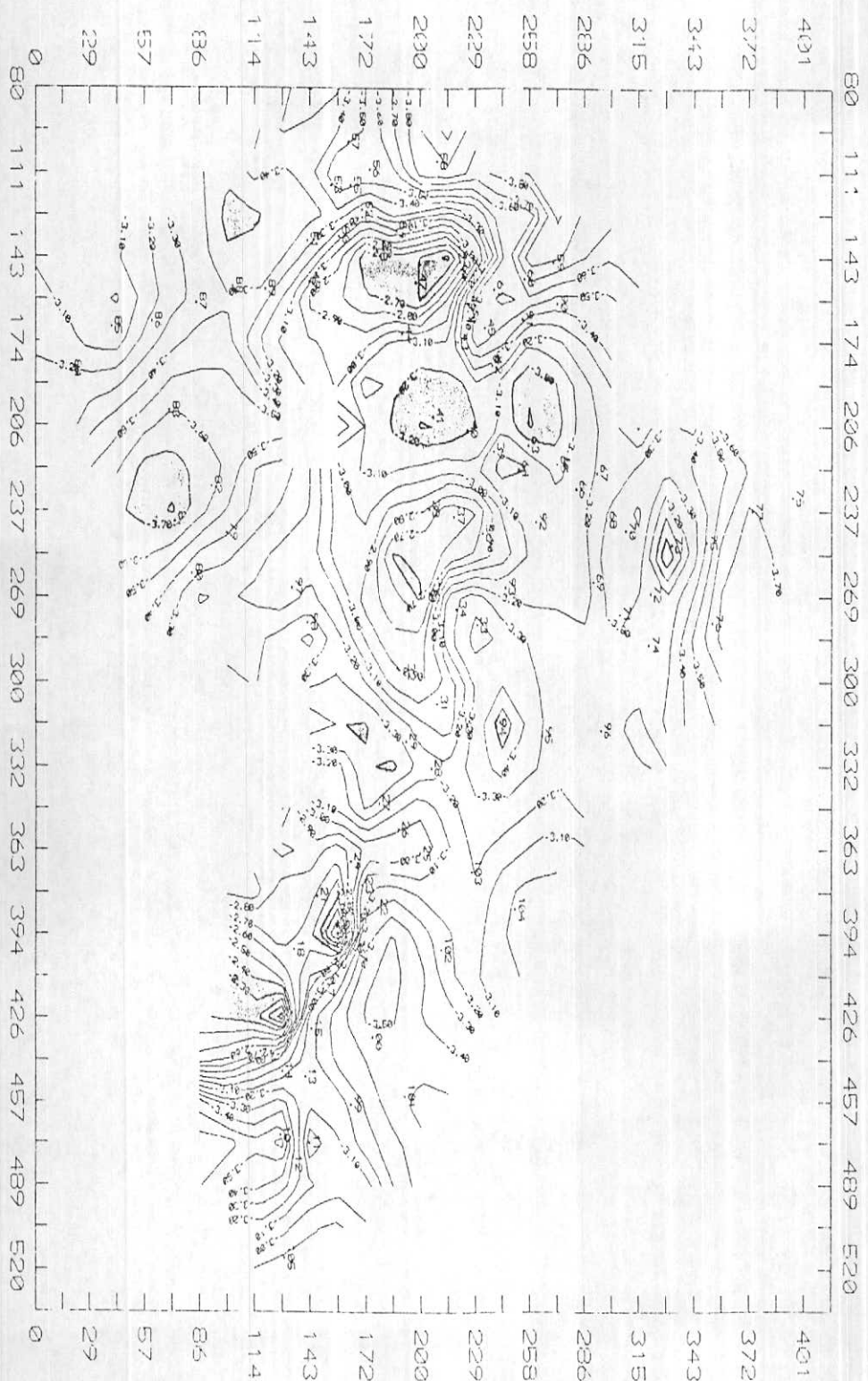
R Zn

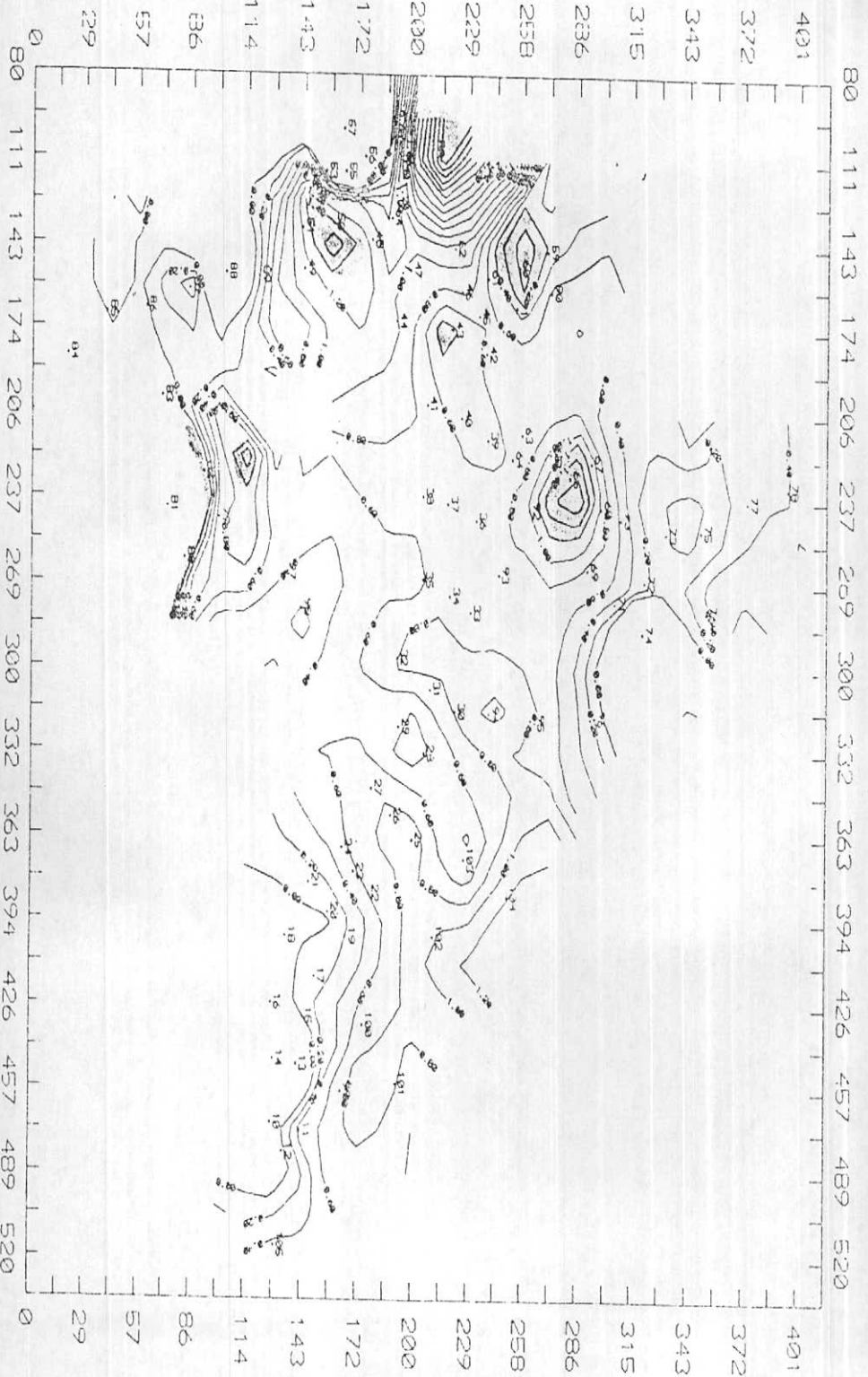


R Sn

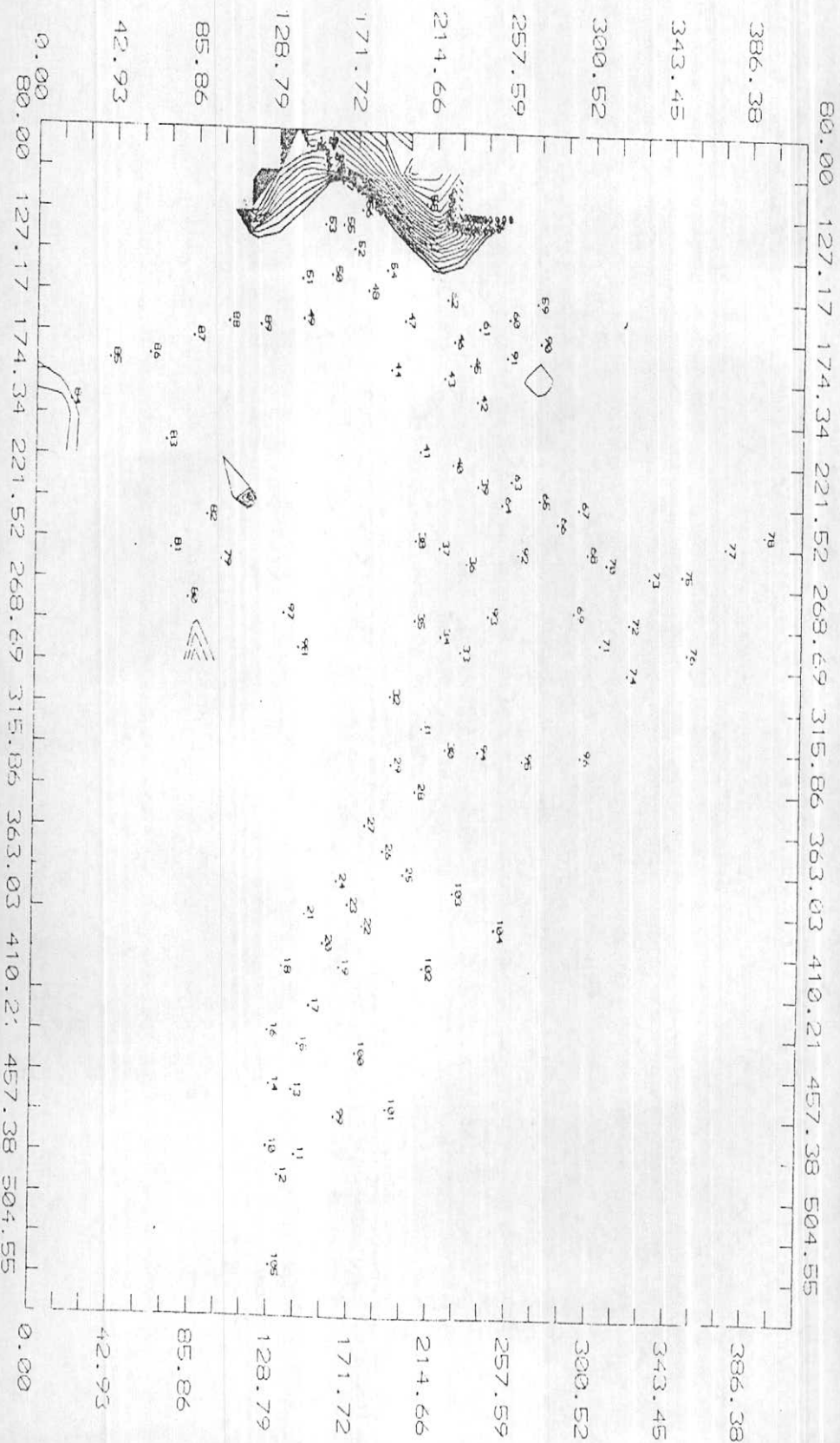


R W

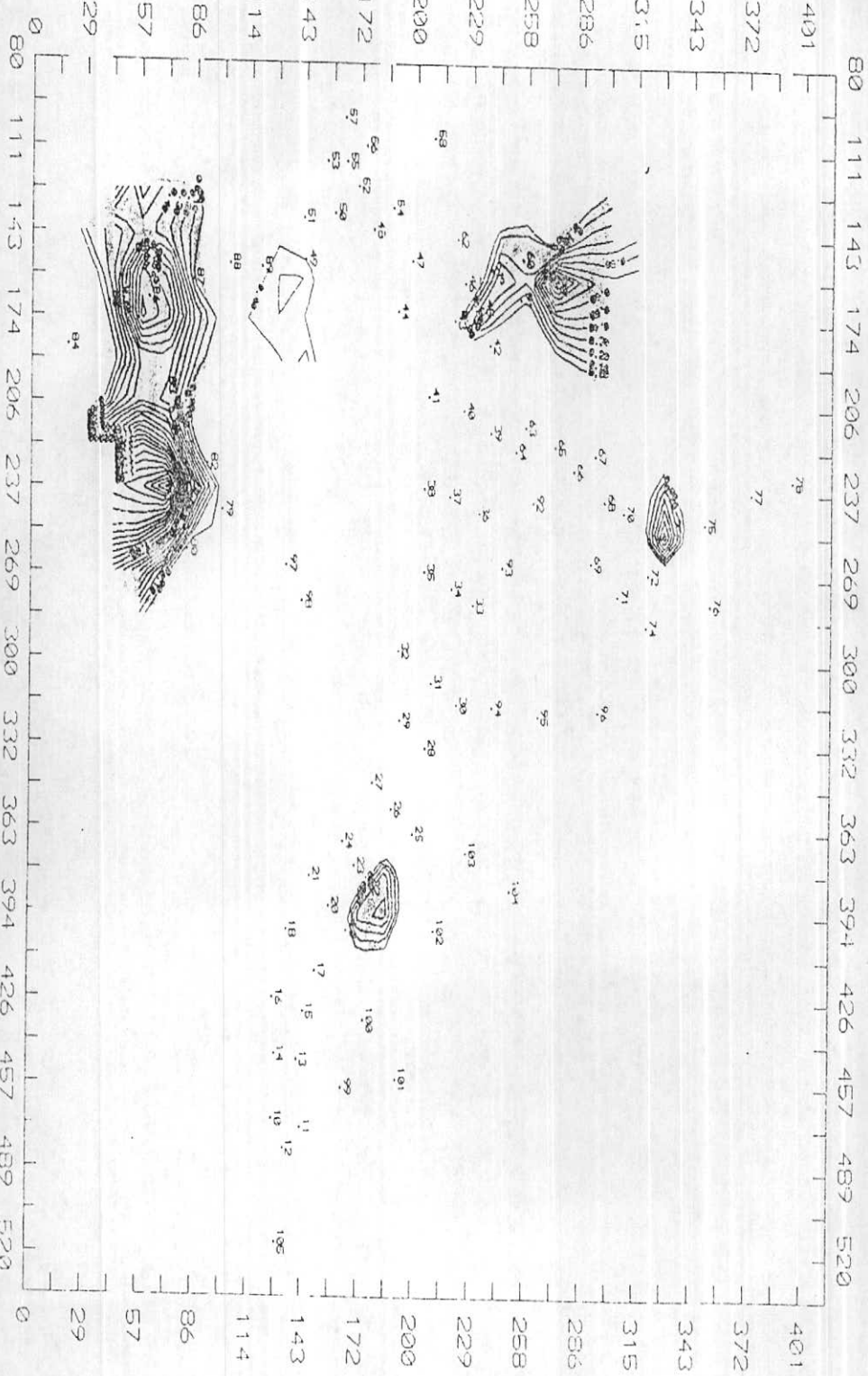




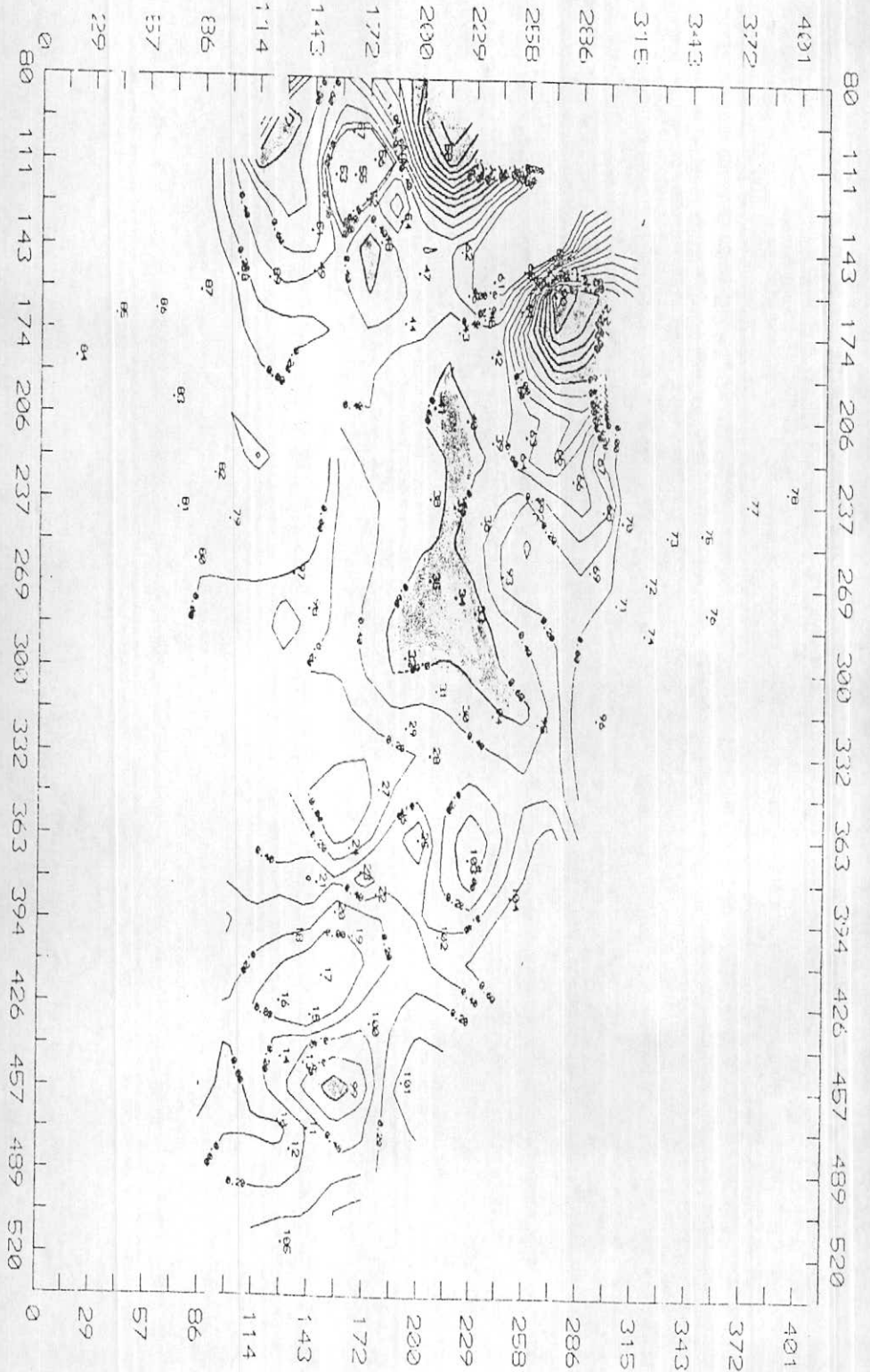
卷二



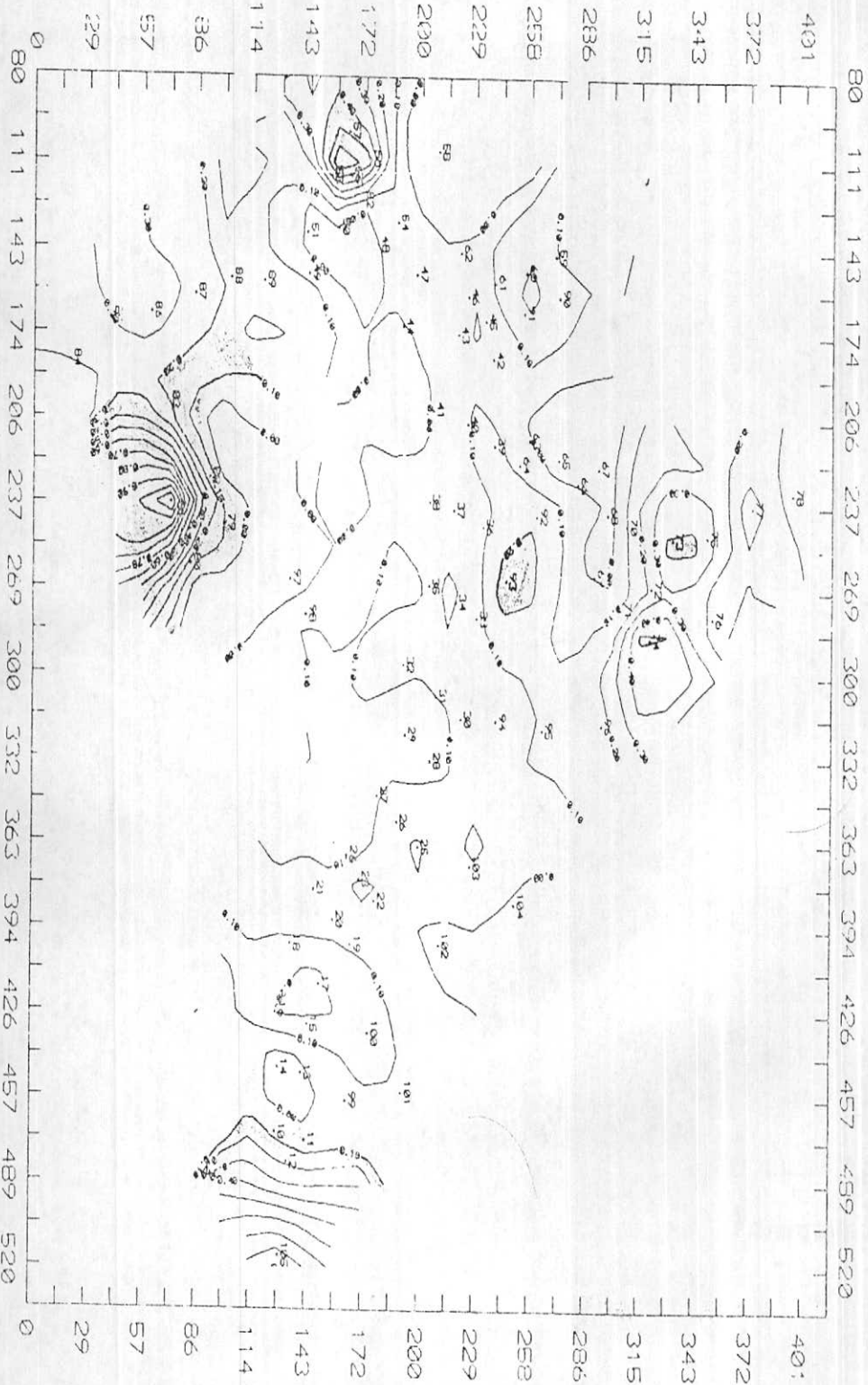
11. 2



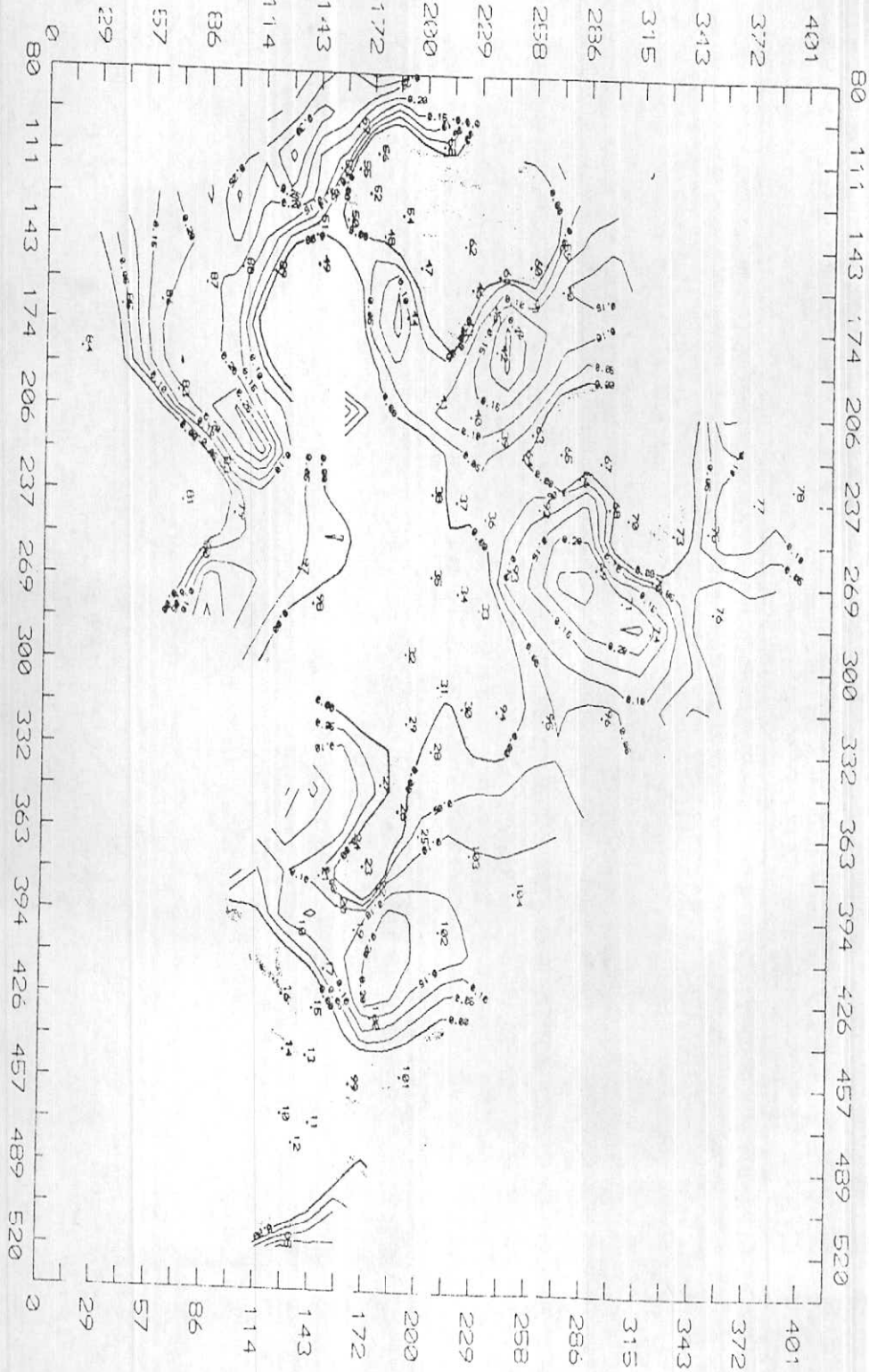
R MGO



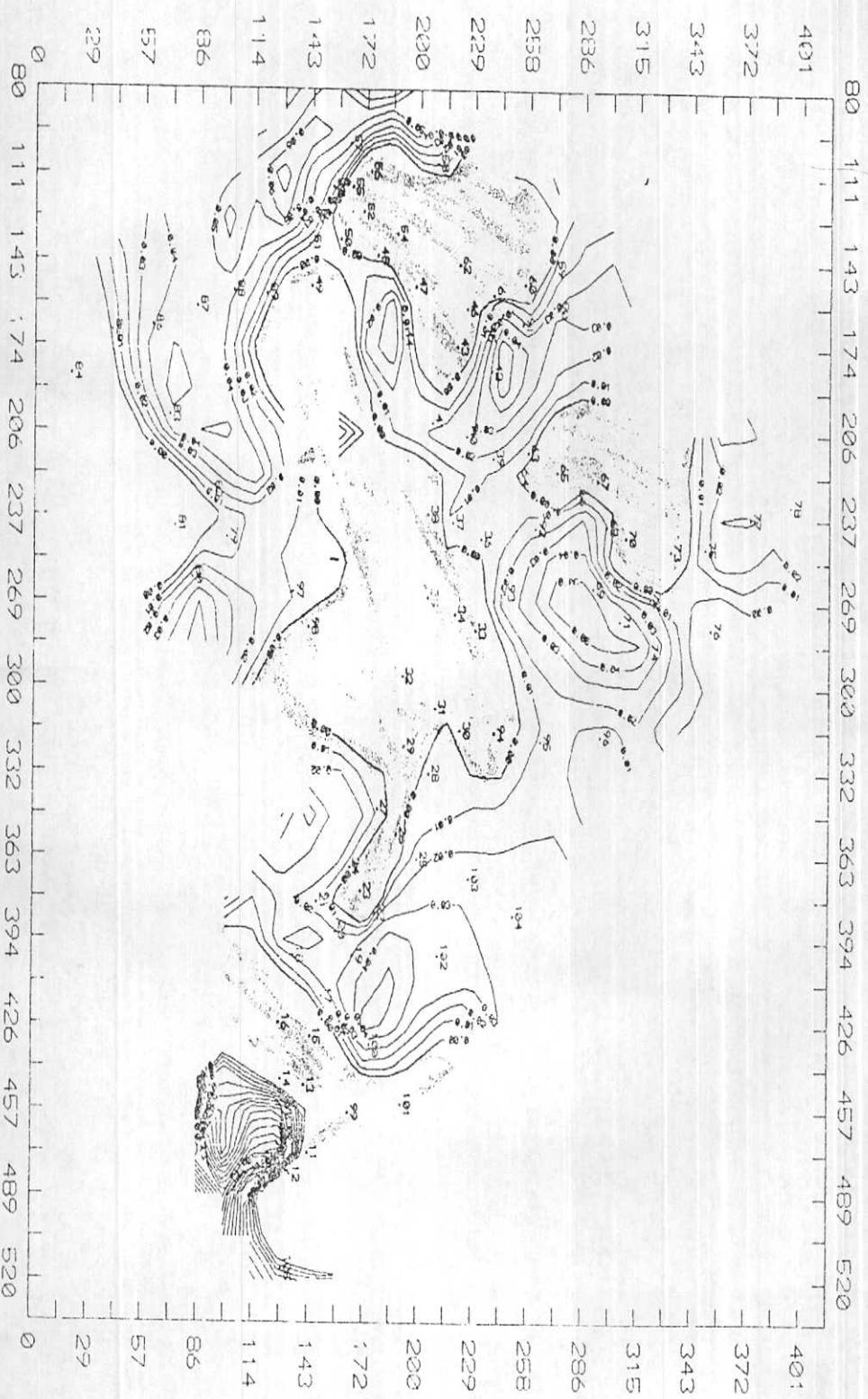
R №20

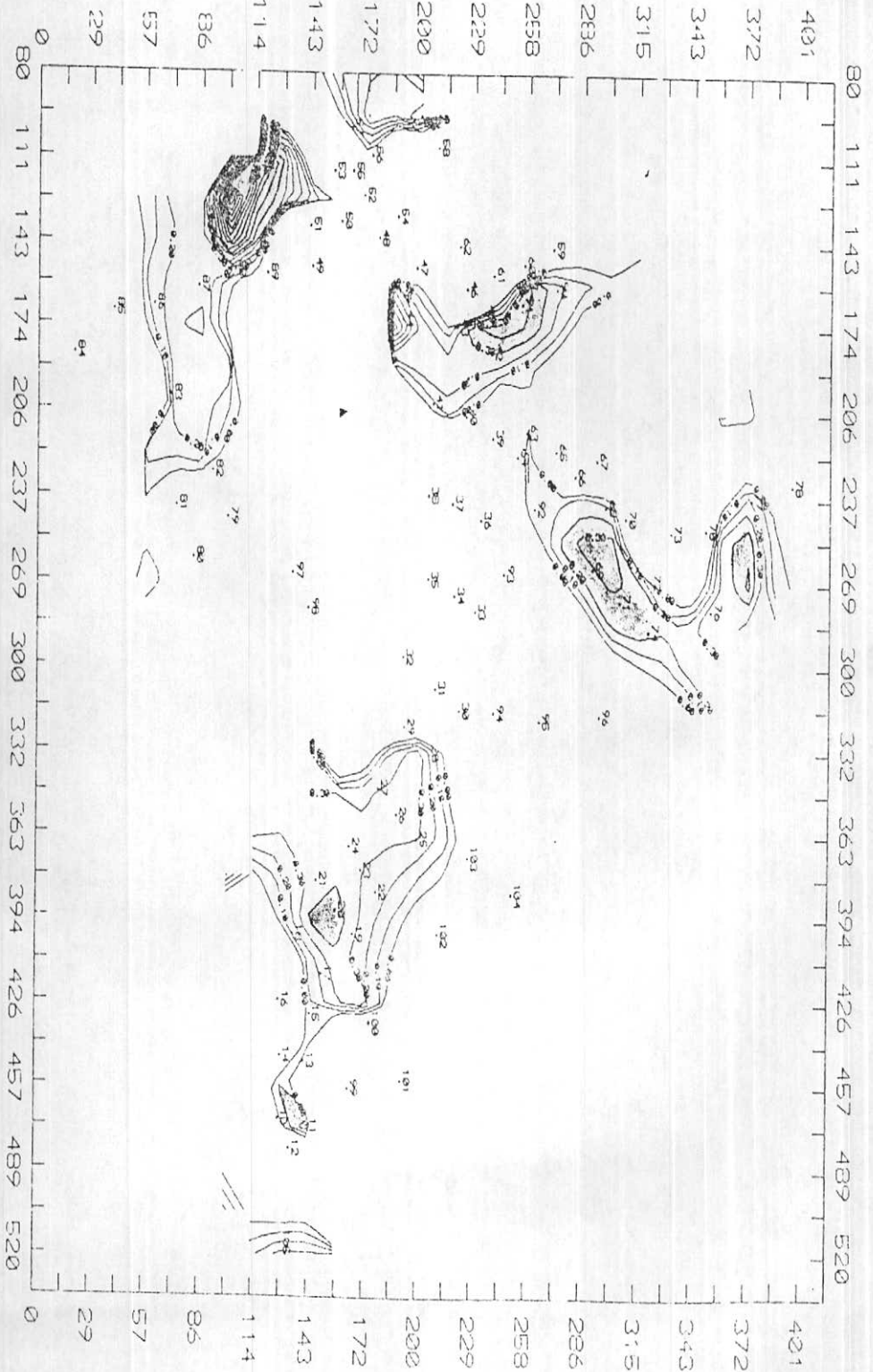


R Pb + 100000Au + 100Ag + U + Sn + Bi

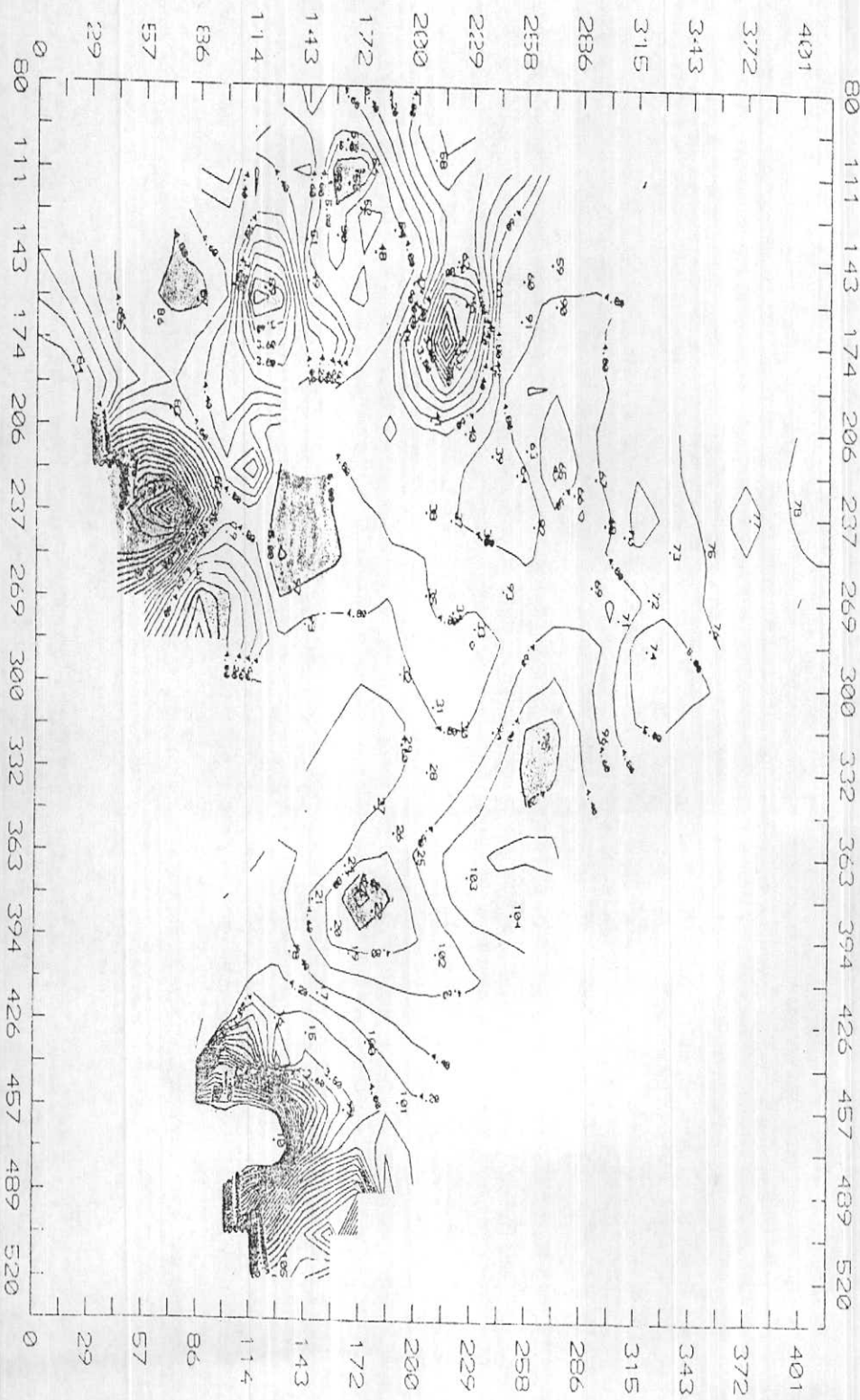


$R_{Pb+10000Au+100Ag/Cu+Zn+As}$





R Cu + Zn + As + W + Sr + Ba



SAMPLES

